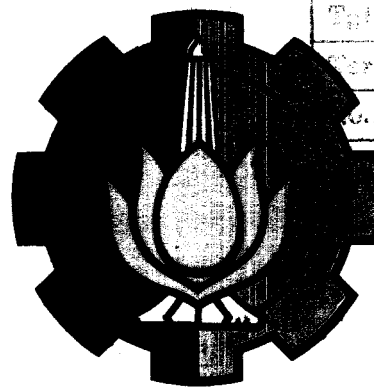


4908 /ITS/M/92 ✓

TUGAS AKHIR (TN 1701)

STUDI KASUS TENTANG PENGGANTIAN DAN PEMILIHAN MESIN YANG SESUAI PADA KAPAL TUG BOAT BROMO



PERPUSTAKAAN	
ITS	
Pustaka ITS	12 NOV 1992
Merima Pari	H.
J. Agenda Prp.	285 / TA.

PKK

622.323.2

Sug

8-1

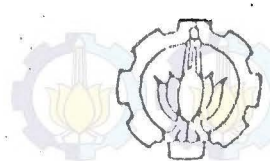
1092

Oleh :

Triyasmoro Sugiyantoro

Nrp . 4864200139

JURUSAN TEKNIK PERMESINAN KAPAL
FAKULTAS TEKNOLOGI KELAUTAN
INSTITUT TEKNOLOGI SEPULUH NOPEMBER
SURABAYA
1992



DEPARTEMEN PENDIDIKAN DAN KEBUDAYAAN
INSTITUT TEKNOLOGI SEPULUH NOPEMBER
FAKULTAS TEKNOLOGI KELAUTAN

Kampus ITS Sukolilo Surabaya 60111 Telp. 597254 & 597274 Pcs. 261-262 Telex. 34224

TUGAS AKHIR (TN 1701)

Nama : TRIYASMO SUGIYANTORO NRP : 4864200139.....
Tahap : SARJANA Tabon Kuliah : 1991 - 1992.....
Tgl. diberikan Tugas: 7. - .10. - .1991 Tgl. diselesaikan Tugas: 18. - .1. - .1992

Data-data untuk Tugas :

1. Type Kapal : TANKER 2. Kecepatan : 14 ... knot
3. Radius Pelayaran : SURABAYA-SINGAPURA
4. Data-data lainnya : LOA = 91,8 m; LWL = 86,6 m; LPP = 82,79 m.....
B = 14,47 m ; H = 7,86 m; T = 6,43 m

JENIS TUGAS :

A. Perencanaan Kamar Mesin/Sistem Perpipaan :

I. Tugas Utama

1. Sistem pipa kapal (ship board systems)
 - 1.1. Sistem pipa ballast
 - 1.2. Sistem pipa bilge
 - 1.3. Sistem pipa sanitasi
 - 1.4. Sistem pipa kebakaran.
2. Sistem pipa mesin (propulsion systems)
 - 2.1. Sistem pipa bahan bakar
 - 2.2. Sistem pipa pelumas
 - 2.3. Sistem pipa pendinginan
 - 2.4. Sistem pipa udara tekanan tinggi.
3. Perhitungan daya motor dan gambar tata letak kamar mesin (lay-out).
 - 3.1. Motor induk
 - 3.2. Motor bantu
 - 3.3. Tata letak kamar mesin (lay-out).

II. Tugas Tambahan (pilihlah satu)

1. Sistem pipa khusus :
 - 1.1. SISTEM PEMUATAN MINYAK
2. Gambar Isometric untuk sistem pipa :
 - 2.1.

B. Karya Tulis (Skripsi) :

" STUDI KASUS TENTANG PENGGANTIAN DAN PEMILIHAN MESIN
YANG SESUAI PADA KAPAL TUG BOAT BROMO "

Dosen pembimbing,

Mihmawati,

Surabaya, 11 Oktober 1991.....

TRIYASMO SUGIYANTORO, ST., MT.
BAHASA INDONESIA
SARJANA
NRP.: 4864200139
NIP.: 131 479 402
NIM: 130 355 298

TUGAS AKHIR (TN 1701)

STUDI KASUS TENTANG PENGGANTIAN DAN PEMILIHAN MESIN YANG SESUAI PADA KAPAL TUG BOAT BROMO

Diajukan Guna Memenuhi Sebagian Persyaratan

Untuk Memperoleh Gelar

Sarjana Teknik Permesinan Kapal

Pada

Jurusan Teknik Permesinan Kapal

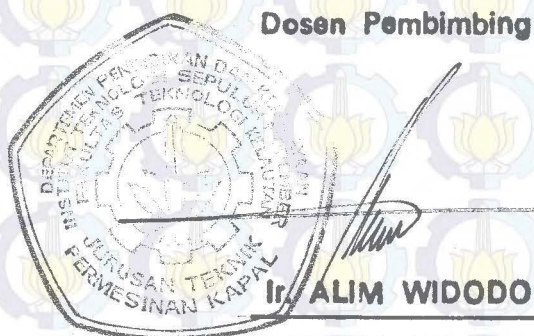
Fakultas Teknologi Kelautan

Institut Teknologi Sepuluh Nopember

Surabaya

Mengetahui / Menyetujui

Dosen Pembimbing



NIP 131 474 402

S U R A B A Y A

Nopember, 1992

KATA PENGANTAR

Dengan mengucapkan puji syukur Alhamdulillah ke hadirat Tuhan Yang Maha Esa atas rahmat dan karuniaNya sehingga penulis telah berhasil menyelesaikan tugas akhir ini.

Adapun penyusunan tugas akhir ini dilakukan dalam rangka memenuhi persyaratan akademis di Fakultas Teknologi Kelautan jurusan Teknik Permesinan Kapal, Institut Teknologi Sepuluh Nopember Surabaya. Bentuk dari tugas akhir ini adalah "STUDI KASUS PENGGANTIAN DAN PEMILIHAN MESIN YANG OPTIMUM PADA KAPAL TUG BOAT BROMO".

Dengan selesaiannya tugas akhir ini penulis mengucapkan terima kasih atas segala bantuan yang telah diberikan, kepada:

1. Bapak Ir. Bambang Supangkat selaku Ketua Jurusan Teknik Permesinan Kapal.
2. Bapak Ir. Alim Widodo sebagai Dosen Pembimbing pada penulisan tugas akhir ini.
3. Bapak Ir. I Wayan Lingga sebagai Dosen Wali.

4. Ayah , Ibu serta saudara-saudaraku yang telah memberikan dorongan semangat.

5. Rekan -rekan yang telah ikut membantu penyelesaian tugas akhir ini.

Penulis menyadari bahwa penulisan tugas akhir ini masih banyak kekurangannya, oleh karenaitu penulis mengharapkan saran-saran dan kritik yang sifatnya membangun demi kesempurnaan tugas akhir ini.

Akhir kata penulis mohon maaf apabila ada kesalahan dalam penulisan tugas akhir ini.

Surabaya, 15 July 1992

Penulis,

(TRIYASMO SUGIYANTORO)

DAFTAR ISI

LEMBAR PENGESAHAN

SURAT TUGAS

KATA PENGANTAR

DAFTAR ISI

DAFTAR NOTASI

DAFTARGAMBAR/GRAFIK

BAB I : PENDAHULUAN

II.1. Latar Belakang

II.2. Tujuan masalah

II.3. Batasan Masalah

II.4. Metode Penulisan

BAB II : SISTEM PERMESINAN DAN PROPELLER PADA KAPAL

TUG BOAT " BROMO "

II.1. Sistem Permesinan Kapal

II.1.1. Sistem Permesinan Utama/Induk.

II.1.2. Sistem Permesinan Bantu

II.2. Propeller Yang Digunakan Pada Kapal

II.2.1. Fixed Pitch Propeller

II.2.2. Controllable Pitch Propeller..

BAB III : PERHITUNGAN TAHANAN KAPAL DAN DAYA MOTOR

PENGERAK UTAMA KAPAL

III.1 Perhitungan Tahanan Kapal Dengan Metode SV.AA. Harvald	III- 1
III.1.1. Letak Titik Tekan Keatas Terhadap Midship Section (LCB).....	III- 1
III.1.2. Koeffisien Prismatik Me- manjang	III- 2
III.1.3. Breath-Drought Ratio....	III- 2
III.1.4. Volume Displacement	III- 2
III.1.5. Displacement Kapal	III- 2
III.1.6. Luas Permukaan Basah ...	III- 2
III.1.7. Length olume Displacement Ratio	III- 3
III.1.8. Froude Number	III- 3
III.1.9. Speed-Length Ratio	III- 3
III.1.10. Perhitungan Tahanan Sisa ..	III- 3
III.1.11. Jumlah Total Tahanan Sisa.	III- 5
III.1.12. Incremental Resistance ..	III- 5
III.1.13. Air Resistance And Steering Resistance	III- 6
III.1.14. Tahanan Gesek	III- 6
III.1.15. Total Tahanan Yang Bekerja Pada Kapal	III- 6
III.2 Perhitungan Tahanan Dengan I.W.Lap.	III- 7

III.2.1.	Letak Titik Tekan Ke Atas Terhadap Midship Section	III- 7
III.2.2.	Luas Permukaan Basah ...	III- 7
III.2.3.	Luas Midship	III- 7
III.2.4.	Parameter Bentuk Badan Kapal Dalam Hubungannya Dengan Tahanan Sisa Kapal.	III- 7
III.2.5.	Tahanan Sisa Spesifik	III- 7
III.2.6.	Spesifik Frictional Resis- tance	III- 9
III.2.7.	Total Spesifik Resistance..	III- 9
III.3.	Effisiensi Propeller	III- 9
III.3.1.	Hull Effisiensi	III-11
III.3.2.	Relative Rotative Effisinsi.	III-12
III.4.	Perhitungan Daya Efektif Pada Keadaan Percobaan Dan Keadaan Sebenarnya ...	III-13
III.4.1.	Kondisi Percobaan	III-13
III.4.2.	Perhitungan BHP Motor Induk.	III-13
III.5.	Pengujian Kavitasasi	III-14
BAB IV : GETARAN YANG TERJADI PADA SISTEM PROPULSI		
IV.1.	Terminologi Getaran	IV- 1
IV.2.	Isolasi Getaran	IV- 4
IV.3.	Getaran Longitudinal Pada Sistem	

Propulsi	IV- 5
IV.4. Getaran Torsional Pada Sistem		
Propulsi	IV-12
IV.4.1. Momen Inersia		IV-15
IV.4.2. Kekakuan Poros		IV-16
BAB V : PERHITUNGAN DAYA MOTOR PENGERAK UTAMA KAPAL		
V.1. Data-Data Utama Kapal		V - 1
V.2. Perhitungan Penentuan Parameter Pembantu Bahasan		V - 1
V.2.1. Letak Titik Tekan Ke Atas Terhadap Midship Section (LCB)		V - 1
V.2.2. Koefisien Prismatik Memanjang		V - 2
V.2.3. Breath-Drought Ratio		V - 2
V.2.4. Volume Displacement		V - 3
V.2.5. Displacement Kapal		V - 3
V.2.6. Luas Permukaan Basah		V - 3
V.2.7. Length Volume Displacement Ratio		V - 3
V.2.8. Froude Number		V - 4
V.2.9. Speed-Length Ratio		V - 4
V.3. Perhitungan Tahanan Sisa		V - 4
V.3.1. Perhitungan Tahanan Sisa Standart		V - 4
V.3.2. Harga Koreksi-Koreksi		V - 6
V.3.3. Jumlah Total Tahanan Sisa		V - 8
V.4. Incremental Resistance		V - 8
V.5. Air Resistance And Steering Resistance.		V - 9

V.6. Tahanan Gesek V - 9

V.7. Total Tahanan Yang Bekerja Pada Kapal. V - 10

V.8. Perhitungan Daya Efektif Pada Keadaan
Percobaan Dan Keadaan Sebenarnya ... V - 11

V.9. Perhitungan Effisiensi Propeller V -12

V.10. Perhitungan BHP Motor Induk V -13

V.5. Pengujian Kavitasasi V -15

**BAB VI : ANALISA PERHITUNGAN GETARAN PADA SISTEM PRO-
PULSI**

VI .1. Getaran Longitudinal VI - 1

VI .2. Getaran Pada Sistem Propulsi VI - 2

VI.2.1. Momen Inersia VI - 2

VI.2.2. Kekakuan Pegas Poros VI - 6

VI.2.3. Harga Frekuensi natural
Sistem Propulsi VI - 8

VI .3. Gaya Yang Diteruskan Pada Pondasi
Mesin VI - 9

**BAB VII : ANALISA PEMILIHAN MESIN PADA KAPAL
TUG BOAT " BROMO "**

VII.1. Dasar Pemilihan Mesin VII- 1

VII.2. Pemilihan Jenis mesin VII- 3

BAB VIII : KESIMPULAN DAN PENUTUP

VIII.1. Kesimpulan VIII- 1

VIII.2. Penutup VIII- 2

DAFTAR PUSTAKA

LAMPIRAN

DAFTAR GAMBAR \ GRAFIK

1. GAMBAR DETAIL KONSTRUKSI DARI C.P.P	II -7
2. GAMBAR NILAI RATA-RATA GELOMBANG SINUS YANG DIREKTIFIKASI	IV -2
3. GAMBAR SISTEM PROPULSI KAPAL SECARA SEDERHANA.....	IV -6
4. GAMBAR PENYEDERHANAAN SISTEM PROPULST.....	IV -6
5. GAMBAR DAERAH WAKE PADA PROPELLER.....	IV -7
6. GAMBAR GRAFIK FUNGSI PUTARAN PROPELLER DENGAN WAKTU	IV -8
7. GAMBAR RESULTAN MOMEN SISTEM PROPULSI	IV -12
8. GAMBAR RESULTAN GAYA DAN MOMEN PADA PROPELLER....	IV -13
9. GAMBAR EKIVALEN DARI SISTEM PROPULSI	IV -14
10. GAMBAR UKURAN DARI CRANK SHAFT	IV -18

DAFTAR NOTASI

A	= Luasan permukaan.
A	= Amplitudo getaran
B	= Lebar kapal, m
BHP	= Brake Horse Power, HP
BHP'	= BHP \ jumlah silinder
C	= Faktor bentuk tonjolan pada dinding kapal luar
Ca	= Incremental resistance
Caa	= Koefisien tahanan udara
Cas	= Koefisien tahanan kemudi
Cb	= Koefisien block
CF	= Koefisien tahanan gesek
Cm	= Koefisien midship
CR	= Gaya pada kemudi, kg
Cr	= Koefisien tahanan sisa
Ct	= Koefisien tahanan total
Cw	= Koreksi faktor bahan
D	= Displacemen kapal, ton
DHP	= Delivery Horse Power, hp
d	= Diameter Propeller
Db	= Decibel
EHP	= Effectif horse power, hp

E	= Modulus Elastisitas
E	= Tinggi Poros dari base line
Fn	= Froude Number
Fi	= Kebutuhan Bahan Bakar Spesifik
F	= Kebutuhan Bahan Bakar
Fa	= Luas dari Daun Propeller
Fp	= Luas Proyeksi Daun
Fp'	= Luas koreksi proyeksi daun
F _T	= Gaya penganggu
fn	= Frekuensi dari sistem
G	= Modulus Elastisitas geser poros
g	= Percepatan gravitasi, m/s ²
H	= Tinggi kapal, m
H	= Tinggi Gelombang
h	= Water Load diatas sumbu poros
J	= Momen Inersia
K	= Kekakuan Poros bahan
kc	= Faktor koreksi cuaca
km	= Faktor koreksi letak mesin
k1	= Eksponen Adiabatis saat kompresi
k2	= Eksponen adiabatis proses ekspansi
L	= Panjang pondasi, m
LCB	= Letak titik tekan ke atas dari midship, m

Lpp = Panjang antara 2 garis tegak kapal, m

L' = Kebutuhan udara teoritis

Lo = Kebutuhan udara teoritis untuk pembakaran

LWL = Length water line, m

n = Ratio Gear

N = Jumlah Daun Propeller

M = Massa benda

N = Putaran poros pompa Injeksi, Rpm

n1 = Eksponen adiabatis proses kompresi

n2 = Eksponen adiabatis proses ekspansi

Pa = Tekanan awal kompresi

Pi = Indicated Mean Effective Pressure

Pit = Berat rantai per meter, kg

PC = Koefisien propulsi

P = Daya motor

Pc = Tekanan saat kompresi

Pb = Tekanan Akhir Gas Ekspansi

Po = Tekanan Udara Luar

Pz = Tekanan akhir pembakaran

Q = Kebutuhan Bahan Bakar Spesifik per langkah

RT = Tahanan total kapal

S = Luas permukaan basah, m^2

SFOC = Pemakaian bahan bakar spesifik, gr/bhp.hr

T	= Momen torsi, kg.m
T	= Sarat kapal, m
THP	= Thrust horse power, hp
t	= Thrust deduction factor
Ta	= Temperatur awal kompresi
To	= Temperatur udara luar
Tz	= Temperatur akhir pembakaran
Va	= Speed of advance, knot
Vs	= Kecepatan kapal, knot
W	= Berat, kg
w	= Wake fraction
X	= Amplitudo
V	= Volume displacement, m^3
α	= Faktor perbandingan komposisi udara
β	= Koefisien midship
ε	= Perbandingan kompresi
γ_r	= Koeffisien gas buang
δ	= Koefisien block
λ	= Koefisien gesekan
λ	= Perbandingan kenaikan tekanan
μ_o	= Koeffisiensi kimia molar
μ	= Koeffisiensi molar
φ	= Koefisien prismatic

η_{ch}

= Efisiensi pengisian udara dari luar

 η_m

= Effisiensi mekanis

 ρ

= Massa jenis, kg/m^3

 γ

= Spesifik gravitasi Fuel, kgt/m^3

 ν

= Viscositas Fuel Oil

 ρ

= Perbandingan ekspansi awal

 δ

= Perbandingan ekspansi akhir

 \wedge

= Perbandingan lebar dengan luas daun kemudi

BAB I PENDAHULUAN

1.2. LATAR BELAKANG

Dengan makin pesatnya perkembangan didunia kelautan, tak heran lagi bilamana pada akhir ini banyak dikembangkan cara pembuatan kapal yang lebih baik sehingga dapat memproduksi berbagai bentuk kapal yang berkualitas dalam jumlah besar.

Selain mengembangkan proses cara pembuatan kapal, adalah dengan mengadakan perbaikan dan perawatan pada kapal-kapal yang sudah lama sehingga akan dapat difungsikan dengan baik tanpa lebih banyak mengeluarkan biaya dibandingkan dengan pembuatan kapal yang baru. Adapun dengan melakukan perawatan dan perbaikan kapal yang lama adalah diantaranya mengurangi biaya-biaya antara lain biaya :pembuatan lambung kapal, pembuatan geladak, pembuatan bangunan atas kapal, sewa galangan, pemakaian listrik, dan lain-lainnya.

Di Perusahaan PT.PAL, pada saat ini sedang

melaksanakan penggantian mesin pada kapal TUG BOAT BROMO, sehingga hal ini merupakan kesempatan yang baik bagi saya untuk merencanakan besarnya tenaga yang dibutuhkan oleh propeller untuk mendorong kapal bergerak maju maupun mundur dan juga memilih jenis mesin yang sesuai sehingga dapat memungkinkan beroperasi lebih dari semula.

Seperti kita ketahui, bahwa fungsi dari kapal jenis TUG BOAT adalah untuk menarik dan memandu baik kapal-kapal yang akan berlabuh maupun bersandar supaya lalu lintasdisekitar pelabuhan menjadi teratur. Karakteristik dari kapal ini adalah suatu kapal yang digerakkan oleh dua propeller (Twin Screw), dengan masing-masing berjenis Controller Pitch Propeller (CPP). Kapal direncanakan di Jepang yang dilaksanakan pada tahun 1961.

1.2. TUJUAN MASALAH

Adapun tujuan masalah dari Tugas akhir ini, pada dasarnya adalah untuk merencanakan dan memilih jenis mesin yang akan digunakan pada kapal " TUG BOAT BROMO ", dengan memperhatikan beberapa pertimbangan-pertimbangan untuk mencapai tujuan yang diinginkan.

1.3. BATASAN MASALAH

Pada Tugas akhir ini, penyusun memberikan batasan permasalahan supaya lebih terarah dan sesuai dengan tujuan yang kitainginkan. Diantaranya adalah sebagai berikut :

- Menghitung besarnya kebutuhan tenaga yang digunakan oleh mesin induk.
- Menghitung besarnya harga tahanan kapal menurut berdasarkan perhitungan metode Navard.
- Menghitung gaya yang diterima oleh pondasi kamar mesin akibat adanya pengaruh getaran mesin.
- Tidak membahas masalah pemilihan mesin dengan mempertimbangkan segi ekonomis.
- Menentukan nilai batas kebisingan yang dicapai oleh mesin pada sistem propulsi
- Menghitung getaran baik yang longitudinal maupun torsional pada sistem propulsi kapal.
- Tidak menghitung kebutuhan pemakaian bahan bakar pada masing-masing mesin.

1.4. METODE PENULISAN

- STUDI LITERATUR

Studi literatur mengambil dari berbagai buku demi menunjang kelancaran dari penyelesaian Tugas Akhir ini.

- STUDI LAPANGAN

Dengan data-data dari lapangan yang mengambil dari Perusahaan P.T P.A.L Indonesia, mengenai data ukuran dari kapal kapal Tug Boat " BROMO "

- STUDI ANALISA

Dengan mengadakan analisa perhitungan yang diantaranya ialah :

- Perhitungan tahanan Kapal
- Perhitungan Daya motor penggerak kapal
- Getaran yang terjadi di kapal dengan mencari harga frekuensi natural dari sistem dan mesin itu sendiri.
- Analisa pertimbangan dalam pemilihan mesin.

Dengan mengambil contoh data 4 buah mesin yang kami pilih diantaranya mesin :

- | | | | |
|------------------------|---|-----|----|
| - CATERPILLAR G379 | : | 415 | HP |
| - CATERPILLAR 3412-V12 | : | 425 | HP |
| - WARTSILA 4R22 | : | 788 | HP |
| - DAIHATSU PKTdm-16A | : | 400 | HP |

Adapun dasar pemilihan data-data mesin adalah dengan mempertimbangkan antara lain :

- Dimensi ukuran mesin sesuai untuk dipasangkan pada pondasi kamar mesin kapal.
- Spare part mesin mudah didapat dipasaran , sehingga mudah dalam perawatan.
- Putaran mesin harus dapat mensupply daya pada propeller sesuai putaran yang diinginkan sebesar

250 sampai 360 RPM.

- Mampu mensupply daya untuk menggerakkan propeller dengan kebutuhan lebih kurang 400 HP.

B A B II

SISTEM PERMESINAN DAN PROPELLER PADA KAPAL

TUG BOAT BROMO

2.1. SISTEM PERMESINAN KAPAL

Sistem permesinan kapal umumnya terdiri dari :

Sistem Permesinan Utama (Main Engine)

Sistem Permesinan Bantu (Auxiallary Engine)

2.1.1. Sistem Permesinan Utama/Induk

Sistem ini bertujuan untuk menggerakkan propeller akan mendorong kapal bergerak maju. Adapun jenis mesin yang digunakan umumnya antara lain motor : Diesel, turbin uap, dan turbin gas. Untuk menggunakan mesin-mesin tersebut umumnya memakai reduction gear karena putaran mesin diatas 500RPM, sedangkan untuk kapal yang besar biasanya putaran propellernya rendah ($N < 500 \text{ RPM}$).

Arah putaran motor Diesel mempunyai 2 jenis yaitu :

Non Reversible dan Reversible. Untuk Reversible motor Diesel tak memerlukan lagi pembalik putaran , karenamotor tersebut dapat digunakan dengan 2 arah putaran yang berbeda, yaitu biasanya dengan cara merubah dudukan

camshaft dan mengatur timing pembakaran pada peralatan mesinnya.

2.1.2. Sistem Permesinan Bantu

Sistem ini dipakai untuk mensupply kebutuhan tenaga listrik demi kelayakan kapal sehingga membantu dalam pelayarannya. Kebutuhan tenaga listrik di kapal umumnya disupply oleh motor diesel atau dapat juga menggunakan turbin uap dan turbin gas untuk kapal-kapal yang besar. Motor diesel tersebut dipasang paralel, jika membutuhkan mesin diesel lebih dari satu. Ini disebabkan di kapal membutuhkan tenaga listrik yang besar sedangkan voltage harus tetap.

Tenaga listrik dari mesin bantu biasanya dipakai untuk kebutuhan diantaranya untuk :

- penerangan listrik kapal
- pompa-pompa diantaranya pompa balast, bilge, sanitary, fire pump, cargo pump , dan lain-lainnya.
- pompa-pompa untuk kebutuhan mesin utama (Main Engine) yang diantaranya pompa : bahan bakar, pelumas, sistem pendingin, dan lain-lainnya.

2.2. PROPELLER YANG DIGUNAKAN PADA KAPAL

Propeller yang dipakai pada kapal terdiri dari :

- Fixed pitch propeller dan
- Controller pitch propeller

2.2.1. Fixed Pitch Propeller

Sistem dari propeller adalah propeller ini berputar pada pitch yang tetap, sehingga pengaturan kecepatan dan arah putaran dari propeller harus menggunakan reduction gear. Keuntungan dari sistem ini adalah sistem lebih sederhana dan diameter propeller relatif lebih kecil (tanpa ada lubang didalam poros propeller).

Propeller jenis ini digunakan untuk kapal yang mempunyai jalur pelayaran yang jauh dan laut yang luas, karena olah geraknya relatif jelek.

2.2.2. Controllable Pitch Propeller

A. Prinsip Kerja Pada Sistem C.P.P.

Prinsip/cara kerja dari sistem Controller Pitch Propeller (C.P.P) pada dasarnya digunakan untuk menggerakkan daun propeller pada pitch yang diinginkan

dengan perantaraan pergerakan servomotor piston. Umpan balik pergerakan ini kemudian dikirim lagi ke pusat kendali lainnya untuk menunjukkan posisi daun propeller dalam menentukan besarnya pitch.

Rangkaian proses tersebut dapat diterangkan sebagai berikut:

Sinyal-sinyal perintah dari anjungan untuk pengaturan pitch diterima, diperkuat, dan kemudian ditransfer secara mekanis ke pilot valve. Pilot valve menggerakkan control valve utama yang mengikuti setiap pergerakan tuas perintah (commandlever) dan mendistribusikan oil bertekanan yang disupply oleh screw type pump. Oil bertekanan tersebut disalurkan ke servomotor cylinder melalui saluran double oil tube yang mengikuti setiap gerakan servo motor piston pada arah yang diinginkan. Servomotor piston ini melalui adjusting crank akan memutar daun propeller pada keadaan pitch yang diinginkan. Gerakan oil tube ini menjalankan sistem umpan balik mekanis (Feedback Linkage) yang menggerakkan kembali control valve ke posisi netral/tengah setelah mencapai posisi daun yang diinginkan. Akibatnya supply oil menuju servomotor piston

dihentikan. Dengan cara ini setiap posisi tuas perintah menentukan posisi yang berhubungan dari servomotor piston dan kemudian pitch propeller. Dengan menggunakan kam yang dipasang pada poros umpan balik (Feedback Shaft), sebuah signal transmitter digerakkan untuk mengirimkan pitch yang sebenarnya ke indikator pada pusat kendali.

B. Bagian-Bagian Dari Peralatan C.P.P

Pada pembahasan berikut ini, pembagian dari sistem C.P.P akan dikelompokkan dalam 5 bagian utama, antara lain sebagai berikut :

KETERANGAN GAMBAR

I. PROPELLER

1. Propeller blade

2. Blade seal

3. Double supported
blade trunnion

4. Adjusting crank

5. Trunnion nut

6. Link

IV. HYDRAULIC CONTROL SYSTEM

23. Main and standby control

oil pump with electric

motor

24. Suction tank

(yard's supply)

25. Head oil tank

26. Oil filter

7. Cross head with double supported adjusting rod 27. Oil cooler
 28. Hand pump for mechanical

8. Servomotor piston 29. Mechanical locking device

9. Propeller hub 29. Mechanical locking device

10. Servomotor cylinder

II. PROPELLER SHAFT

11. Protecting hood for

- propeller shaft flange

12. Bushing of sterntube seal 30. Command transmitter

13. Propeller shaft

14. Coupling flange

15. Double oil tube

PITCH INDICATION

30. Command transmitter

31. Slave nut

32. Mechanical connection

- (yard's supply)

III. OIL DISTRIBUTION UNIT

16. Oil distribution shaft 33. Pitch seller

17. Oil distribution box

- housing.

34. Handwheel for local

- emergency control

18. Sealing

35. Mechanical pitch

19. Sleeve

- indication

20. Feedback system

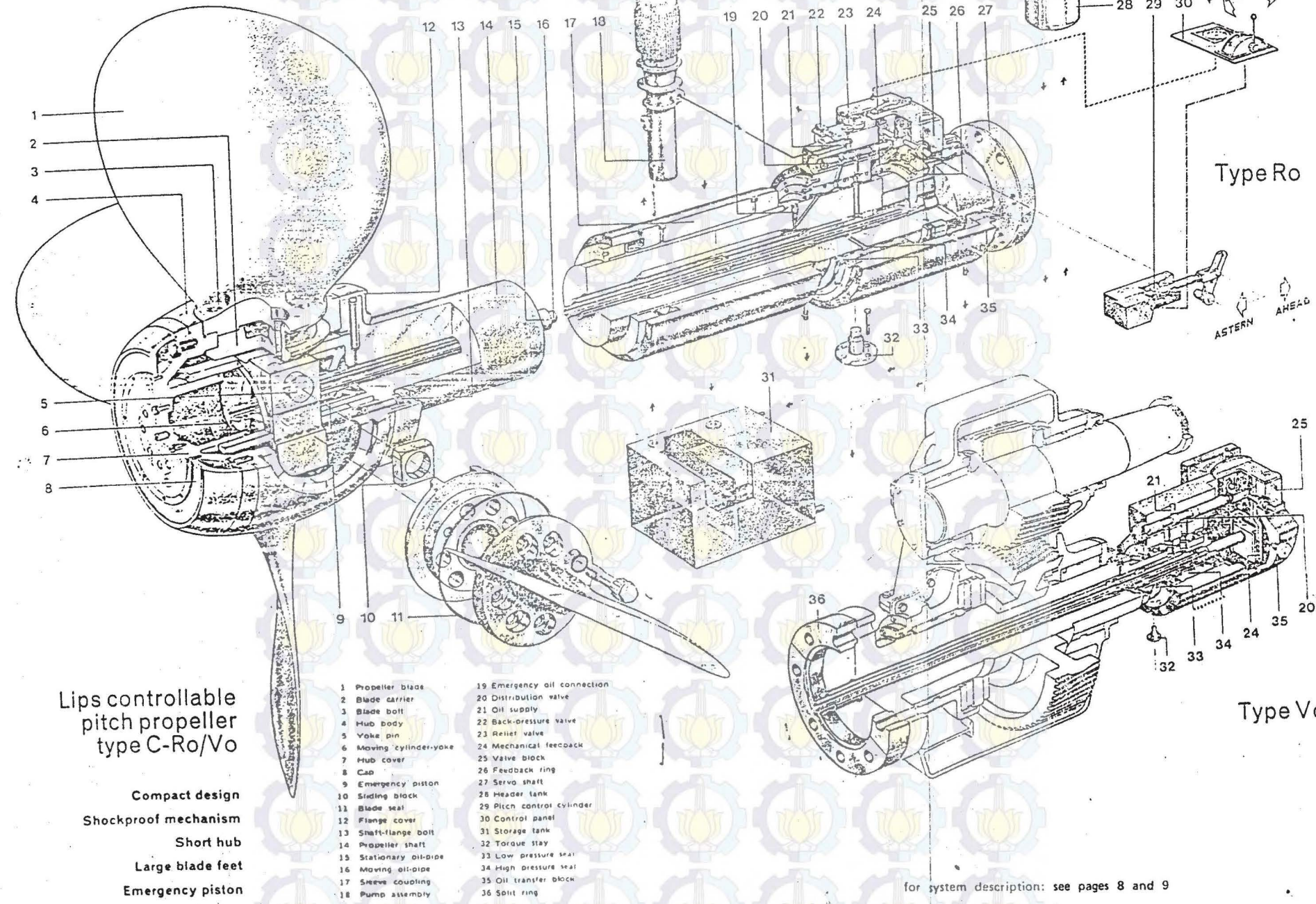
36. Actual pitch transmitter

21. Control valve

37. Pitch indicator

22. Pilot valve

V. REMOTE CONTROL AND.



Daun-daun propeller (1) pada sistem CPP biasanya diikat dengan baut pada *trnnion* (3), sehingga memungkinkan untuk pembongkaran/perbaikan tanpa membuka *hub* (9). Kadang-kadang untuk kapal-kapal yang berada dalam kondisi ekstrim, seperti pemecah es atau beban-beban propeller cukup tinggi, daun-daun tersebut dituang/dicor menjadi satu dengan trunnion. Untuk kapal-kapal perang pada daun propeller tersebut dilengkapi dengan unit udara tekan pada tepi daun (*leading edge*) yang berfungsi mengurangi kebisingan (noise).

Pengaturan bantalan-bantalan trunnion memungkinkan penggunaan *lever arm* (4) yang panjang dengan menghasilkan gaya aksial rendah dan stroke panjang, yaitu untuk kendali pitch supaya tepat. Bagian *hub* (9) sendiri selain berfungsi sebagai tempat daun-daun propeller berputar juga dapat berfungsi sebagai *servomotor cylinder* (10), dimana *servomotor piston* (8) dengan diameter yang besar dapat digunakan. Diameter *servomotor piston* (8) yang besar memungkinkan daun-daun propeller (1) dapat dikendalikan pada posisinya dengan tekanan oli yang tidak begitu besar. *Servomotor piston* (8) juga dilengkapi dengan

oli ring yang berfungsi agar oli tidak keluar dari celah antara servomotor piston (8) dan servomotor cylinder (10). Servomotor piston (8) ini dengan tekanan hidrolis akan menggerakkan daun propeller melalui *adjusting crank* (4), *link* (6), dan *crosshead with double supporting adjusting rod* (7). Pada CPP type lain servomotor piston kadang-kadang dilengkapi dengan pegas yang dipasang dalam hub, dimana pegas tersebut secara otomatis akan menempatkan daun propeller pada posisi maju, jika tekanan oli atau mekanisme kendali tidak berfungsi.

Mekanisme-mekanisme di dalam hub dihubungkan ke oil distribution unit dengan *double concentric oil tube* (15). Posisi double oil tube (15) dapat ditempatkan dalam kamar mesin. Double oil tube (15) mengikuti setiap gerakan servomotor piston (8). *Mechanical feedback system* (20) memungkinkan setiap posisi oil tube disalurkan ke slide ring yang dipasang di bagian luar poros. Melalui slipper dan lever system sinyal-sinyal umpan balik diarahkan ke *pilot valve* (22) dan ke *actual pitch transmitter* (36).

Poros propeller (13) memiliki flange yang menjadi

satu kesatuan pada ujung belakang poros dan bagian depan adalah *removable coupling flange* (14). Serupa dengan poros antara, unit distribusi oli yang kompak ditempatkan di dalam poros secara langsung di bagian depan sterntube sealing jika memungkinkan. *Sleeve* (19) di dalam shaft bore menghubungkan dua lubang radial di dalam poros (16). Bagian ini diperkuat dengan pelaluan yang berhubungan dari double oil tube(15). Dua lubang radial dan pelaluan bagian dalam dari doubleoil tube menyalurkan hydraulicoil ke silinder. Lubang aksial dan pelaluan diantara oil tube bagian luar dan shaftbore menghubungkan ruangan di depan *blade seal* (2) dengan headoil tank. Head oil tank menjaga agar tekanan oli tersedia selama waktu yang cukup untuk menentralkan tekanan hydrostatik air di sekeliling daun propeller.

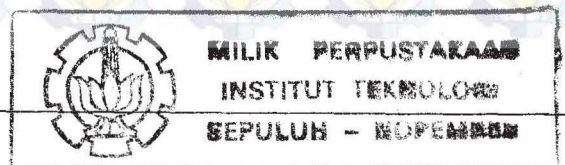
Control valve (21) ditempatkan pada bagian atas *oil distribution box housing* (17). Unit ini berisi semua komponen yang dibutuhkan untuk menyalurkan sinyal perintah dari remote control, yang diumpulkan melalui *pitch seller* (33) ke poros perintah, menuju gerakan yang berhubungan dari servomotor piston (8)di dalam propeller dan

selanjutnya daun propeller. Mengenai penempatan control valve ini ada dua cara, yaitu : ditempatkan di dalam hub pada kamar mesin.

Untuk menghasilkan tekanan oli yang digunakan pompa jenis ulir (23) dengan pompa cadangan yang selalu siap bila diperlukan. Perlengkapan lain yang juga tersedia adalah mechanical locking device(29) yang berfungsi mengunci secara mekanis propeller pada posisi ke muka jika sistem hidrolik tidak bekerja dan handwheel (34) untuk kendali darurat propeller secara manual pada keadaan remotecontrol tidak berfungsi dengan baik.

C. Penggunaan Dari Controllable Pitch Propeller(C.P P)

Seperti kita ketahui, perkembangan di bidang peralatan penggerak kapal mengalami kemajuan sejak digunakannya prinsip-prinsip aerodinamik pada perencanaan propeller. Alat penggerak kapal yang sering digunakan adalah yang dinamakan Screw Propeller. Jenis propeller ini umumnya memiliki daun sebanyak dua atau lebih yang terpasang pada Hub atau Boss Propeller. Hubungan antara daun-daun itu sendiri dengan hub/boss dapat berupa



satu kesatuan ((Integral, Solid/ Fixed Propeller), sedangkan bilaterpasang pada boss disebut Built-up Propeller, dan yang terakhir berupa daun propeller yang dapat bergerak pada hub/boss (Controllable Pitch Propeller).

Propeller bergerak hanya berputar saja, dimana penyerapan tenaga tidak sebanding dengan gerakan kapal diatas permukaan air. Jadi jumlah tenaga yang diserap tidak akan menghasilkan jumlah thrust yang sebanding. Sehingga pergerakan kapal akan terasa berat, dimana hal ini berhubungan erat dengan pitch dan kecepatan propeller. Pengaturan yang ideal adalah dengan mengatur pitch terhadap kondisi pengoperasian dan mencapai effisiensi propulsi maksimum pada berbagai keadaan.

Penggunaan propeller berdaun tetap hanya dapat memanfaatkan tenaga terpasang dari motor utama pada batas kecepatan masing-masing untuk satu jenis pengoperasian kapal. Untuk kondisi pengoperasian yang lainnya batas tenaga yang seharusnya dihasilkan tidak dapat dicapai dan disamping itu penampilan unjuk kerja secara penuh (Full Full Performance) tidak dapat dihasilkan. Sehingga

penggunaan propeller berdaun tetap tidak memungkinkan untuk memanfaatkan tenaga secara penuh pada semua beban propeller.

Keistimewaan daripenggunaan C.P.P adalah kemampuan propeller ini dalam hal manover (olah gerak). Jika digunakan propeller dengan pitch yang tetap, maka motor induk harus dibalik putarannya (motor induk harus dimatikanlalu untuk pembalikan putaran), dan baru bergerak mundur . Hal ini akan memerlukan waktu , disamping itu kontrol kendali permesinan penggerak dengan propeller pitch tetap lebih rumait daripada sistem yang dibutuhkan untuk C.P.P. Pada penggunaan C.P.P dengan pengaturan pitch, maka secara cepat gerakan mundur dapat dilakukan dan kontrol kendalinya dapat secara mudah dilakukan dari satu tempat (misalnya Bridge Room). Kendali langsung ini akan membuat kapal lebih mampu berolah gerak (manuver) dan faktor keamanan bertambah untuk mampu beraksi dalam situasi kritis, seperti lalu lintas laut yang padat di pelabuhan, kanal-kanal atau kedaan pada waktu jika penglihatan buruk. Untuk gerakan mundurpun motor induk tidak perlu dimatikan guna

pembalikan putaran dan kehilangan udara start akibat keadaan ini tidak perlu terjadi, tetapi selama berhenti propeller tetap berputar pada posisi netral.

Penggunaan C.P.P akan terasa penting, jika dilihat pada saat ini banyak kapal-kapal yang menggunakan motor induk diesel putaran tinggi dan gas turbin baik secara sendiri-sendiri atau kombinasi dari keduanya.

Dibandingkan dengan penggerak kapal konvensional, sistem propulsi dengan diesel putaran tinggi dan gas turbin memiliki batasan-batasan pengoperasian yang lebih terbatas. Disamping itu alasan-alasan lainnya ,yaitu :

- a. Turbin gas tak dapat diputar balik, begitu pula pembalikan pada motor diesel putaran tinggi akan merugikan karena beban panas yang timbul akan tinggi. Akibatnya akan dibutuhkan peralatan tambahan untuk kapal agar dapat bergerak mundur.
- b. Pada turbin gas dan motor diesel putaran tinggi, kecepatan pengoperasianya terus menrus (continuous rating) terendah adalah relatif tinggi sekitar 40 - 50 % dari putaran puncaknya (rated RPM). Akibatnya akan dibutuhkan peralatan

tambahan untuk menggerakkan kapal secara handal pada kecepatan rendah dan lebih rendah.

c. Batasan pengoperasian yang dapat diandalkan dari turbin gas dan motor diesel putaran tinggi lebih sempit daripada motor diesel putaran rendah atau turbin uap. Sehingga dibutuhkan untuk menyerap output yang mendekati batas kecepatan tertentu.

d. Pada kapal-kapal tertentu seperti kapal perang sering digunakan kombinasi antara motor diesel dan turbin gas. Kombinasi ini merupakan suatu keuntungan, sebab kapal perang beroperasi pada tenaga penuh tak lebih dari 5 - 10 % dari waktu dinasnya. Selebihnya kapal perang beroperasi dengan periode yang dengan tenaga yang berkurang (misal : pada kecepatan jelajah untuk patroli) dan beban rendah. Adanya beban penggunaan kombinasi akan menyebabkan kapal tetap dapat beroperasi secara ekonomis daripada jika semua motor induk beroperasi pada beban rendah. Jadi pada pengoperasian tertentu output memungkinkan dibagi diantara lebih dari satu

penggerak utama atau hanya salah satu motor penggeraknya saja. Sehingga dengan adanya spesifikasi-spesifikasi tertentu dari tiap-tiap motor penggerak , dibutuhkan propeller yang sesuai yaitu dengan penggunaan C.P.P.

Dari pembahasan diatas dapat disimpulkan bahwa keuntungan penggunaan dari C.P.P adalah sebagai berikut :

- 1.Kemampuan yang baik untuk kapal yang beroperasi pada kecepatan yang berbedaan tingkat beban yang bervariasi.
- 2.Thrust konstan dapat dicapai pada tingkat beban yang bervariasi.
- 3.Memberikan kemampuan untuk percepatan, berhenti, dan olah gerak (manouver) yang lebih baik.
- 4.Kemungkinan untuk variasi kecepatan kapal tanpa mengubah besarnya putaran dengan mengatur pitch dari daun-daun propeller.
- 5.Kemungkinan untuk menggunakan motor penggerak non reversible yang bekerja pada putaran tertinggi.
- 6.Jika sebuah generator secara langsung dihubungkan

dengan motorinduk, maka dibutuhkanuntuk menjaga agar putaran dalam keadaan tetap, yang mana dapat dilakukan jika pengaturan propeller yang dapat diatur digunakan.

2.3. SPESIFIKASI DAN KARAKTERISTIK DARI TUG BOAT BROMO

Adapun data-data dari kapal tug boat BROMO adalah sebagai berikut :

TYPE	:	TUG BOAT
MERK	:	BROMO
LOA	:	24.00 m
LWL	:	22.50 m
LPP	:	21.50 m
B mould	:	6.50 m (*)
H	:	2.90 m
T (Sarat)	:	2.25 m
Cb	:	0.517
Cm.	:	0.862
Vs (Kecepatan Dinas)	:	10.50 knot

Data mesin yang diganti
Sedangkan data-data propeller adalah :

TYPE	:	CONTROLLABLE PITCH PROP
DIA	:	1500
PITCH (Const) (MM)	:	900
PITCH RATIO	:	0.6
AREA DISC (M ²)	:	1.76715
AREA DEVELOPED(M ²)	:	0.71280
BOSS DIA (MM)	:	510
BOSS RATIO	:	0.340
BALDE THICKNESS RATIO	:	0.045
DIRECTON OF ROTATION	:	CLOCK WISE

Kapal Tug Boat Bromo digerakkan maju dengan 2 propeller yang memakai 2 motor (mesin induk) . Pada sistem Transmisinya tanpa menggunakan Reduksi Gear , dengan direncanakan putaran propeller 360 RPM.

BAB III

PERHITUNGAN TAHANAN KAPAL DAN DAYA MOTOR PENGERAK UTAMA

KAPAL

Untuk menghitung besarnya kebutuhan daya motor untuk menggerakkan kapal, terlebih dulu menghitung besarnya tahanan kapal itu sendiri kecuali untuk kapal Tug Boat karena disamping mengetahui tahanan kapal tersebut juga memperkirakan besarnya tahanan kapal yang akan ditarik.

Metode perhitungan tahanan kapal yang akan dibahas diantaranya :

- METODE SV.AA.HARVALD.

- METODE I.W LAP

3.1. PERHITUNGAN TAHANAN KAPAL DENGAN METODE SV.AA.HARVALD

3.1.1. Letak Titik Tekan Keatas Terhadap Midship Section (LCB).

Perhitungan letak LCB didasarkan menurut SV.AA.

HARVALD dalam "Resistance & Propulsion of Ship"

yaitu bahwa midship section terletak pada $48,5\% \times$ LWL yang diukur dari Fore Peak (FP)

a. Midship section = $48,5\% \times$ LWL

b. L displacement = $\frac{1}{2} \times (LWL + Lpp)$

$$\begin{aligned} c. \text{ LCB kapal} &= 1/2 \times L \text{ disp} \\ &= 1/2 \times 84,695 \end{aligned}$$

Sehingga didapat harga LCB terhadap midship section sebesar :

$$\text{LCB} = \text{LCB kapal} - \text{Midship section}$$

bila harga positip, maka LCB terletak di belakang midship section.

$$\text{LCB} = (\text{LCB kapal} - \text{Midship section} / \text{LPP}) \times 100\%$$

3.1.2. Koefisien Prismatik Memanjang

Besarnya dihitung menurut rumus persamaan berikut

ini :

$$\beta = C_m = 0,9 + 0,1 (C_b)^{0,5}$$

$$\varphi = \delta / \beta = C_b / C_m$$

3.1.3. Breath - Drought Ratio

$$B/T = 14,47 / 6,43$$

$$= 2,250$$

3.1.4. Volume Displacement

$$\nabla = L_w l \times B_m d \times T \times \delta \quad (m^3)$$

3.1.5. Displacemen Kapal

$$D = \nabla \times b_{air} \times C \quad (ton)$$

3.1.6. Luas Permukaan Basah

Besarnya dihitung berdasarkan Mumfords Formula,

adalah sebagai berikut :

$$S = 1,025 \times L_{pp} (C_b \times B + 1,7 T) (m^2), \text{ atau}$$

$$S = LWL. (1,7. T + C_b. Bmld) (m^2)$$

3.1.7. Length Volume Displacement Ratio :

$$\frac{L}{\nabla^{1/3}} *$$

$$3.1.8. \text{ Froude Number : } Fn = \frac{V}{\sqrt{gL}}$$

$$3.1.9. \text{ Speed - Length Ratio : } \frac{V}{L}$$

3.1.10. PERHITUNGAN TAHANAN SISA (CR)

3.1.11. Perhitungan Tahanan Sisa (CR) standart.

Besarnya dihitung menurut SV.AA.HARVALD dalam buku

"Resistance of Propulsion Ship", yaitu menurut

grafik 1 dan 2 dalam lampiran.(hal 119)

Dengan harga $L/\nabla^{1/3}$, dan harga $\frac{V}{L}$ yang kita

peroleh serta harga φ , maka dengan melakukan

interpolasi diantara harga-harga yang ada ditabel.

Harga tahanan sisa 10^3 (CR) akan diperolehnya.

3.1.12. Harga Koreksi-Koreksi

a. Koreksi terhadap B/T standar

Besarnya dihitung menurut rumus berikut ini
 (Rumus SV.AA.HARVALD)*:

$$10^3 CR = 0,16 (B/T - 2,5)$$

b. Koreksi terhadap LCB standar

Besarnya dihitung menurut SV.AA.HARVALD dengan menggunakan grafik 3 dalam lampiran.(hal 128)

$$10^3 CR = \frac{\gamma}{\gamma} \frac{10^3 CR}{LCB} |\Delta LCB|$$

Dengan mencari harga batasanya/ antaranya untuk

harga-harga $\frac{V}{L}$, dan φ , didapatkan 2 harga

$\frac{\gamma}{\gamma} \frac{10^3 CR}{LCB}$. Sehingga dengan interpolasi akan didapatkan harga $\frac{\gamma}{\gamma} \frac{10^3 CR}{LCB}$ yang sesuai.

Jadi koreksi LCB adalah sebesar :

$$10^3 CR = \frac{\gamma}{\gamma} \frac{10^3 CR}{LCB} * LCB \text{ kapal}$$

c. Koreksi terhadap hull form

Koreksi ini dipengaruhi bentuk fore body dan after body kapal , dan harga koreksian didapatkan pada tabel.(umumnya dalam bentuk U

dan V).

d. Koreksi terhadap bentuk bow

Besarnya adalah dihitung menurut SV.AA. HARVALD
yaitu dengan melihat tabel 1 dalam lampiran.

(hal 129).

Dengan menentukan harga F_n , dan φ , akan
didapat harga $10^3 CR$ bila dilakukan interpolasi.

e. Koreksi terhadap Appendages

- Rudder = no correction

- Bige keel = no correction

- Shaft brackets and shaft = no correction

untuk fine ship ditambahkan $(5 - 8)\% \times 10^3 CR$

- Bossing = $(3 - 5)\% \times 10^3 CR$ standar

3.1.13. Jumlah Total Tahanan Sisa (CR)

Dengan menjumlahkan semua harga CR maka akan
diperoleh harga $10^3 CR$ -nya.

3.1.14. INCREMENTAL RESISTANCE (CA)

Besarnya dihitung menurut SV.AA.HARVALD dalam

"Resistance of Propulsion Ship" yaitu :

Dengan interpolasi tabel 2 didapat untuk harga
displacement tertentu . Didapatkan harga $10^3 CA$

3.1.15. AIR RESISTANCE AND STEERING RESISTANCE

Besarnya dihitung menurut SV.AA.HARVALD dalam "Resistance of Propulsion Ship" yaitu :

Untuk air resistance $10^3 \text{ CAA} = 0,07$

Untuk steering resistance $10^3 \text{ CAS} = 0,04$

3.1.16. TAHANAN GESEK

Perhitungan didasarkan pada tabel 3 yaitu tergantung pada panjang dan kecepatan kapal.

Dengan metode interpolasi didapat harga 10^3 CF

Koreksi terhadap CF' :

$$\text{CF}' = \text{CF} - \frac{\text{S}_1}{\text{S}}$$

dimana : $\text{S}_1 = 1,05 \text{ S}$

maka didapat harga CF'

3.1.17. TOTAL TAHANAN YANG BEKERJA PADA KAPAL

Besarnya dihitung menurut perhitungan seperti dibawah ini :

$$C_T = CR + CF' + CA + CAA + CAS$$

maka akan didapatkan harga 10^3 Ct

3.2. PERHITUNGAN TAHANAN DENGAN I.W. LAP

3.2.1. Letak Titik Tekan Ke Atas Terhadap Midship Section

(LCB).

* Menurut Trost :

$$\begin{aligned} - \text{ LCB kapal} &= (17,5 * \varphi - 12,5) \% \text{ Lpp} \\ &= -2,00 \% \text{ Lpp} = \end{aligned}$$

* Menurut Herald Phoe1 :

$$\begin{aligned} - \text{ LCB kapal} &= (19,3 * \varphi - 13,3) \% \text{ LPP} \\ &= -1,72 \% \text{ LPP} \end{aligned}$$

Dipilih letak LCB kapal terletak 1,72 % LPP
dibelakang midship kapal

3.2.2. Luas Permukaan Basah Kapal (Ω) :

$$\Omega = [3,4 * \Delta^{1/3} + 0,5 * \text{LWL}] * \Delta^{1/3} (\text{m})$$

Dengan cara lainnya :

$$\Omega = \text{Lwl} * (1,7 * T + \beta * B) (\text{m})$$

3.2.3. Luas Midship :

$$\otimes = B * T * C_m (\text{m}^2)$$

3.2.4. Parameter bentuk badan kapal dalam hubungannya dengan tahanan sisa kapal

dengan koeffisien tahanan sisa kapal (μ) :

$$\mu = \frac{V_E}{(\phi \times L_{pp})^{0,5}}$$

3.2.5. Tahanan sis a spesifik (Residury Resistance

Coefficient)

- Grup A _____ $a = 13,46 \phi - 8,48$

- Grup B _____ $a = 13,46 \phi - 8,88$

- Grup C _____ $a = 13,46 \phi - 9,28$

- Grup D _____ $a = 13,46 \phi - 9,68$

- Grup E _____ $a = 13,46 \phi - 10,08$

Dengan membandingkan harga dari LCB Kapal, maka dapat digolongkan padagrup antara grup yang satu dengan grup yang lainnya secara berurutan. Setelah menemukan diantara 2 grup , maka dapat untuk memulai membaca dalam satu grup masing-masing.

(Pembacaan Grafik-grafik dapat dilihat pada lampiran).

Kemudian dengan interpolasi dari harga yang didapatkan dalam satu grup, akan diperoleh harga ξ_r ,

Setelah itu dari perhitungan-perhitungan yang telah dilakukan tersebut bisa dihitung besarnya spesific residuary resistance (ξ_{rs}) :

$$\xi_{rs} = \xi_r * (\Phi/\Omega)$$

3.2.6. Spesifik Frictional Resistance ($\xi_{fr.s}$)

Dari tabel 2 bab "diagram for determining the resistance of single screw" bisa diperoleh besarnya spesifik frictional resistance ($\xi_{fr.s}$) yang merupakan fungsi dari kecepatan kapal dan panjang kapal (Lpp). Dengan interpolasi bisa ditentukan harga $\xi_{fr.s}$, dengan memasukkan data Lpp dan Vs kapal.

3.2.7. Total spesific resistance (ξ_{ts})

$$\xi_{ts} = \xi_{fr.s} + \xi_{rs}$$

3.3. EFFISIENSI PROPELLER

Effisiensi propeller (η_p) adalah merupakan ukuran baik buruknya propeller ditinjau dari segi produktivitasnya dalam menghasilkan gaya dorong dan didefinisikan sebagai ratio antara tenaga dorong tersebut oleh propeller (THP = Thrust Horse Power) dengan tenaga yang dihasilkan poros propeller (SHP = Shaft Horse Power), jadi : $\eta_p = T.H.P / S.H.P$ *)

Sedangkan besarnya thrust horse power dapat dirumuskan : $T.H.P = T. V_a / 75$
dimana : T = gaya dorong yang dihasilkan propeller.(kg)
 V_a = kecepatan relatif dari partikel air yang

melewati piringan propeller disc (m/s).

$$V_a = (1 - w) V_s$$

V_s = kecepatan dinas (m/s)

Untuk Merencanakan propeller dengan memakai diagram

hasil percobaan , antara lain :

A. Systematic Screw Series

Pertama-tama yang harus dilakukan dalam perencanaan propeller dengan cara menggunakan diagram screwseries yang menyatakan pilihan type dari sekian banyak type dari screw series yang sekiranya sesuai dengan kapal yang direncanakan . Hal ini sudah tentu memerlukan pengalaman untuk dapat segera menemukannya secara tepat.

Langkah berikutnya adalah menghitung koeffisien yang diperlukan dalam pemakaian diagram-diagram, antara lain : untuk propeller type B-series (K_t - K_q - J diagram) dimana kemudian dilanjutkan untuk memudahkan pemakaian dalam perencanaan propeller menjadi $B_p - \delta$ diagram atau $B_u - \delta$ diagram, dimana harga-harga yang dibutuhkan :

$$K_t = \frac{T}{\rho * n^2 * D^4} ; K_q = \frac{Q}{\rho * n^2 * D^5} ; J = \frac{V_a}{n * D} *)$$

B. Diagram ($K_q - K_t$) dari propeller type B-series :

Harga V_s telah ditentukan, dengan memakai rumus Taylor.

Karena C_b kapal diketahui maka harga w dapat dicari. Jika perputaran propeller dan harga P juga diketahui, maka harga K_q dan J dapat dihitung dengan memisalkan beberapa harga diameter propeller (D) yang diperkenankan, dimana : Q dalam kgm adalah $K_q = Q \sqrt{\rho * n^2 * D^5}$, dan $J = V_a / n * D$ dimana : V_a : kecepatan maju kapal (m/s)
 n : putaran propeller (put/s)
 ρ : $102,0 \text{ kgm}^{-4} \text{ s}^2$ untuk Fresh water
 $104,5 \text{ kgm}^{-4} \text{ s}^5$ untuk sea water

Dapat dihitung juga beberapa harga D yang dimisalkan besarnya dengan pertolongan $K_t - K_q - J$ diagram dari type propeller yang dipilih, dengan mengeplot harga-harga K_q dan J yang telah dihitung tadi dan dengan cara interpolasi, maka dapatlah diketahui harga $H \setminus D$ dari masing-masing diameter yang dimisalkan. Dengan harga $H \setminus D$ yang telah ditemukan tersebut pada harga J diatas dengan cara interpolasi lengkungan garis η_p pada diagram, maka dapatlah dicari harga η_p dari masing-masing harga diameter propeller yang dimisalkan.

3.3.1. HULL EFFISIENSI *)

Effisiensi hull adalah harga perbandingan antara tenaga efektif (E.H.P) terhadap tenaga dorong kapal (

T.H.P), yang dirumuskan : $\eta_H = E.H.P / T.H.P$

atau :

$$\eta_H = \frac{1 - t}{1 - w}$$

Harga Wake Fraction (W) :

untuk single screw : $W = -0,05 + 0,5.C_b$

untuk twin screw : $W = -0,20 + 0,55.C_b$

Harga Thrust Deduction (t), untuk twin screw (t) = W

3.3.2. RELATIVE ROTATIVE EFFISIENSI

Hargadari relative rotative effisiensi adalah
dirumuskan sebagai berikut :

η_{rr}^p behind the ship condition

$$\eta_{rr}^p = \frac{\eta_p}{\eta_p \text{ open water condition}}$$

$$= \frac{\frac{T \cdot V_a}{2 \pi Q n}}{\frac{T_o \cdot V_a}{2 \pi Q_o n}} = \frac{T / Q}{T_o / Q_o} \quad *)$$

Harga dari $\eta_{rr}^p = 0,95 - 1,09$

Dengan memakai ketentuan-ketentuan diatas, maka

Propulsi Coefficient (P.C) adalah :

$$P.C = \frac{R \cdot V_s}{2 \pi Q n} = \frac{R \cdot V_s}{T \cdot V_a} \times \frac{T_o \cdot V_a}{2 \pi Q o n} \times \frac{T / Q}{T_o / Q_o}$$

$$\text{sehingga : } P.C = \eta_H \times \eta_P \times \eta_{TR}$$

3.4. PERHITUNGAN DAYA EFEKTIF PADA KEADAAN PERCOBAAN DAN KEADAAN SEBENARNYA

3.4.1. Kondisi Percobaan

$$PE = RT \times V$$

dimana

$$RT = CT \times 1/2 \rho V^2 S$$

$$\text{jika } \rho = 1,025 \text{ kg/m}^3$$

$$PE = RT * V \text{ (watt)}$$

3.4.2. PERHITUNGAN BHP MOTOR INDUK

Berdasarkan nilai effektif horse power diatas,

kemudian dapat dihitung besarnya harga DHP yaitu

dengan rumus :

$$DHP = EHP/PC$$

dimana :

$PC = \text{Propulsion Coeffisient}$

$$= \eta_H \times \eta_{TR} \times \eta_P \quad *)$$

$$E.H.P = PE \text{ (Hp)}$$

Selanjutnya BHP didapat dari rumus persamaan berikut

ini :

$$BHP = DHP (1 + Km + Kc)$$

K_m = koreksi karena letak kamar mesin, untuk kamar mesin dibelakang sebesar 0,03

K_c = koreksi cuaca, karena kapal berlayar dengan route Asia Timur Jauh maka dikoreksi sebesar 20%.

Kondisi BHP diatas adalah dalam keadaan CSR dan untuk menghitung besarnya BHP pada kondisi MCR maka besarnya BHP harus dikoreksi antara 80 - 85%.

3.5. PENGUJIAN KAVITASI.

Dari propeller tersebut diatas dilakukan perhitungan terhadap pengaruh kavitas pada daun propeller, perhitungannya sebagai berikut :

A. Water Load diatas sumbu poros baling-baling :

$$h = (T-E) + H = 1,27125 \text{ m}$$

dimana :

- Tinggi sarat (T)

- Tinggi poros dari base line (E)

- Tinggi gelombang (H) : 0,75% * LPP

B. Tekanan hydrostatis didalam air laut :

$$P_o = h * 1,025 * 1000 (\text{kg/m}^2) *$$

C. Tekanan atmosfir (tekanan pressure) :

$$e = 10100 \text{ kg/m}^2$$

D. Tekanan statis pada sumbu poros propeller : (Pote)

E. Speed of advance :

$$V_a = (1 - w) V_s$$

F. Perhitungan Daya dorong (Thrust) :

$$S = DHP * 75 * \eta_p * 1,025 / V_a$$

G. Angka kavitasasi (σ_0)

$$\sigma_0 = \frac{P_0 + e}{0,5 \rho V_a^2} \quad *)$$

Dari gambar 123 buku Van Lameren didapat batas

kavitasasi adalah $\frac{S/F_P}{P_0 - e}$

Maka dapat dihitung :

$$F_a = \text{Blade area ratio} \times 0,25 \times \pi \times D^2 \text{ (m}^2\text{)}$$

$$F_P' = F_a (1,067 - 0,224 H_o/D)$$

Dengan syarat agar tak terjadi kavitasasi $F_P' > F_P$

B A B IV

GETARAN YANG TERJADI PADA SISTEM PROPULSI

4.1. TERMINOLOGI GETARAN

Terminologi tertentu yang digunakan dibidang getaran perlu disebutkan disini. Terminologi yang paling sederhana adalah "Nilai Puncak dan Nilai Rata-Rata".

Nilai puncak biasanya menyatakan tekanan maksimum yang dialami bagian yang bergetar. Nilai ini juga menentukan batas pada kebutuhan "Ruang Gemeretak" (*Rattle Space*).

Nilai rata-rata menyatakan nilai tunak (steady) atau nilai statik yang agak serupa dengan tingakt DC suatu arus listrik. Nilai ini dapat diperoleh dari integral waktu :

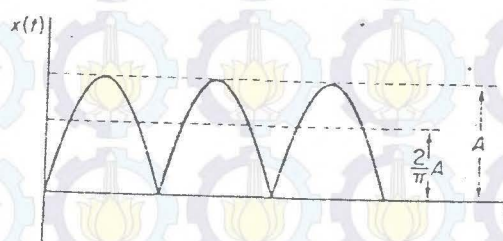
$$\bar{x} = \lim_{T \rightarrow \infty} \frac{1}{T} \int_0^T x(t) dt$$

Sebagai contoh, nilai rata-rata gelombang sinusuntuk siklus yang lengkap, $A \sin t$ adalah nol; sedangkan nilai rata-ratanya untuk setengah siklus adalah

$$\bar{x} = \frac{A}{\pi} \int_0^{\pi} \sin t dt = \frac{2A}{\pi} = 0,637 A$$

Jelaslah bahwa ini juga merupakan nilai rata-rata

gelombang sinus yang direktifikasi / diperbaiki seperti yang terlihat dalam gambar dibawah



GAMBAR NILAI RATA-RATA GELOMBANG SINUS YANG DIREKTIFIKASI

Kuadrat simpangan biasanya dikaitkan dengan energi getaran yang diukur dari nilai purata kuadrat. Nilai purata kuadrat (Mean Square Value) suatu fungsi waktu $x(t)$ ditemukan dari rat-rata niali yang dikuadratkan, dan diintegrasikan untuk suatu selang waktu T :

$$\bar{x} = \lim_{T \rightarrow \infty} \frac{1}{T} \int_0^T x^2(t) dt$$

Sebagai contoh, bila $x(t) = A \sin \omega t$, maka nilai purata kuadratnya adalah

$$\bar{x} = \lim_{T \rightarrow \infty} \frac{A^2}{T} \int_0^T \frac{1}{2} (1 - \cos 2\omega t) dt = 1/2 A^2$$

Nilai akar purata kuadrat (apk) (Root Mean Square = rms) adalah akar nilai purata kuadrat. Dari contoh terdahulu, apk gelombang sinus dengan amplitudo A adalah $A / \sqrt{2} = 0,707 A$. Getaran biasanya diukur dalam meter apk.

DECIBEL : Satuan ukuran yang biasanya digunakan dalam pengukuran getaran. Decibel didefinisikan sebagai :

$$D_b = 10 \log_{10} \left(P_1 / P_2 \right) = 10 \log_{10} \left(x_1^2 / x_2^2 \right)$$

Kedua persamaan diperoleh dari kenyataan bahwa daya adalah sebanding dengan kuadrat amplitudo . Decibel sering dinyatakan dalam amplitudo adalah :

$$D_b = 20 \log_{10} \left(x_1 / x_2 \right)^2$$

Umumnya dalam bidang industri, batas ukuran Decibel adalah sebesar 100 D_b.

4.2. ISOLASI GETARAN

Gaya penggetaran yang ditimbulkan oleh mesin sering kali tak dapat dihindari, namun pengaruhnya pada sistem dinamik dapat banyak dikurangi oleh pegas yang direncanakan dengan tepat, yang dikenal sebagai isolator.

Padagambar dibawah, ambilah F_o sin ω t sebagai gaya perangsang yang bekerja pada sistem dengan satu derajat kebebasan. Gaya yang diteruskan lewat pegas dan peredam adalah :

$$F_T = \sqrt{(kX)^2 + (\alpha \omega X)^2} = kX \sqrt{1 + (\frac{c\omega}{k})^2}$$

Karena amplitudo X yang timbul karena gaya F_{osin ωt} diberikan oleh persamaannya adalah :

$$X = \frac{F_o / k}{\sqrt{(1 - \frac{m\omega^2}{k})^2 + (\frac{c\omega}{k})^2}}$$

Selanjutnya persamaannya diatas menjadi :

$$\frac{F_T}{F_0} = \frac{\sqrt{1 + (2(\omega_n/\omega))^2}}{\sqrt{(-1 - (\omega/\omega_n)^2)^2 + (2\omega/\omega_n)^2}}$$

dimana : $\omega_n = 1/2\pi\sqrt{g/\lambda}$ = frekuensi natural
 $\lambda = m.g/k$

g = gravitasi ($9,81 \text{ m/s}^2$)

k = kekakuan pegas = $A.E/l$

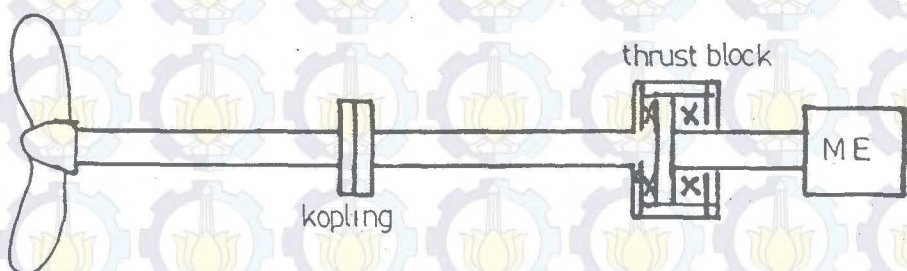
$E = 206.900 \text{ N/mm}^2$

A = luas penampang benda (m^2)

l = panjang pondasi

Sedangkan harga F_T / F_0 disebut rasio
TRANSMISIBILITAS.

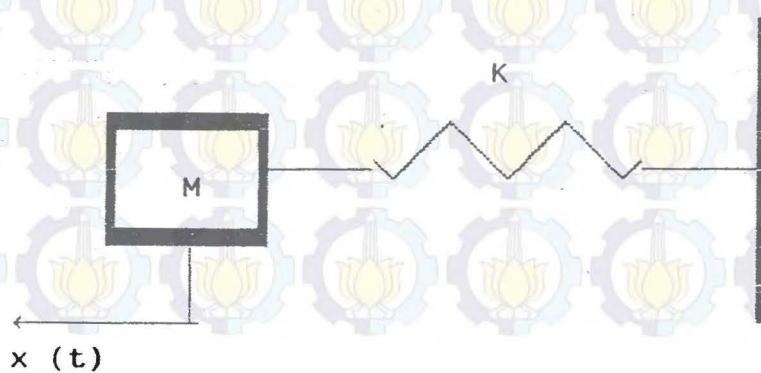
4.3. GETARAN LONGITUDINAL PADA SISTEM PROPULSI KAPAL



GAMBAR SISTEM PROPULSI KAPAL SECARA SEDERHANA

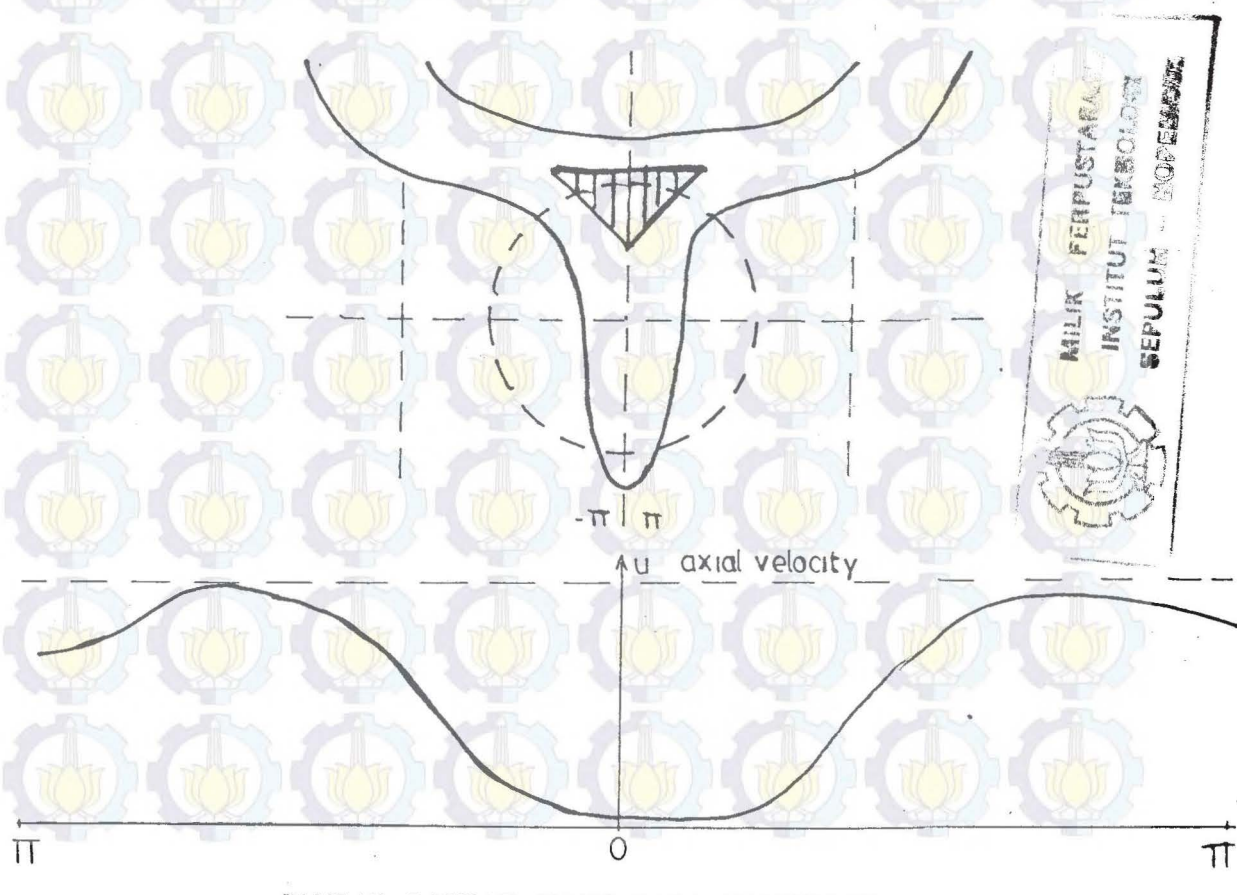
Seperti kita ketahui, gaya aksial dari propeller akan ditahan oleh "Thrust Bearing" dan kemudian diteruskan pada konstruksi kapal. Karena gaya aksial ini maka thrust bearing beserta pondasinya akan mengalami pergeseran / displasemen secara longitudinal.

Kalau dibuat grafik antara thrust dan defleksi pergeserannya , maka akan terlihat bahwa terdapat semacam pegas pada posisi thrust bearing tersebut, yang menggambarkan kekakuan dari bearing dan pondasinya.

Gambar Penyederhanaan Sistem Propulsi

Sistem propulsi ini bergetar secara longitudinal pada posisi dari thrust bearing ini. Kalau seluruh sistem propulsi ini dari propeller ke mesin dianggap sebagai suatu sistem kesatuan massa yang tegar, maka semua titik pada sistem tersebut akan bergetar dengan pergeseran axial sebesar $x(t)$.

Propeller pada kapal adalah selalu sebagai penyebab utama dari getaran longitudinal pada sistem propulsi. Propeller berputar pada kondisi "wake" yang tidak uniform. Pada sebelah atas (yang terlihat pada gambar) disebut sebagai daerah dengan wake besar, karena aliran air disekitar daerah itu bergerak pelan-pelan.



GAMBAR DAERAH WAKE PADA PROPELLER

Ketika daun propeller melewati daerah dengan wake besar ini, maka akan terjadi kenaikan sementara pada gaya dorong (thrust).

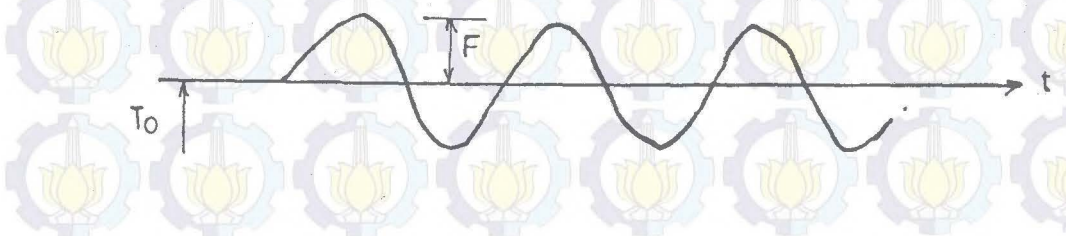
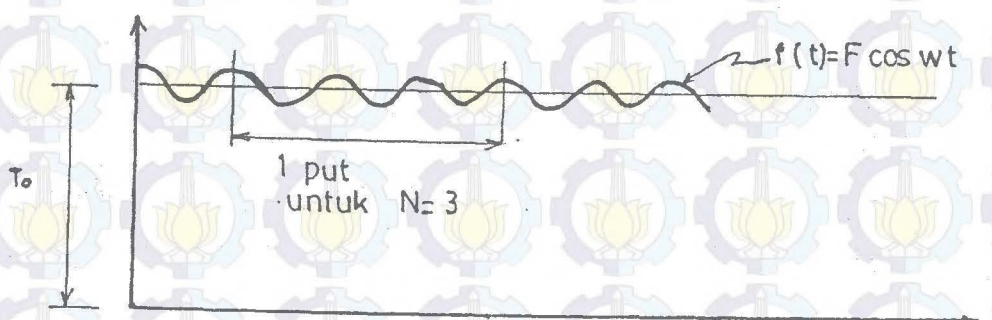
Dari sini dapat kita definisikan besarnya frekuensi eksitasinya yang disebut " Blade Rate Frequensi ", yaitu :

$$f = \frac{\text{RPM} \cdot N}{60} \quad *)$$

dimana : RPM = putaran propeller (RPM)

N = jumlah daun propeller

Seperti telah disebutkan diatas bahwa gaya eksitasi ini terjadi karena besarnya thrust yang merupakan fungsi dari waktu akibat daerah dari wake yang tidak uniform Pada putaran propeller yang konstan. Gambar untuk RPM dengan Waktu akan diperlihatkan seperti dibawah ini :



GAMBAR GRAFIK FUNGSI PUTARAN PROPELLER DENGAN WAKTU

Besarnya amplitudo adalah F , dapat didekati dengan bilangan konstan yang besarnya sepersekian dari "Steady Thrust" (yaitu thrust yang besarnya konstan / T_0), sehingga dapat ditulis sebagai :

$$F \approx B \cdot T_0$$

"Steady Thrust" ini berubah sesuai dengan apa yang disebut sebagai "Propeller Law", yaitu :

$$T_0 = T_{0R} \left(\frac{RPM}{RPM_R} \right)^2 \quad *)$$

Dimana : T_{0R} = sebagai "Rated Thrust", yaitu thrust max pada kecepatan penuh

RPM_R = sebagai "Rated RPM", yaitu max RPM

Dengan demikian besarnya amplitudo dari gaya eksitasi (F), ini adalah :

$$F = B \cdot T_{0R} \left(\frac{RPM}{RPM_R} \right)^2$$

atau :

$$F(w) = B \cdot T_{0R} \left(\omega / \omega_n \right)^2$$

dimana : $\omega = (RPM / 60) \cdot 2\pi N$, yang gambarnya adalah

terlihat dibawah ini.

Sejauh ini kita belum singgung besarnya harga B , yang

*) REF DARI DIKTAT GETARAN KULIAH PERKAPALAN

besarnya B ini berkisar antara 0 s/d 15 % tergantung bentuk buritan kapal (yaitu garis stern) dan juga sebagaimana propeller direncanakan .

Amplitudo dari gaya eksitasi ini pada kecepatan penuh menjadi :

$$F (w_{\max}) = B \cdot T_R$$

Besarnya amplitudo dari getaran kita pada keadaan resonansinya adalah :

$$x = \frac{F / K}{2 \zeta}$$

(damping) untuk sistem ini terutama terdiri dari " Hydrodinamic Damping " dari propeller ditambah dengan "Structural Damping " dari bajanya sendiri pada posisi thrust bearing dan pondasinya. Dalam hal ini hydrodinamik damping dari propeller akan jauh lebih dominan. Harga ζ ini biasanya diambil sebagai $\zeta = 0,05$.

Dengan mengambil standart dari " American Buerau Of Shipping ". Salah satunya mengatakan bahwa " Getaran longitudinal dari sistem propulsi dianggap berlebihan apabila Root Mean Square (RMS) dari amplitudo percepatannya lebih besar dari 0,25 g (g = gravitasi). Sedangkan bila percepatannya adalah :

$$\begin{aligned}
 a(t) &= x(t) = -\omega^2 x \cos(\omega t - \alpha) \\
 &= \omega^2 x \cdot \cos(\omega t - \alpha + \frac{\pi}{2}) \\
 &= A \cdot \cos(\omega t - \alpha_a)
 \end{aligned}$$

Sehingga amplitudonya percepatannya adalah :

$$A = \omega^2 x, \text{ dan sudut phasenya : } \alpha_a = \alpha - \frac{\pi}{2}$$

Dengan menganggap bahwa amplitudonya RMS konstan, maka :

$$A_{RMS} = \sqrt{\frac{A^2}{M}} \sum_{t=1}^{M-1} = A$$

atau :

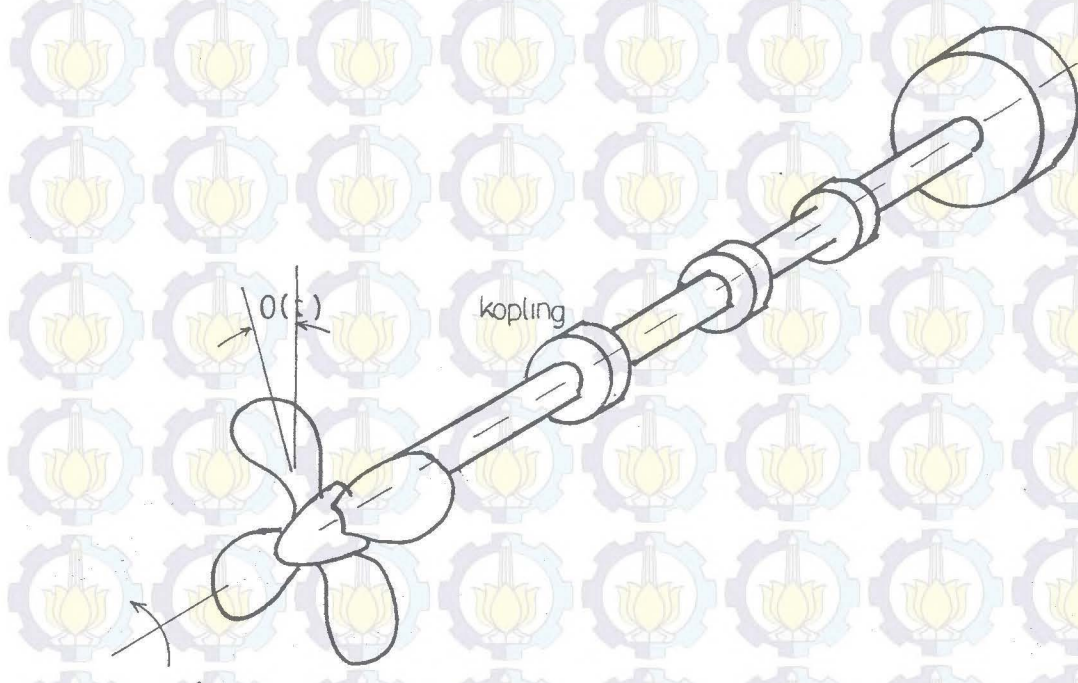
$$A = \left(\frac{RPM \cdot 2\pi}{60} \right)^2 \cdot x \quad *)$$

Dari penelitian, pada kondisi getaran tertentu seorang akan mengalami "Fatigue" kalau berada pada suatu tempat yang bergetar melebihi waktu tertentu, untuk besar getaran tertentu. Dari "International Standard Organisation" adalah bahwa bila seorang berada dalam kamar mesin lebih dari 8 jam dengan amplitudo getaran longitudinal lebih besar dari 0,4 mm untuk frekuensi pada 8 Hz (lihat pada tabel), dan jika terlampaui, maka kemampuan seseorang untuk melakukan pekerjaan akan menurun akibat fatigue tersebut.

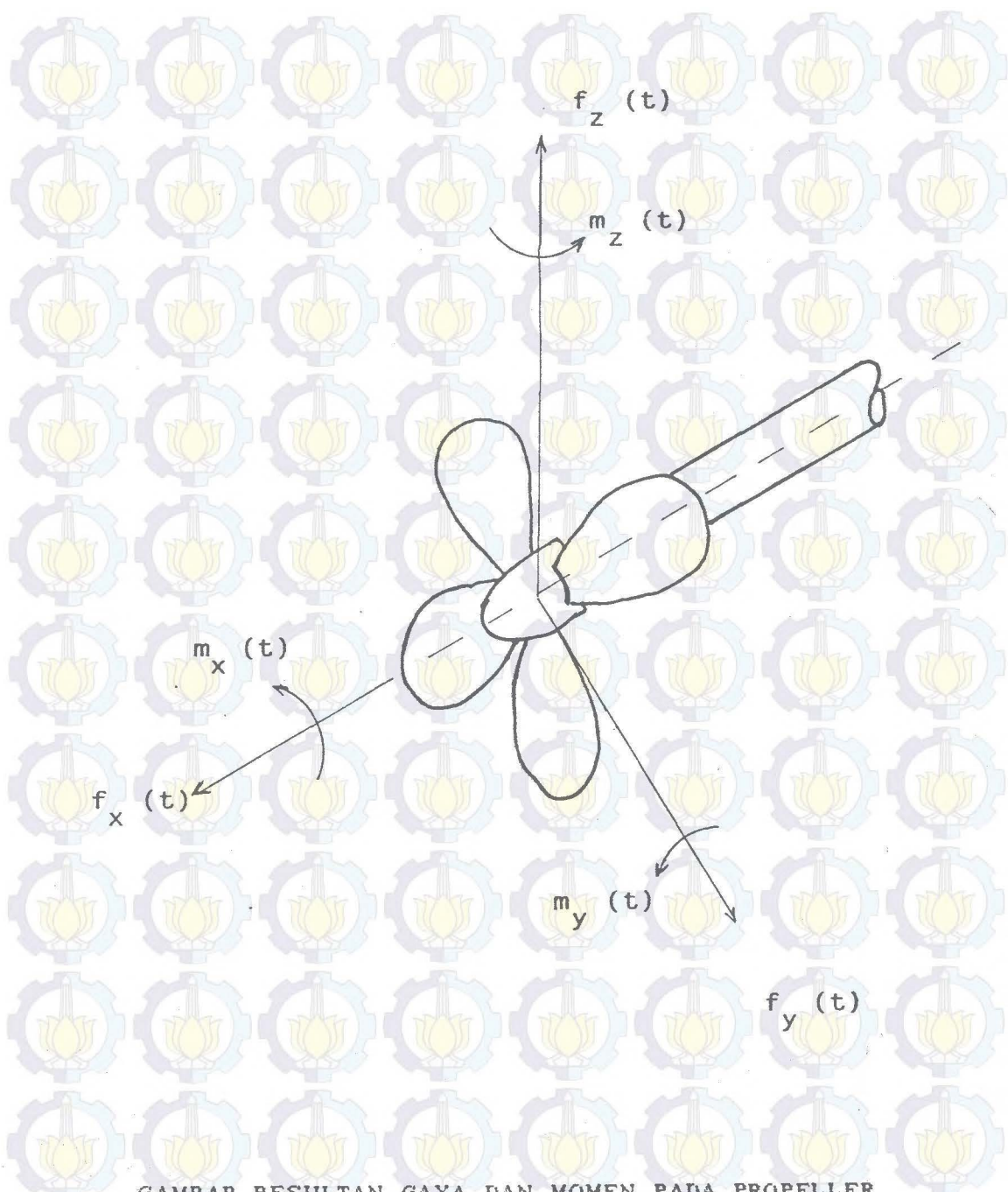
* REF DARI DIKTAT GETARAN KULIAH PERKAPALAN

4.4. GETARAN TORSIONAL PADA SISTEM PROPULSI

Ada 6 dari komponen dari "Unsteady Force" (gaya yang tidak steady), yaitu 3 komponen gaya dan 3 komponen momen. Gayaini seperti telah disebutkan sebelumnya adalah disebabkan oleh karena propeller berputar pada daerah wake yang uniform ("Circumferentially Non-Uniform Wake Field"). Gaya-gaya tersebut akan diperlihatkan :



Gambar Resultan Momen Sistem Propulsi



GAMBAR RESULTAN GAYA DAN MOMEN PADA PROPELLER

Keenam komponen gaya (dan momen) ini bekerja secara serentak dan kurang lebih dianggap sebagai sinusoida, dengan frekuensi adalah " Blade Rate Frekuensi " adalah :

$$\text{Gaya} : f(t) = F \cos (\omega t - \beta t) \quad (*)$$

$$\text{Momen} : m(t) = M \cos (\omega t - \beta \cdot m)$$

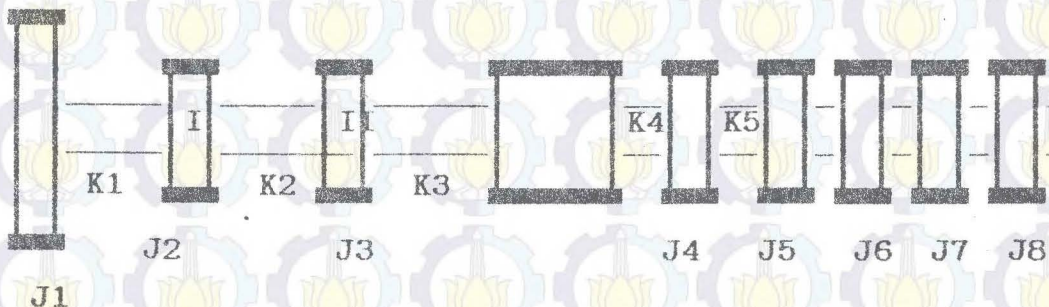
Dengan "Blade Rate Frekuensi" adalah $\omega = 2\pi \text{ RPM.N} / 60$.

Pada pembahasan terdahulu(getaran longitudinal), kita telah menganalisa dari komponen $f_x(t)$.

Pada hal ini kita akan membahas output / response yang terjadi akibat bekerjanya torque yang tidak steady ("alternating torque atau unsteady torque"), sehingga $m_x(t)$ adalah :

$$m_x(t) = M_x \cos(\omega t - \beta_m)$$

Untuk sistem propulsi dapat dibuat gambar sistem ekivalennya adalah :



dimana :

J_1 = momen inersia dari propeller

J_2 = momen inersia dari kopling I

J_3 = momen inersia dari kopling II

J_4 = momen inersia dari kopling gear box

$J_5 = J_7$ = momen inersia dari masing-masing piston

J_8 = momen inersia dari flywheel

K_1 = kekakuan poros propeller

K_2 = kekakuan poros antara kopling I dan kopling II

K_3 = kekakuan poros antara kopling II dan gear box

K_4 = kekakuan poros kopling gear box

$K_5 - K_7$ = kekakuan poros crank shaft

K_8 = kekakuan poros pada engkol

Dengan harga-harganya adalah :

4.4.1. Momen Inersia

- Momen Inersia Propeller :

$$J_1 = J_m + J_w$$

dimana :

J_m = momen inersia propeller itu sendiri

$$= 28 \times 10^{-8} \times \gamma \times D^5 \times A/Ad (A/Ad + 3)$$

γ = berat jenis bahan (kg/m³)

A/Ad = disk area ratio (type propeller)

J_w = momen inersia oleh karena pemasukan air

$$= 6,7 \times 10^{-10} \times D^5 (a - 0,1)(a + 5)$$

$$a = A/Ad \times H/D$$

$$H/D = \text{pitch ratio}$$

- Momen Inersia Kopling :

$$J_2 = J_3 = 2,55 \times WD^2$$

dimana :

$$W = \text{berat kopling flens} = \pi D^2 / 4 \times \gamma \times L$$

$$WD^2 = \text{effek rotasi massa (kg.m}^2\text{)}$$

- Momen Inersia Kopling Gear Box :

$$J_4 = 2,55 \times WD^2 \times n$$

dimana :

$$W = \text{berat roda gigi rotor} = \pi D^2 / 4 \times \gamma \times L$$

$$WD^2 = \text{effek rotasi massa (kg.m}^2\text{)}$$

$n = \text{ratio gear}$

- Momen Inersi Flywheel :

$$J_5 = 2,55 \times WD^2$$

dimana :

$$W = \text{berat flywheel} = \pi D^2 / 4 \cdot x \cdot \gamma \times L$$

$$WD^2 = \text{effek rotasi massa (kg.m}^2\text{)}$$

- Total Momen Inersia Masing-Masing Poros Engkol :

$$J_{\text{eng}} = \frac{\pi \gamma}{4 g} \left[\left(\frac{a D_1}{8} + b D_2^2 \right)^4 - \frac{D_2^2}{8} + R^2 \right] + \frac{t \cdot h \cdot c}{\pi} \times \left[\frac{h^2 + c^2}{3} + R^2 \right] + \frac{W_p + W_2}{2} \frac{R^2}{g}$$

dimana : $W_p = \text{berat piston}$; $g = \text{gravitasi bumi}$

$R = \text{radius poros engkol}$

$a = \text{jarak titik berat connecting rod dengan ujung poros engkol}$

$b = \text{jarak titik berat connecting rod dengan ujung pena torak}$

$\gamma = \text{berat jenis material}$

$W_1 = \text{berat poros engkol}$

$W_2 = \text{berat connecting rod}$

4.4.2. Kekakuan Poros

- Kekakuan Pegas Poros Propeller :

$$K_1 = G \cdot J / l \quad (\text{kg.cm}^{-1})$$

dimana :

$$J = \text{momen inersia polar } (\text{cm}^4) : \pi (D_1^4 - D_2^4) / 32$$

$$G = \text{modulus elstisitas geser poros } (78,4 \times 10^6 \text{ kg/cm}^2)$$

l = panjang poros

D_1 = diameter luar poros

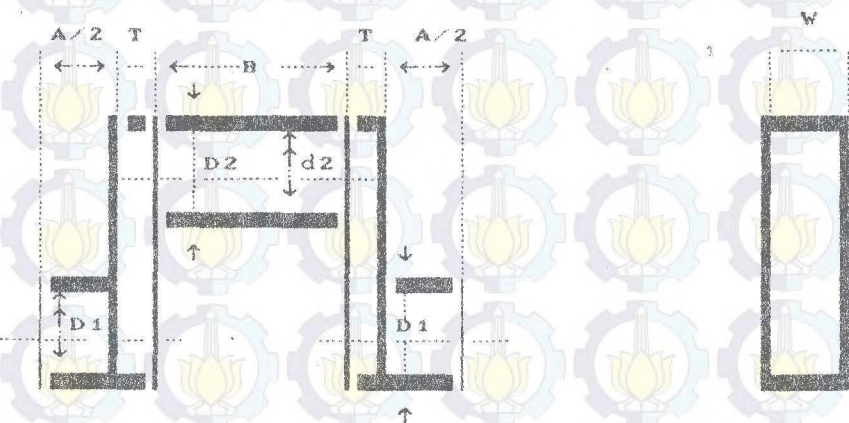
D_2 = diameter dalam poros

- Kekakuan Pegas Poros pada Crank Shaft :

Panjang ekivalen poros pada diameter (D) :

$$le = D \left[\frac{A + 0,8 T}{D_1^4 - d_1^4} \right] + \left[\frac{0,75 B}{D_2^4 - d_2^4} \right] + \left[\frac{1,5 R}{T \cdot W^3} \right]$$

dimana harga keterangan pada gambar :



GAMBAR UKURAN DARI CRANK SHAFT

Sehingga kekakuan crank shaft adalah :

$$K_1 = G \cdot J / le \quad (\text{kg.cm}^{-1})$$

Sehingga harga kekakuan pegas poros keseluruhan :

$$K_T = \frac{1}{K_1} + \frac{1}{K_2} + \frac{1}{K_3} + \frac{1}{K_4} + \frac{1}{K_5} + \dots + \frac{1}{K_n}$$

Sedangkan harga momen inersia :

$$J_a = J_1 + J_2 + J_3 \quad J_b = J_4 + J_5 + J_6$$

Maka frekuensi naturalnya :

$$f = \frac{1}{2\pi} \sqrt{\frac{K_T(J_a + J_b)}{(J_a + J_b)}} \quad (\text{put / sec})$$

BAB V

PERHITUNGAN DAYA MOTOR PENGGERAK UTAMA KAPAL

1. DATA-DATA UTAMA KAPAL

- a. LWL : 22,5 m
- b. Lpp : 21,5 m
- c. Bmld : 6,5 m
- d. T : 2,25 m
- e. H : 2,9 m
- f. Vs : 10,5 knot
- g. Cb / δ : 0,517
- h. Cm / β : 0,862
- i. Type kapal : TUG BOAT
- j. Fungsi kapal : kapal Tunda

2. PERHITUNGAN PENENTUAN PARAMETER PEMBANTU BAHASAN

2.1. Letak Titik Tekan Keatas Terhadap Midship Section (LCB).

Perhitungan letak LCB didasarkan menurut SV.AA. HARVALD dalam "Resistance & Propulsion of Ship" yaitu bahwa midship section terletak pada 48,5% x Lwl yang diukur dari Fore Peak (FP)

$$\begin{aligned} \text{a. Midship section} &= 48,5\% \times 22,5 \text{ m} \\ &= 10,9125 \text{ m} \end{aligned}$$

$$\begin{aligned} \text{b. L displacement} &= 1/2 \times (\text{Lwl} + \text{Lpp}) \\ &= 1/2 \times (22,5 + 21,5) \\ &= 22,00 \text{ m} \end{aligned}$$

$$\begin{aligned} \text{c. LCB kapal} &= 1/2 \times \text{L disp} \\ &= 1/2 \times 22,0 \\ &= 11,00 \text{ m dari FP} \end{aligned}$$

Sehingga didapat harga LCB terhadap midship section

sebesar :

$$\text{LCB} = 11,00 - 10,9125$$

= 0,0875 m di belakang midship section

$$\text{LCB} = \frac{0,0875}{21,5} \times 100\%$$

1,88125 % Lpp di belakang midship section

2.2. Koefisien Prismatik Memanjang

Besarnya dihitung menurut rumus persamaan berikut ini :

$$\begin{aligned} \varphi &= \delta/\beta = C_b/C_m = 0,517 / 0,862 \\ &= 0,5998 \end{aligned}$$

2.3. Breath - drought ratio

$$\begin{aligned} B/T &= 6,50 / 2,25 \\ &= 2,8889 \end{aligned}$$

2.4. Volume Displacement

$$\begin{aligned} \nabla &= Lwl \times Bmld \times T \times \delta \\ &= 22,50 \times 6,50 \times 2,25 \times 0,517 \\ &= 170,1253 \text{ m}^3 \end{aligned}$$

2.5. Displacemen Kapal

$$\begin{aligned} D &= \nabla \times bd_{\text{air}} \times C \\ &= 170,125 \times 1,025 \times 1,003 \\ &= 174,902 \text{ tons} \end{aligned}$$

2.6. Luas Permukaan Basah

Besarnya dihitung berdasarkan Mumfords Formula, adalah sebagai berikut :

$$\begin{aligned} S &= 1,025 \times Lpp (Cb \times B + 1,7 T) \\ &= 1,025 \times 21,5 (0,517 \times 6,5 + 1,7 \times 2,25) \\ &= 158,35 \text{ m}^2 \end{aligned}$$

$$\begin{aligned} S &= LWL. (2 . T + 1,37(Cb - 0,274) Bmld) \\ &= 149,94 \text{ m}^2 \end{aligned}$$

2.7. Length Volume Displacement Ratio

$$\begin{aligned} \frac{L}{\nabla^{1/3}} &= \frac{22,50}{170,125^{1/3}} \\ &= 4,0606 \end{aligned}$$

1.2.8. Froude Number

$$Fn = \frac{V}{\sqrt{gL}} = \frac{5,4012}{\sqrt{9,81 \times 22,50}} = 0,3636$$

1.2.9. Speed - Length Ratio

$$\frac{V}{\sqrt{L}} = \frac{10,5}{\sqrt{73,818}} = 1,2221$$

3. PERHITUNGAN TAHANAN SISA (CR)

3.1. Perhitungan Tahalan Sisa (CR) standar

Besarnya dihitung menurut SV.AA.HARVALD dalam buku "*Resistance of Propulsion Ship*", yaitu menurut grafik 1 dan 2 dalam lampiran. (hal 119)

a. Untuk $L/V^{1/3} = 4,0$ dan $\frac{V}{\sqrt{L}} = 1,222$ dan $\varphi = 0,55$
didapat harga $10^3 CR = 6,2$

Untuk $L/V^{1/3} = 4,0$ dan $\frac{V}{\sqrt{L}} = 1,222$ dan $\varphi = 0,60$
didapat harga $10^3 CR = 6,2$

Untuk memperoleh harga $10^3 CR$ dalam kondisi $L/V^{1/3} = 4,0$, $\frac{V}{\sqrt{L}} = 1,222$ dan $\varphi = 0,5998$

maka harus digunakan metode interpolasi yaitu :

$$10^3 \text{ CR} = 6,2 + \left[\frac{0,5998 - 0,55}{0,60 - 0,55} \right] [6,2 - 6,2]$$

$$= 6,2$$

b. Untuk $L/V^{1/3} = 4,5$ dan $\frac{V}{\sqrt{L}} = 1,222$ dan $\varphi = 0,55$

didapat harga $10^3 \text{ CR} = 5,8$

$$\text{Untuk } L/V^{1/3} = 4,5 \text{ dan } \frac{V}{\sqrt{L}} = 1,222 \text{ dan } \varphi = 0,60$$

didapat harga $10^3 \text{ CR} = 5,8$

Untuk memperoleh harga 10^3 CR pada kondisi $L/V^{1/3}$

$$= 4,5, \frac{V}{\sqrt{L}} = 1,222 \text{ dan } \varphi = 0,5998 \text{ maka harus}$$

digunakan metode interpolasi yaitu :

$$10^3 \text{ CR} = 5,8 + \left[\frac{0,5998 - 0,55}{0,60 - 0,55} \right] [5,8 - 5,8]$$

$$= 5,8$$

c. Dari hasil-hasil yang didapat dari point a dan

b, lalu dihitung besarnya 10^3 CR pada kondisi

$$\frac{V}{\sqrt{L}} = 1,222 \text{ dan } \varphi = 0,5998$$

Dengan interpolasi didapat :

$$10^3 \text{ CR} = 6,20 + \left[\frac{4,061 - 4,0}{4,5 - 4,0} \right] [5,8 - 6,2]$$

$$= 6,1512$$

3.3.2. Harga Koreksi-Koreksi

a. Koreksi terhadap B/T standar

Besarnya dihitung menurut rumus berikut ini

(Rumus SV.AA.HARVALD) :

$$10^3 \text{ CR} = 0,16 (B/T - 2,5)$$

$$= 0,16 (2,88 - 2,5)$$

$$= 0,0624$$

b. Koreksi terhadap LCB standar

Besarnya dihitung menurut SV.AA.HARVALD dengan menggunakan grafik 3 dalam lampiran.(hal 128)

$$10^3 \text{ CR} = \frac{\gamma}{\gamma} \frac{10^3 \text{ CR}}{\text{LCB}} |\Delta \text{LCB}|$$

Untuk :

$$\frac{V}{\sqrt{L}} = 1,222 \text{ dan } \varphi = 0,55 \text{ didapat } \frac{\gamma}{\gamma} \frac{10^3 \text{ CR}}{\text{LCB}} = 0,61$$

$$\frac{V}{\sqrt{L}} = 1,222 \text{ dan } \varphi = 0,60 \text{ didapat } \frac{\gamma}{\gamma} \frac{10^3 \text{ CR}}{\text{LCB}} = 0,63$$

Dengan interpolasi didapat $\frac{\gamma}{\gamma} \frac{10^3 \text{ CR}}{\text{LCB}}$ pada kondisi

$\varphi = 0,5998$ sebesar :

$$\frac{\gamma \cdot 10^3 \text{ CR}}{\gamma \text{ LCB}} = 0,61 + \left[\frac{0,5998 - 0,55}{0,60 - 0,55} \right] [0,63 - 0,61]$$

$$= 0,6299$$

Jadi koreksi LCB adalah sebesar :

$$10^3 \text{ CR} = 0,6299 \times 0,0875$$

$$= 0,05512$$

c. Koreksi terhadap hull form

Karena direncanakan fore body dan after body mempunyai bentuk V dan bentuk V, maka tidak ada koreksi.

d. Koreksi terhadap bentuk bow

Besarnya adalah dihitung menurut SV.AA. HARVALD yaitu dengan melihat tabel 1 dalam lampiran. (hal 129).

Untuk $F_n = 0,36$, $\varphi = 0,5$ didapat $10^3 \text{ CR} = -0,4$

$F_n = 0,36$, $\varphi = 0,6$ didapat $10^3 \text{ CR} = ..$

maka untuk $\varphi = 0,5998$:

$$10^3 \text{ CR} = -0,4 + \left[\frac{0,5998 - 0,55}{0,60 - 0,55} \right] [.. - 0,4]$$

$$= -0,40.$$

Untuk $F_n = 0,39$, $\varphi = 0,5$ didapat $10^3 \text{ CR} = -0,4$

$F_n = 0,39$, $\varphi = 0,60$ didapat $10^3 \text{ CR} = ..$

maka untuk $\varphi = 0,732$:

$$10^3 CR = -0,4 + \left[\frac{0,5998 - 0,55}{0,60 - 0,55} \right] [-0,4 - .] \\ = -0,4.$$

Untuk $F_n = 0,3636$ didapat :

$$10^3 CR = -0,40 + \left[\frac{0,3636 - 0,36}{0,39 - 0,36} \right] [0,4 - 0,4] \\ = -0,40$$

e. Koreksi terhadap Appendages

- Rudder = no correction
 - Bige keel = no correction
 - Shaft brackets and shaft = no correction
- untuk fine ship ditambahkan $(5 - 8)\% \times 10^3 CR$
- Bossing = $(3 - 5)\% \times 10^3 CR$ standar

$$10^3 CR = 3\% \times 6,1512 \\ = 0,1845$$

3.3. Jumlah Total Tahanan Sisa (CR)

$$10^3 CR = 6,1512 + 0,0624 + 0,6299 + 0,05512 \\ - 0,40 + 0,1845 \\ = 6,68312$$

3.4. INCREMENTAL RESISTANCE (CA)



Besarnya dihitung menurut SV.AA.HARVALD dalam

"Resistance of Propulsion Ship" yaitu :

$$\text{untuk 1000 ton} \quad , Ca = 0,6 * 10^{-3}$$

$$\text{untuk 10000 ton} \quad , Ca = 0,4 * 10^{-3}$$

$$\text{sehingga bila beda } Ca = 0,2 * 10^{-3}, \text{ beda Disp} = 9000 \text{ ton}$$

dengan ekstrapolasi didapatkan :

$$x = 0,2 * 10^{-3} (1000 - 174,90) / 9000 = 1,834 * 10^{-5}$$

$$\text{maka diperoleh } Ca = 0,6 * 10^{-3} + (1,834 * 10^{-5})$$

$$Ca = 0,61834 * 10^{-3}$$

5. AIR RESISTANCE AND STEERING RESISTANCE

Besarnya dihitung menurut SV.AA.HARVALD dalam

"Resistance of Propulsion Ship" yaitu :

$$\text{Untuk air resistance } 10^3 CAA = 0,07$$

$$\text{Untuk steering resistance } 10^3 CAS = 0,04$$

6. TAHANAN GESEK

Perhitungan didasarkan pada hal 127 yaitu tergantung pada panjang dan kecepatan kapal.

Dengan metode interpolasi didapat :

$$\text{Untuk } L = 20 \text{ m } Vs = 5,00 \text{ m/s didapat } 10^3 CF = 2,15$$

$$L = 20 \text{ m} \quad V_s = 6,0 \text{ m/s} \quad \text{didapat } 10^3 CF = 2,09$$

maka untuk $L = 20 \text{ m}$, $V_s = 5,40 \text{ m/s}$ didapat :

$$10^3 CF = 2,15 + \left[\frac{5,40 - 5,00}{6,0 - 5,00} \right] [2,09 - 2,15]$$

$$= 2,126$$

$$\text{Untuk } L = 40 \text{ m}, \quad V_s = 5,00 \text{ m/s} \quad \text{didapat } 10^3 CF = 1,586$$

$$L = 40 \text{ m}, \quad V_s = 6,0 \text{ m/s} \quad \text{didapat } 10^3 CF = 1,578$$

maka untuk $L = 100 \text{ m}$, $V_s = 7,20 \text{ m/s}$ didapat :

$$10^3 CF = 1,586 + \left[\frac{5,40 - 5,00}{6,0 - 5,00} \right] [1,578 - 1,586]$$

$$= 1,5828$$

Jadi untuk $L = 22,50 \text{ m}$

$$10^3 CF = 2,126 + \left[\frac{22,50 - 20}{40 - 20} \right] [1,5828 - 2,126]$$

$$= 2,0581$$

Koreksi terhadap CF :

$$CF' = CF - \frac{S_1}{S}$$

dimana : $S_1 = 1,05 S$

maka didapat :

$$CF' = (2,0581 \times 1,05) 10^{-3}$$

$$= 2,161 \times 10^{-3}$$

3.7. TOTAL TAHANAN YANG BEKERJA PADA KAPAL

Besarnya dihitung menurut perhitungan seperti dibawah ini :

$$\begin{aligned}
 CT &= CR + CF + CA + CAA + CAS \\
 &= (6,68 + 2,16 + 0,618 + 0,07 \\
 &\quad + 0,04) 10^{-9} \\
 &= 9,572 * 10^{-9} \\
 10^3 CT &= 9,572
 \end{aligned}$$

5.8. PERHITUNGAN DAYA EFEKTIF PADA KEADAAN PERCOBAAN DAN KEADAAN SEBENARNYA

-Kondisi Percobaan

$$\begin{aligned}
 PE &= RT \times V \\
 \text{dimana} \\
 RT &= CT \times 1/2 \rho V^2 S \\
 &= 0,009572 \times 0,5 \times 1,025 \times 5,40^2 \times 149,94 \\
 &= 21,44 \text{ N}
 \end{aligned}$$

Tahanan kapal yang akan ditarik : 50 N

Kecepatan kapal waktu menarik kapal : 6 knot

$$\begin{aligned}
 &= 3,084 \text{ m/s} \\
 \text{jadi Daya PE} &= (21,44 + 50) \times 3,084 \\
 &= 220,32 \text{ Kwatt}
 \end{aligned}$$

$$= 295,34 \text{ HP}$$

9. PERHITUNGAN EFFISIENSI PROPELLER

$$Q = 578,93 \text{ kgm}$$

sehingga harga K_q :

$$K_q = \frac{578,93}{104,5 * 6 * 1,5} = 0,0203$$

Untuk harga K_q dengan diameter (1,0 – 1,8) m lain :

– $D = 1,0 \text{ m}$ $K_q = 0,154$

– $D = 1,1 \text{ m}$ $K_q = 0,096$

– $D = 1,2 \text{ m}$ $K_q = 0,062$

– $D = 1,3 \text{ m}$ $K_q = 0,0414$

– $D = 1,4 \text{ m}$ $K_q = 0,0286$

– $D = 1,5 \text{ m}$ $K_q = 0,0203$

– $D = 1,6 \text{ m}$ $K_q = 0,0147$

– $D = 1,7 \text{ m}$ $K_q = 0,0108$

– $D = 1,8 \text{ m}$ $K_q = 0,008144$

Dengan menghitung harga $J : V_a / n D$

maka didapatkan masing-masing harga dengan berbagai diameter yang berbeda dan dengan melihat pada grafik data

pada buku Havard , didapatkan harga effisiensi propeller adalah sebagai berikut :

- D = 1,0 m	J = 0,826	$\eta_p = 0,49$
- D = 1,1 m	J = 0,751	$\eta_p = 0,50$
- D = 1,2 m	J = 0,688	$\eta_p = 0,55$
- D = 1,3 m	J = 0,635	$\eta_p = 0,58$
- D = 1,4 m	J = 0,5898	$\eta_p = 0,59$
- D = 1,5 m	J = 0,550	$\eta_p = 0,62$
- D = 1,6 m	J = 0,516	$\eta_p = 0,595$
- D = 1,7 m	J = 0,486	$\eta_p = 0,5649$
- D = 1,8 m	J = 0,459	$\eta_p = 0,53$

Karena besarnya diameterpropeller adalah 1,5 m , maka besaranya effisiensi propeller adalah $0,62 = 62 \%$.

3.10. PERHITUNGAN BHP MOTOR INDUK

Berdasarkan nilai effektif horse power diatas, kemudian dapat dihitung besarnya harga DHP yaitu dengan rumus :

$$DHP = EHP/PC$$

dimana :

PC = Propulsion Coeffisient

$$= \eta_h \times \eta_{rr} \times \eta_p$$

η_h = hull coefficient

$$= \frac{(1 - t)}{(1 - w)}$$

t = thrust deduction factor, untuk berbaling-

baling ganda harga t adalah = .W

W = Wake fraction, untuk baling-baling ganda :

$$W = -0,20 + (0,55 \times C_b)$$

$$= -0,20 + (0,55 \times 0,517)$$

$$= 0,0827$$

$$t = 0,0827$$

$$\eta_{Hh} = 1,000$$

η_{rr} = relativ rotatif efficient

= 0,95 - 1,09 untuk twin screw

η_p = effisiensi propeller

$$= 0,62$$

$$PC = 1,000 \times 1,08 \times 0,62$$

$$= 0,6696$$

Sehingga didapat besarnya DHP :

$$DHP = \frac{295,34}{0,6696}$$

$$= 441,06 \text{ HP}$$

Selanjutnya BHP didapat dari rumus persamaan berikut

ini :

$$BHP = DHP (1 + Km + Kc)$$

dimana :

Km = koreksi karena letak kamar mesin, untuk kamar mesin dibelakang sebesar 0,03

Kc = koreksi cuaca, karena kapal berlayar dengan route Asia Timur Jauh maka dikoreksi sebesar 15 %.

Maka didapat BHP sebesar :

$$\begin{aligned} BHP &= 441,06 \times (1 + 0,03 + 0,15) \\ &= 520,15 \text{ HP} \end{aligned}$$

Kondisi BHP diatas adalah dalam keadaan CSR dan untuk menghitung besarnya BHP pada kondisi MCR maka besarnya BHP harus dikoreksi antara 80 - 85% sehingga didapat :

$$\begin{aligned} BHP &= \frac{520,150}{0,85} \\ &= 577,95 \text{ HP} \end{aligned}$$

Sehingga dapat dipilih harga kebutuhan tenaga mesin induk sekitar $2 * 400 \text{ HP}$.

11. PENGUJIAN KAVITASI.

Dari propeller tersebut diatas dilakukan perhitungan

terhadap pengaruh kavitas pada daun propeller, perhitungannya sebagai berikut :

a. Tinggi sarat (T) : 2,25

b. Tinggi poros dari base line (E) : 1,14 m

c. Tinggi gelombang (H) : 0,75% * LPP

$$H = 0,16125 \text{ m}$$

d. Water Load diatas sumbu poros baling-baling :

$$h = (T-E) + H = 1,27125 \text{ m}$$

e. Tekanan hydrostatis didalam air laut :

$$P_o = h (1,025) \cdot 1000 \text{ kg/m}^2$$

$$= 1,30303 \text{ ton/m}^2$$

$$= 1303,03 \text{ kg/m}^2$$

f. Tekanan atmosfir (tekanan pressure) :

$$e = 10100 \text{ kg/m}^2$$

g. Tekanan statis pada sumbu poros propeller :

$$P_o + e = 11403,03 \text{ kg/m}^2$$

h. Speed of advance :

$$V_a = (1 - w) V_s$$

$$= (1 - 0,0827) 5,40 \text{ m/s}$$

$$= 4,9534 \text{ m/s}$$

$$= 9,63 \text{ knot}$$

i. Perhitungan Daya dorong (Thrust) :

$$S = DHP * 75 * \eta_p * 1,025 / Va$$

i. Angka kavitas (σ_0)

$$\sigma_0 = \frac{P_o + e}{0,5 \rho V_a^2} = \frac{11403,03}{0,5 \times 104,54 \times 4,95^2} \\ = 16,030$$

Dari gambar 123 buku Van Lameren didapat batas

$$\text{kavitas adalah } \frac{S/F_P}{P_o - e} = 0,345$$

Maka diapati :

$$S/F_P = 0,345 \times 11403,03 = 3934,046$$

$$F_a = \text{Blade area ratio} \times 0,25 \times \pi \times D^2 \\ = 1,7615 \text{ m}^2$$

$$F_P' = F_a (1,067 - 0,224 H_o/D)$$

$$= 1,7615 (1,067 - 0,224 * 0,6) = 1,643$$

$$S = SHP \times 75 \times \eta_p \times 1,025/Va$$

$$= 288 * 75 * 0,62 * 1,025 / 3,69 = 3722,72$$

sehingga $F_p = 3722,72 / 3934,046 = 0,9463$; dan
propeller tidak mengalami terjadi kavitas.

Untuk harga-harga kavitas dari berbagai jenis mesin
dapat dilihat dalam tabel program Lotus 123

B A B VI
ANALISA PERHITUNGAN GETARAN
PADA SISTEM PROPULSI

6.1. GETARAN LONGITUDINAL

Getaran yang terjadi pada kapal yang searah garis sumbu horinsontal, maka harga dari frekuensi eksitasi propeller adalah :

$$f = (360 / 60 \text{ Rpm}) 3 = 18 \text{ Hz}, N_p = 360 \text{ Rpm}$$

Thrust max propeller pada kecepatan penuh (T_R) = $R / 1-t$

untuk $t = \omega = 0,08435$; R = tahanan total = 71,44 N.

$$\text{maka } T_R = 71,44 / 1 - 0,08435 = 78,021 \text{ N}$$

Diambil harga $B = 0,05$, maka amplitudo darigaya eksitasi pada kecepatan penuh : $F(\omega_{\max}) = B \times T_R = 0,05 \times 78,021 = 3,90105 \text{ N}$

Konstanta pegas poros propeller :

$$K_1 = A \cdot E / L$$

Jika harga E adalah sama untuk semua bagian poros yaitu $: 1,045 \cdot 10^4 \text{ N/mm}^2$, sehingga didapatkan :

untuk $d_1 = 143 \text{ mm}; d_2 = 75 \text{ mm}; L = 1,2 \text{ m}$, maka

$$k_1 = 31637,995 \text{ N/mm}$$

untuk $d_1 = 148 \text{ mm}; d_2 = 74 \text{ mm}; L = 0,9 \text{ m}$

$$k_2 = 49956,65 \text{ N/mm}$$

untuk $d_1 = 150 \text{ mm}; d_2 = 75 \text{ mm}; L = 4,8 \text{ m}$

$$k_3 = 9621,74 \text{ N/mm}$$

Jadi K keseluruhan adalah $166718203,3 \text{ N/m}$.

Sehingga amplitudo getaran pada kondisi resonansinya :

$$X = (F/k)/(2\pi) = 2,34 \cdot 10^{-7} \text{ mm} = 2,34 \cdot 10^{-10} \text{ m}$$

Amplitudo percepatannya : $A = (\text{RPM} \cdot 2\pi \cdot N/60)^2 \cdot X$

$$\begin{aligned} A &= (360 \cdot 2\pi \cdot 3/60) \cdot 2,34 \cdot 10^{-10} / 9,81 \text{ g} \\ &= 3,051 \times 10^{-7} \text{ g.} \end{aligned}$$

dimana : g = gravitasi bumi

Dengan demikian harga ini sangat jauh sekali dengan batas yang diijinkan dari standart ; yaitu : $A = 0,25 \text{ g.}$

Dari tabel ISO untuk frekuensi 18 Hz, batas RMS untuk amplitudo getaran longitudinal adalah $7 \cdot 10^{-3} \text{ in}$, untuk exposure selama 8 jam , jika pergantian juga di Kamar mesin adalah 4 jam, maka batas ini dikalikan dengan faktor 1,68, sehingga : $A = FR \cdot A = 1,68 * 7 \cdot 10^{-3} = 0,001176 \text{ in}$
 $= 2,99 \cdot 10^{-4} \text{ m}$

Dari perhitungan terdahulu, amplitudo adalah $2,34 \times 10^{-10} \text{ m}$. Dengan demikian jauh kurang dari standart yang diperbolehkan .

6.2. GETARAN TORSIONAL PADA SISTEM PROPULSI

Untuk menghitung besarnya harga frekuensi natural sistem dari propulsi, menentukan terlebih dahulu harga-harga (Seperti pada gambar bab terdahulu) ialah :

6.2.1. Momen Inersia

- Momen Inersia Propeller :

$$J_1 = J_w + J_m$$

$$J_m = 28 \times 10^{-8} \times \gamma \times D^5 \times A/Ad \quad (A/Ad + 3)$$

dimana : $\gamma = 6,8 \times 10^{-3} \text{ kg cm}^{-3}$; $A/Ad = 0,4033$; $D = 150 \text{ cm}$

$$H/D = 0,6 ; a = A/Ad \times H/D = 0,24198$$

$$J_m = 198,45$$

$$J_w = 6,7 \times 10^{-10} \times D^5 (a - 0,1)(a + 5)$$

$$= 37,87$$

$$J_1 = 236,32 \text{ kg cm s}^2$$

- Momen Inersia Kopling I,II & III :

Berat kopling untuk $D = 45 \text{ cm}$; $L = 30 \text{ cm}$,

$$\gamma = 7,8 \times 10^{-3} \text{ kg cm}^{-3} ; \quad W_1 = 372,16$$

$$WD = 372,16 \times 0,885^2 = 291,49$$

$$J_2 = 2,55 \times 291,49 = 743,29 \text{ kg cm s}^2$$

Berat kopling untuk $D = 40 \text{ cm}$; $L = 28 \text{ cm}$,

$$W_2 = 274,45$$

$$WD = 274,45 \times 0,885^2 = 214,96$$

$$J_3 = 2,55 \times 214,96 = 548,14 \text{ kg cm s}^2$$

$$J_a = J_1 + J_2 + J_3 = 1527,75 \text{ kg cm s}^2$$

- Momen Inersia Kopling Gear Box dan mesin :

- CATERPILLAR (D379):

Berat Kopling untuk $D_g = 45 \text{ cm}$; $L = 30 \text{ cm}$

$$W_g = 372,16$$

$$WD = 372,16 \times 0,14^2 = 7,29, \text{ jadi}$$

$$J_4 = 2,55 \times 7,29 = 18,6$$

- CATERPILLAR (3412-V12):

Berat Kopling untuk $D_g = 38 \text{ cm}$; $L = 25 \text{ cm}$

$$W_g = 221,15$$

$$WD = 221,15 \times 0,14^2 = 4,33, \text{ jadi}$$

$$J_4 = 2,55 \times 4,33 = 11,04$$

- WARTSILA

Berat Kopling untuk $D_g = 50 \text{ cm}$; $L = 30 \text{ cm}$

$$Wg = 459,46$$

$$WD = 459,46 \times 0,14^2 = 9,01, \text{ jadi}$$

$$J4 = 2,55 \times 9,01 = 22,96$$

- DAIHATSU

Berat Kopling untuk $Dg = 36 \text{ cm} ; L = 25 \text{ cm}$

$$Wg = 198,49$$

$$WD = 198,49 \times 0,14^2 = 3,89, \text{ jadi}$$

$$J4 = 2,55 \times 3,89 = 9,92$$

- Momen Inersia Masing Piston :

-CATERPILLAR (D379) :

untuk $W2 = 44,30 \text{ kg} ; Wpg = 41,92 \text{ kg} ; r = 10,15 \text{ cm}$

$$W1 = 7,25 \text{ kg} ; a = 14,77 \text{ cm} ; b = 29,53 \text{ cm}$$

$$t = 4,8 \text{ cm} ; h = 20,8 \text{ cm} ; c = 6 \text{ cm}$$

$$JP = 1,7534 + 5,289 = 7,0424 \text{ kg cm s}^2$$

-CATERPILLAR (3412-V12) :

untuk $W2 = 25,60 \text{ kg} ; Wpg = 23,36 \text{ kg} ; r = 7,60 \text{ cm}$

$$W1 = 5,89 \text{ kg} ; a = 11,01 \text{ cm} ; b = 22,02 \text{ cm}$$

$$t = 4,0 \text{ cm} ; h = 18,5 \text{ cm} ; c = 5,85 \text{ cm}$$

$$JP = 1,1542 + 1,796 = 2,94 \text{ kg cm s}^2$$

-WARTSILA :

untuk $W2 = 48,8 \text{ kg} ; Wpg = 47,44 \text{ kg} ; r = 12,0 \text{ cm}$

$$W1 = 12,95 \text{ kg} ; a = 15,6 \text{ cm} ; b = 31,2 \text{ cm}$$

$$t = 8,5 \text{ cm} ; h = 25,6 \text{ cm} ; c = 13,5 \text{ cm}$$

$$JP = 11,383 + 8,96 = 20,343 \text{ kg cm s}^2$$

-DAIHATSU :

untuk $W2 = 25,8 \text{ kg} ; Wpg = 21,96 \text{ kg} ; r = 11,5 \text{ cm}$

$$W1 = 5,44 \text{ kg} ; a = 12,5 \text{ cm} ; b = 25,0 \text{ cm}$$

$$t = 5,0 \text{ cm} ; h = 22,5 \text{ cm} ; c = 8 \text{ cm}$$

$$JP = 2,27 + 3,95 = 6,22 \text{ kg.cm.s}^2$$

- Momen Inersia Flywheel :

-CATERPILLAR (D379):

Berat flywheel untuk $D_f = 60 \text{ cm} ; L = 15 \text{ cm}$

$$W_f = 330,81$$

$$WD = 330,81 \times 0,14^2 = 6,484, \text{ jadi}$$

$$J_6 = 2,55 \times 6,484 = 16,53 \text{ kg.cm.s}^2$$

$$\text{Sehingga } J_b = (n)^2 \cdot (J_4 + (JP \times 4) + J_6) = 784,31 \text{ kg.cm.s}^2$$

-CATERPILLAR (3412-V12):

Berat flywheel untuk $D_f = 60 \text{ cm} ; L = 10 \text{ cm}$

$$W_f = 220,54$$

$$WD = 220,54 \times 0,14^2 = 4,323, \text{ jadi}$$

$$J_6 = 2,55 \times 4,323 = 11,23 \text{ kg.cm.s}^2$$

$$\text{Sehingga } J_b = (n)^2 \cdot (J_4 + (JP \times 4) + J_6) = 494,5 \text{ kg.cm.s}^2$$

-WARTSILA :

Berat flywheel untuk $D_f = 80 \text{ cm} ; L = 15 \text{ cm}$

$$W_f = 588,11$$

$$WD = 588,11 \times 0,14^2 = 11,53, \text{ jadi}$$

$$J_6 = 2,55 \times 7,680 = 29,39 \text{ kg.cm.s}^2$$

$$\text{Sehingga } J_b = (n)^2 \cdot (J_4 + (JP \times 4) + J_6) = 849,19 \text{ kg.cm.s}^2$$

-DAIHATSU :

Berat flywheel untuk $D_f = 55 \text{ cm} ; L = 12 \text{ cm}$

$$W_f = 220,54$$

$$WD = 220,54 \times 0,14^2 = 4,323, \text{ jadi}$$

$$J_6 = 2,55 \times 4,323 = 11,20 \text{ kg.cm.s}^2$$

$$\text{Sehingga } J_b = (n)^2 \cdot (J_4 + (JP \times 4) + J_6) = 679,15 \text{ kg.cm.s}^2$$

6.2.2. Kekakuan Pegas Poros

- Kekakuan Pegas antara Kopling dan Propeller :

(sama untuk semua mesin)

$$\text{Momen inersia polar } I_p = \pi (D_1^4 - D_2^4)/32$$

untuk $D_1 \approx 15 \text{ cm}$; $D_2 = 7,5 \text{ cm}$; $I_p = 4659,47 \text{ cm}^4$

Dan Kekakuan Pegas $K = I_p \cdot G / l$

jika $G = 78,4 \times 10^6 \text{ kg/cm}^2$; $l = 504,2 \text{ cm}$

$$\text{maka } K_1 = 7,244 \times 10^8 \text{ kg/cm}^2$$

- Kekakuan Pegas antara Kopling :

untuk $D_1 = 14,8 \text{ cm}$; $D_2 = 7,4 \text{ cm}$; $I_p = 4415,89 \text{ cm}^4$

jika $G = 78,4 \times 10^6 \text{ kg/cm}^2$; $l = 63,4 \text{ cm}$

$$\text{maka } K_2 = 5,46 \times 10^9 \text{ kg/cm}^2$$

- Kekakuan Pegas antara Kopling dan Gear Box :

untuk $D_1 = 14,5 \text{ cm}$; $D_2 = 7,5 \text{ cm}$; $I_p = 4029,19 \text{ cm}^4$

jika $G = 78,4 \times 10^6 \text{ kg/cm}^2$; $l = 103,0 \text{ cm}$

$$\text{maka } K_3 = 3,07 \times 10^9 \text{ kg/cm}^2$$

- Kekakuan antara Gear Box dan Kopling Mesin :

- CATERPILLAR V8 :

Diameter Poros Pejal (D) = 8,0 cm ; $l = 40 \text{ cm}$

$$\text{maka } K_4 = 7,88 \times 10^8 \text{ kg.cm}^{-2}$$

- CATERPILLAR V12:

Diameter Poros Pejal (D) = 8,0 cm ; $l = 25 \text{ cm}$

$$\text{maka } K_4 = 1,26 \times 10^9 \text{ kg.cm}^{-2}$$

- WARTSILA :

Diameter Poros Pejal (D) = 10,6 cm ; $l = 25 \text{ cm}$

$$\text{maka } K_4 = 3,89 \times 10^9 \text{ kg.cm}^{-2}$$

- DAIHATSU :

Diameter Poros Pejal (D) = 8,4 cm ; l = 30 cm

$$\text{maka } k_4 = 1,28 \times 10^9 \text{ kg.cm}^{-2}$$

- Kekakuan antara Kopling Gear Box dan Mesin :

- CATERPILLAR :

Diameter poros pejal D = 8,0 cm ; l = 15 cm

$$k_5 = \pi \cdot (8,0)^4 G / 32 \times 15 = 2,10 \times 10^9$$

$$k_5 = n^2 k_4 = 3,52^2 2,10 \times 10^9$$

$$= 2,60 \times 10^{10} \text{ kg cm}^{-1}$$

- CATERPILLAR (V12) :

Diameter poros pejal D = 8,0 cm ; l = 16,5 cm

$$k_5 = \pi \cdot (8,0)^4 G / 32 \times 16,5 = 1,91 \times 10^9$$

$$k_5 = n^2 k_4 = 3,52^2 1,91 \times 10^9$$

$$= 2,367 \times 10^{10} \text{ kg cm}^{-1}$$

- WARTSILA :

Diameter poros pejal D = 10,4 cm ; l = 10,6 cm

$$k_5 = \pi \cdot (10,4)^4 G / 32 \times 10,6 = 3,83 \times 10^9$$

$$k_5 = n^2 k_4 = 3,52^2 3,83 \times 10^9$$

$$= 2,43 \times 10^{10} \text{ kg cm}^{-1}$$

- DAIHATSU :

Diameter poros pejal D = 8,4 cm ; l = 13,67 cm

$$k_5 = \pi \cdot (8,4)^4 G / 32 \times 13,67 = 2,80 \times 10^9$$

$$k_5 = n^2 k_4 = 3,52^2 2,80 \times 10^9$$

$$= 3,26 \times 10^{10} \text{ kg cm}^{-1}$$

- Kekakuan pada Poros Crank Shaft :

- CATERPILLAR :

untuk $D_2 = 8,2 \text{ cm}$; $d_2 = 8,0 \text{ cm}$; $B = 16 \text{ cm}$; $T = 5,0 \text{ cm}$

$A = 7,2 \text{ cm}$; $D = 8,6 \text{ cm}$; $d = 8,4 \text{ cm}$; $r = 10,15 \text{ cm}$

Diameter Poros Pejal (D) = 8,4 cm ; l = 30 cm

$$\text{maka } k_4 = 1,28 \times 10^9 \text{ kg.cm}^{-2}$$

- Kekakuan antara Kopling Gear Box dan Mesin :

- CATERPILLAR :

Diameter poros pejal D = 8,0 cm ; l = 15 cm

$$k_5 = \pi \cdot (8,0)^4 G / 32 \times 15 = 2,10 \times 10^9$$

$$k_5 = n^2 k_4 = 3,52^2 2,10 \times 10^9$$

$$= 2,60 \times 10^{10} \text{ kg cm}^{-1}$$

- CATERPILLAR (V12) :

Diameter poros pejal D = 8,0 cm ; l = 16,5 cm

$$k_5 = \pi \cdot (8,0)^4 G / 32 \times 16,5 = 1,91 \times 10^9$$

$$k_5 = n^2 k_4 = 3,52^2 1,91 \times 10^9$$

$$= 2,367 \times 10^{10} \text{ kg cm}^{-1}$$

- WARTSILA :

Diameter poros pejal D = 10,4 cm ; l = 10,6 cm

$$k_5 = \pi \cdot (10,4)^4 G / 32 \times 10,6 = 3,83 \times 10^9$$

$$k_5 = n^2 k_4 = 3,52^2 3,83 \times 10^9$$

$$= 2,43 \times 10^{10} \text{ kg cm}^{-1}$$

- DAIHATSU :

Diameter poros pejal D = 8,4 cm ; l = 13,67 cm

$$k_5 = \pi \cdot (8,4)^4 G / 32 \times 13,67 = 2,80 \times 10^9$$

$$k_5 = n^2 k_4 = 3,52^2 2,80 \times 10^9$$

$$= 3,26 \times 10^{10} \text{ kg cm}^{-1}$$

- Kekakuan pada Poros Crank Shaft :

- CATERPILLAR :

untuk $D_2 = 8,2 \text{ cm}$; $d_2 = 8,0 \text{ cm}$; $B = 16 \text{ cm}$; $T = 5,0 \text{ cm}$

$A = 7,2 \text{ cm}$; $D = 8,6 \text{ cm}$; $d = 8,4 \text{ cm}$; $r = 10,15 \text{ cm}$

$$; W = 8,5 \text{ cm} ; D = 8,0 \text{ cm} ; G = 78,4 \times 10^6 \text{ kg/cm}^2$$

$$\text{Jika } K = \frac{\pi}{4} D^4 G / 32 \cdot L_e$$

$$\text{maka } L_e = 229,26 \text{ cm} ; K_6 = 1,375 \times 10^8 \text{ kg cm}^{-1}$$

- CATERPILLAR V12 :

untuk $D_2 = 8,2 \text{ cm}$; $d_2 = 8,0 \text{ cm}$; $B = 13,01 \text{ cm}$; $T = 4,0 \text{ cm}$

$A = 9,3 \text{ cm}$; $D = 8,6 \text{ cm}$; $d = 8,4 \text{ cm}$; $r = 7,6 \text{ cm}$

$$; W = 8,6 \text{ cm} ; D = 8,0 \text{ cm} ; G = 78,4 \times 10^6 \text{ kg/cm}^2$$

$$\text{Jika } K = \frac{\pi}{4} D^4 G / 32 \cdot L_e$$

$$\text{maka } L_e = 203,4 \text{ cm} ; K_6 = 1,55 \times 10^8 \text{ kg cm}^{-1}$$

- WARTSILA :

untuk $D_2 = 10,6 \text{ cm}$; $d_2 = 10,4 \text{ cm}$; $B = 18,46 \text{ cm}$; $T = 8,5 \text{ cm}$

$A = 9,73 \text{ cm}$; $D = 10,7 \text{ cm}$; $d = 10,5 \text{ cm}$; $r = 12 \text{ cm}$

$$; W = 13,5 \text{ cm} ; D = 10,4 \text{ cm} ; G = 78,4 \times 10^6 \text{ kg/cm}^2$$

$$\text{Jika } K = \frac{\pi}{4} D^4 G / 32 \cdot L_e$$

$$\text{maka } L_e = 383,89 \text{ cm} ; K_6 = 2,321 \times 10^8 \text{ kg cm}^{-1}$$

- DAIHATSU :

untuk $D_2 = 8,6 \text{ cm}$; $d_2 = 8,4 \text{ cm}$; $B = 12 \text{ cm}$; $T = 8,5 \text{ cm}$

$A = 6,0 \text{ cm}$; $D = 8,8 \text{ cm}$; $d = 8,6 \text{ cm}$; $r = 11,5 \text{ cm}$

$$; W = 8,0 \text{ cm} ; D = 8,4 \text{ cm} ; G = 78,4 \times 10^6 \text{ kg/cm}^2$$

$$\text{Jika } K = \frac{\pi}{4} D^4 G / 32 \cdot L_e$$

$$\text{maka } L_e = 219,23 \text{ cm} ; K_6 = 1,75 \times 10^8 \text{ kg cm}^{-1}$$

6.2.3. Harga Frekuensi Natural Sistem Propulsi :

$$1/K_{eq} = 1/K_1 + 1/K_2 + 1/K_3 + 1/(n^2 \times K_4) +$$

$$+ 1/(n^2 \times K_5) + ((1/n^2 \times K_6) \times N)$$

dimana $N = \text{jumlah bantalan tetap}$

$$J_a = J_1 + J_2 + J_3 = 1527,75$$

$$J_b = n^2 [J_4 + J_5 + (J_6 \times N)]$$

Maka frekuensi natural :

$$f_n = \sqrt{\frac{K_{eq}(J_a + J_b)}{J_a \times J_b}}$$

Sehingga harga frekuensi natural masing-masing dapat dilihat pada tabel lotus 123.

6.3. GAYA YANG DITERUSKAN PADA PONDASI MESIN

Besarnya Gaya yang diteruskan pada pondasi mesin tergantung dari jenis mesin yang digunakan, oleh sebab itu besaran gaya dari masing-masing mesin adalah :

- CATERPILLAR :

- Putaran mesin : 1200 RPM = 20 rad/s

- Massa Mesin : 4005 kg

- Diameter Piston : 0,159 m

- Luas Penampang pondasi : $0,050 \text{ m}^2$

- Panjang Pondasi Mesin : 3,6 m

- Gaya Tekanan Gas :

$$F_p = 13,67 \times 10^4 \times 9,91 \times \pi \times (D)^2 / 4 = 26626 \text{ N}$$

- Konstanta Pegas (k) :

$$k = 0,05 \times 2,069 \times 10^{11} / 3,6 = 2,8736 \times 10^9 \text{ N/m}$$

- Penyimpangan statik :

$$y = 4005 \times 9,81 / k = 1,3672 \times 10^{-5} \text{ m}$$

- Frekuensi natural :

$$f_n = 1/2\pi (9,81/y)^{1/2} = 134,82 \text{ Hz}$$

- Amplitudo getaran : x

$$X = (F_p/k) / ((1-wm/f_n)^2 + (2*\zeta*wm/f_n)^2)^{1/2}$$

$$= 9,4056 \times 10^{-6} \text{ m}$$

- Trnsmibilitas Tr =

$$Tr = ((1 + (2 * \kappa * w_m / f_n)^2)^{1/2} / ((1 - (w_m / f_n)^2)^2 + (2 * \kappa * w_m / f_n)^2)^{1/2}$$

$$Tr = 1,0221787$$

- Gaya transmibilitas : $Tr * F_p = 27217,52 \text{ N}$

Data yang lain dapat dilihat pada perhitungan dengan
Lotus diagram

GAYA GETAR

JENIS MESIN	PUTAR MESIN [rad/s]	MASSA (KG)	DIAMET [CM]	LURS PE [M]	PANJANG [CM]	GAYA [N]	MODULUS [N/M]	KONST PG [KN/M]	KONST PG [KN/M]	FREK [Hz]	TRANSMIBI LITAS(%)	AMPLITUDO < M >	GRAYA [CM]
I. CATERPILLAR G-379	20	4005	0,159	0,050	3,60	2,66E+04	2,1E+11	2,9E+09	1,4E-05	134,81	1,0222	9,41E-06	2,72E+04
II. WARTSILA 4R22	15	7500	0,220	0,050	3,60	15,10E+04	2,1E+11	2,9E+09	2,6E-05	98,52	1,0234	1,80E-05	5,22E+04
III. DAIHATSU 6PKTdM-16A	20	3350	0,160	0,050	3,60	2,70E+04	2,1E+11	2,9E+09	1,1E-05	147,40	1,0185	9,50E-06	2,75E+04
IV. CATERPILLAR 3412-V12	20	2415	0,137	0,050	3,60	1,98E+04	2,1E+11	2,9E+09	8,2E-06	173,61	1,0133	6,94E-06	2,00E+04

GETARAN TORSIONAL PADA SISTEM PROPULSI

JENIS MESIN	J1 PROP KG CM 52	J2 KOPL I KG CM 52	J3 KOPL II KG CM 52	$\frac{J_1 + J_2}{2} \times J_4$	$\frac{J_1 + J_2 + J_3}{2} \times J_5$	$\frac{J_1 + J_2 + J_3 + J_4}{2} \times J_6$	J4 PISTON KG CM 52	J5 FLYWHEEL KG CM 52	J6 KG CM 52	JB KG CM 52	JB		
I. CATERPILLAR G-379	236,32		743,29		548,14		230,46		349,03		204,81	1527,75	784,31
II. CATERPILLAR 3412-V12	236,32		743,29		548,14		136,79		218,57		139,14	1527,75	494,50
III. WARTSILA 4R22	236,32		743,29		548,14		145,81		516,74		186,64	1527,75	849,19
IV. DAIHATSU 6PKTdM-16A	236,32		743,29		548,14		115,28		433,71		130,16	1527,75	679,15

K1 PRS PROP KG CM-1	K2 PS KP I KG CM-1	K3 PS KP II KG CM-1	$\frac{K_1 + K_2 + K_3}{2} \times K_4$	$\frac{K_1 + K_2 + K_3 + K_4}{2} \times K_5$	$\frac{K_1 + K_2 + K_3 + K_4 + K_5}{2} \times K_6$	$\frac{1}{K} \times K_{eq}$	EQUIVALEN	K_{eq}	K_{eq}	MARGA EQIVALENT KG CM-1	FREKUENSI NATURAL [RAD/S]	GRAYA [PUT/S]
I. CATERPILLAR G-379	7,2E+08	5,5E+09	3,1E+09	9,76E+09	2,60E+10	1,7E+09	4,38E-09			2,28E+08	663,6802	105,6598
II. CATERPILLAR 3412-V12	7,2E+08	5,5E+09	3,1E+09	1,56E+10	2,37E+10	1,9E+09	5,12E-09			1,95E+08	723,0708	115,0802
III. WARTSILA 4R22	7,2E+08	5,5E+09	3,1E+09	2,47E+10	2,43E+10	1,5E+09	4,68E-09			2,13E+08	625,3695	99,53065
IV. DAIHATSU 6PKTdM-16A	7,2E+08	5,5E+09	3,1E+09	1,49E+10	3,3E+10	2,0E+09	4,94E-09			2,03E+08	656,3397	104,4597

BAB VII

ANALISA PEMILIHAN MESIN PADA KAPAL TUG BOAT "BROMO"

7.1. DASAR PEMILIHAN MESIN

Dengan hasil yang telah didapatkan, maka terlebih dahulu melihat seberapa pertimbangan untuk memilih mesin sebuah kapal , antara lain sebagai berikut :

- Kemampuan mesin dalam memberikan service yang baik yakni, melayani route pelayaran baik untuk jarak dekat maupun yang jauh.
- Dari segi ekonomis , terutama dalam pemakaian kebutuhan Bahan Bakar , sehingga biaya pengoperasian dapat ditekan seminim mungkin.
- Dimensi dan berat instalasi mesin. Dipilih mesin yang mempunyai dimensi yang relatif lebih kecil, hal ini dimaksudkan untuk memudahkan pelaksanaan pembongkaran mesin (*OVER HOUL*), baik untuk Top Over Houl (penurunan mesin seluruhnya) yang sebaiknya dapat dilaksanakan di dalam kamar mesin.
- Mengusahakan mengganti dan memilih mesin yang memiliki B.H.P yang paling rendah tetapi masih

dalam batas perencanaannya. Hal ini disebabkan oleh harga pemeliharaan dan perawatan yang tinggi (umumnya biaya reparasi ditentukan dengan besarnya B.H.P mesin).

Kapal tug boat ini memiliki 2 mesin, yang masing-masing menggerakkan propeller . Adapun segi keuntungannya dari sistem instalasi propeller dan mesin ganda ini adalah antara lain :

- Umur daripada mesin akan lebih lama, hal ini disebabkan karena pada waktu kapal berlayar untuk kondisi seimbang (ballast) salah satu mesin dapat diistirahatkan.
- Pada saat over haul, sistem instalasi berganda akan mudah dalam pelaksanaan operasinya.
- Dari segi ekonomis dalam pemakaian Bahan Bakar yang relatif lebih rendah dibandingkan dengan sistem instalasi satu mesin.
- Akan lebih sesuai dengan kapal yang berbentuk buritan kapal U , atau ruangan kamar mesin yang melebar.

Sedangkan sebaliknya dalam segi kerugiannya adalah :

- Alignment dari sistem instalasi permesinan yang memerlukan perhatian yang lebih baik dan lebih

presisi, misalnya antara servo-shaft, intermediate shaft, gear box-shaft, dan engine-shaft.

- Perencanaan konstruksi pondasinya yang lebih rumit, misalnya pondasi mesin atau gear box khusus.
- Instalasi mesin berganda membutuhkan peralatan yang lebih modern misalnya : gear box khusus, C.P.P , yang akan memberikan dampak ganda yaitu disatu pihak kita dengan mudah melakukan pengontrolan terhadap instalasi tersebut dan dilain pihak akan menemukan kesulitan dalam sistem perawatan jika terjadi trouble (kerusakan /masalah).

7.2. PEMILIHAN JENIS MESIN

Dengan melihat hasil perhitungan yang didapatkan untuk masing-masing mesin adalah :

Harga Frekuensi natural dari mesin sendiri :

- *CATERPILLAR (G379)* : 135 hz
- *WARTSILA (4R22)* : 98,5 hz
- *DAIHATSU (PKTdM-16A)*: 147 hz
- *CATERPILLAR (3412-V12) : 174 hz*

Dan nilai frekuensi natural yang dihasilkan oleh gaya getaran torsional pada sistem propulsi kapal adalah :

- *CATERPILLAR (G379)* : 105,6598 hz
- *WARTSILA (4R22)* : 99,5307 hz
- *DAIHATSU (PKTdM-16A)*: 104,4597 hz
- *CATERPILLAR (3412-V12) : 115,0802 hz*

Sehingga kami akan lebih cenderung memilih jenis type

mesin pada :

Merk : DAIHATSU

Type : PKTdM-16A

Dengan memperhatikan beberapa pertimbangan - pertimbangan yang antara lain sebagai berikut :

- Besarnya BHP mesin yang lebih mendekati hasil perhitungan, sehingga mengurangi biaya perawatan (umumnya biaya refarasi ditentukan oleh besarnya daya BHP). yaitu sebesar 400 HP
- Masih memenuhi persyaratan dari batas kavitasii.
- Harga Frekuensi natural mesin relatif lebih besar, sehingga dapat terhindat dari adanya getaran yang lebih tinggi.
- Gaya yang diteruskan padapondasi mesin relatif lebih kecil, karena berat mesin relatif lebih ringan.
- Cara pemasangan peralatan yang relatif lebih mudah.
- Panjang mesin dengan reduksi gear relatif lebih pendek (2920 mm).
- Harga jual mesin relatif lebih murah , hal ini dapat dilihat jumlah silinder ataupun peralatan yang mendukungnya sehingga biaya pembuatan material lebih murah dan cepat.

B A B VIII

KESIMPULAN DAN PENUTUP

8.1. KESIMPULAN

Dengan selesainya Tugas Akhir ini, ada beberapa hasil yang dapat diperoleh dengan membandingkan harga-harga yang bisa mempengaruhi keberadaan dari sistem yang bermesin ganda yang diantaranya menimbulkan getaran yang dihasilkan dari mesin itu sendiri. Adapun selain itu kami dapat menemukan dan menyimpulkan dari beberapa input , yang diantaranya sebagai berikut :

- Mesin yang bersilinder yang lebih banyak , maka besarnya harga getaran yang dihasilkannya relatif lebih kecil.
Ini dapat dilihat pada harga dari frekuensi natural mesin, dan amplitudo getaran.
- Harga Penyimpangan statik ditentukan oleh massa dari mesin itu sendiri.Jika massa mesin lebih besar , maka penyimpangannya menjadi naik.
- Harga bahan Konstanta pegas dipengaruhi oleh luas penampang benda dan panjang pondasi mesin.
- Frekuensi eksitasi propeller tergantung dari jumlah daun dan putaran propeller.
- Faktor yang mempengaruhi terjadinya kavitasi adalah besaran dari :luasan dari daun propeller, luas dari proyeksi daun propeller, daya dorong (thrust

), speed of advance, tinggi sarat , tinggi gelombang, tinggi poros dari base line, dan lain-lainnya.

- Besarnya harga tahanan kapal ditentukan oleh dimensi dari kapal, kecepatan kapal, bentuk kapal(Cb), dan lain-lainnya.

8.2. PENUTUP

Dengan mengucapkan syukur alhamdulillah, Tugas akhir ini telah selesai, berhubung banyaknya keterbatasan kami pada penyusunan Tugas Akhir ini. Mohon dengan sangat untuk berkenan dapat membantu dalam penyermpurnaan buku ini, sehingga yang Insya Allah akan dapat digunakan sebagai tolak ukur dalam pertimbangan pemilihan jenis mesin yang akan digunakan.

Akhirul kata, kami mengucapkan banyak terima kasih kepada semua pihak yang telah banyak membantu sehingga dapat terselesainya buku ini, dan juga sebelumnya mohon maaf bilamana terdapat adanya kesalahan dan kekurangan kami.

DAFTAR REFERENCE

1. Petrovsky, " MARINE INTERNAL COMBUSTION ENGINE ".
2. Herald Phoe1, " LECTURE OF SHIP DESIGN AND SHIP THEORY "
3. F.T.K. ITS , " MENGGAMBAR RENCANA GARIS ".
4. SV.A.A. Harvald , " RESISTANCE AND PROPULSION OF SHIP, A WILEY. INTERSCIENCE PUBLICATION ". John Wiley & Soons , NEW YORK 1983.
5. Lap. Ir.A.J.W , " DIAGRAM FOR DETERMINING THE RESISTANCE OF SINGLE SCREW SHIP " . Netherlands.
6. Amstrong , " THE DIESEL ENGINE ".
7. J. Thompson , " TEORI GETARAN DAN PENERAPANNYA ".
8. R.Mahardjo.W , " DIKTAT TAHANAN DAN PROPULSI ".

DATA MESIN YANG LAMA :

Type : M.A.N. 66 V 235 / 33 AL
FOUR CYCLE SINGLE ACTING, TRUNK
PISTON
TYPE DIESEL ENGINE WITH EXHAUST
SUPER CHARGER.

No Of Cylinder : 6

Cylinder Bore : 235 mm

Stroke : 230 mm

OUTPUT : CONT FULL ; 300 PS x 360 RPM
NORMAL ; 240 PS x 260 RPM

Length : 2840 mm

Width : 1050 mm

CATERPILLAR

System Marine



MILIK PERPUSTAKAAN
INSTITUT TEKNOLOGI
SEPULUH - HOPELAND

Cat Diesel Engines

V8 ■ V12 ■ V16 . . . 6.25 in x 8 in ■ 159 mm x 203 mm
 Up to 1700 hp ■ 1270 kW*

- Rugged four-cycle design**, medium operating speeds result in outstanding reliability and long service life.
- Job-proven** in thousands of successful installations.
- Designed for installation cost-saving and convenience.**
- Application flexibility** . . . right- or left-hand rotation, power from either end, accessories located on either side, tandem capability.
- No-adjustment fuel system** keeps full rated power and good fuel economy without periodic maintenance.
- Low-cost fuels** usable as well as conventional diesel oils.
- Operating and servicing convenience** . . . can equip for either side accessibility . . . minimum maintenance designed in.
- CAT PLUS dealer services** provide extra value

		D379		D393		D399	
		85°F Water Aftercooled	Jacket Water Aftercooled	85°F Water Aftercooled	Jacket Water Aftercooled	85°F Water Aftercooled	Jacket Water Aftercooled
Intermittent Rating @ 1300 rpm	hp kW	715 533	650 485	850 630	975 725	1125 800	1064 770
Continuous Rating @ 1200 rpm	hp kW	565 421	500 373	650 480	750 550	925 600	839 616
Torque Peak† @ rpm	lb ft N·m	3180 4310 950	2785 3775 950	3500 4200 950	3800 4800 950	4175 5370 950	4375 5715 950
Fuel Consumption at 80% load factor†	gal/hr liter/hr	34 128	31 120	37 125	40 135	48 155	53 165
Altitude† before derating	ft m	2500 762	2500 762	2500 762	2500 762	2000 500	2000 500

† Performance of engine set at 1300 rpm intermittent

*kW - Kilowatts are International System of Units (SI) equivalent of horsepower, here denoting mechanical power.

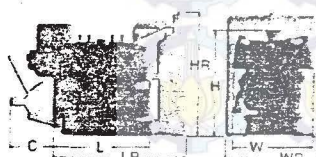
RATING CONDITIONS

Performance and ratings are based on SAEJ816 standard conditions of 29.38 in Hg (99.2 kPa) and 85°F (30°C). Ratings also apply at DIN 6270 standard conditions of 97.8 kPa (28.97 in Hg) and 20°C (68°F).

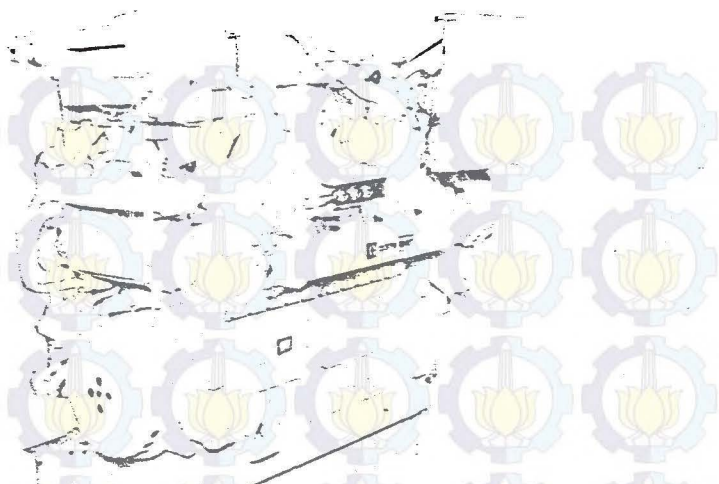
Fuel consumption is based on fuel oil having an HHV of 19,590 Btu/lb (45,570 kJ/kg) and weighing 7.076 lb/U.S. gal (848 q/liter).

D379-V8

1964 cu in
32.2 litres

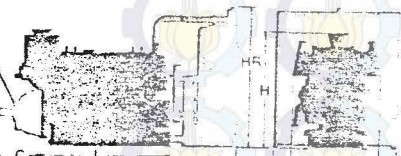


L	66.6"	1690 mm
W	59.3"	1505 mm
H	75.4"	1915 mm
LR	91.5"	2325 mm
WR	62.0"	1575 mm
HR	85.1"	2150 mm
C	29.9"	760 mm
Wt	8,830 lb	4005 kg

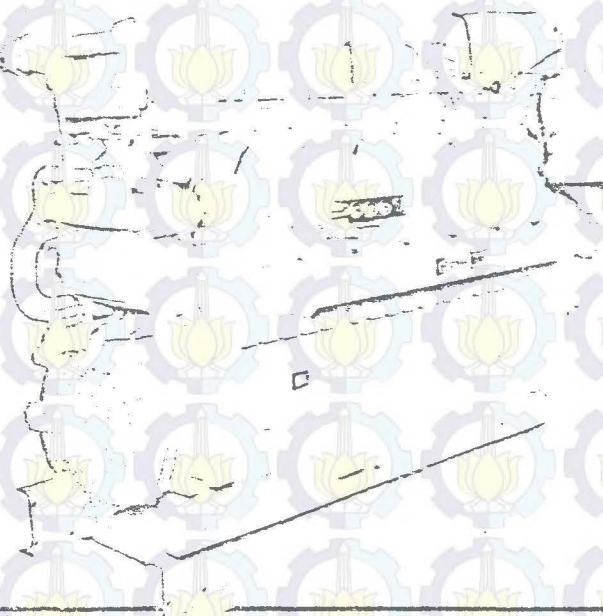


D398-V12

2946 cu in
48.3 litres

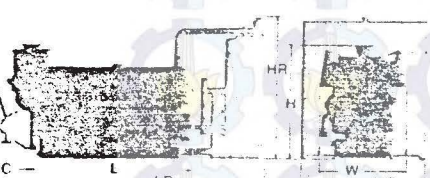


L	88.8"	2255 mm
W	59.3"	1505 mm
H	78.8"	2000 mm
LR	134.0"	3405 mm
WR	73.0"	1855 mm
HR	90.1"	2290 mm
C	29.9"	760 mm
Wt	11,560 lb	5250 kg

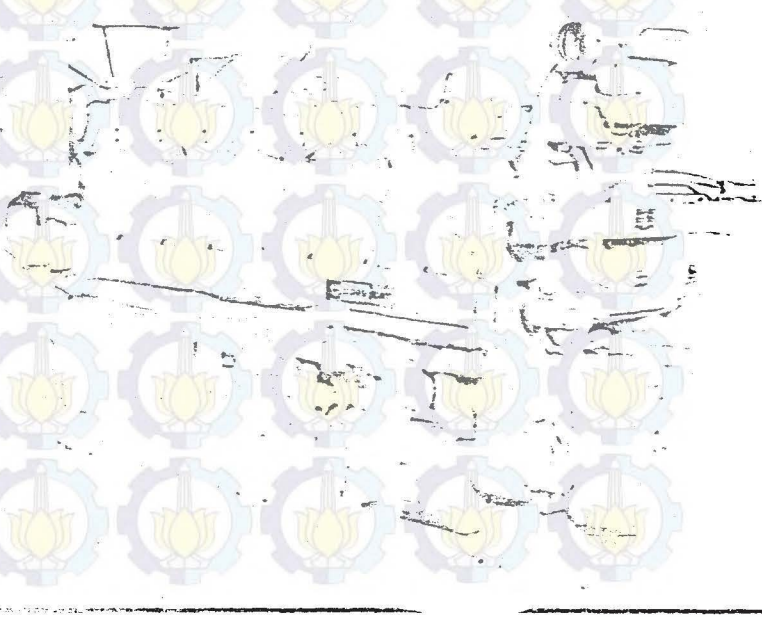


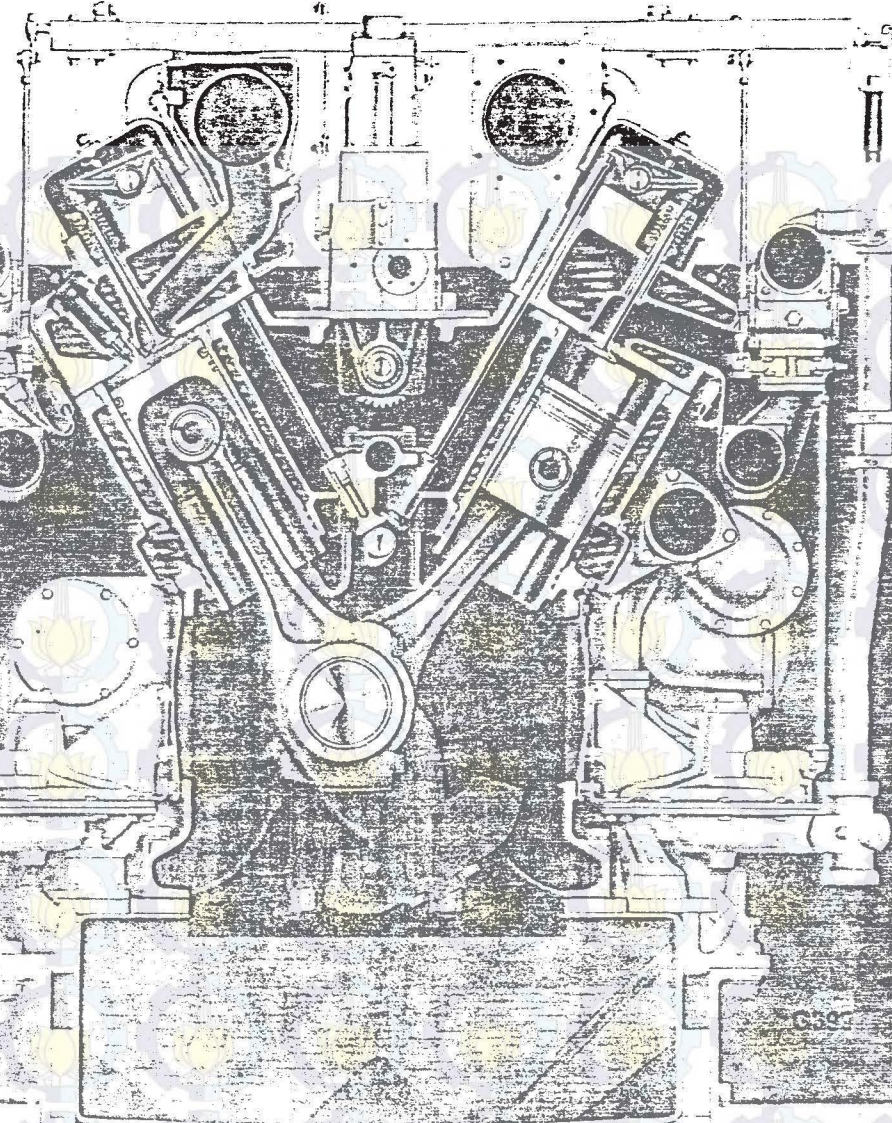
D399-V16

3928 cu in
64.5 litres



L	113.1"	2875 mm
W	59.3"	1505 mm
H	78.8"	2000 mm
LR	156.1"	3965 mm
WR	87.5"	2225 mm
HR	100.5"	2555 mm
C	31.2"	795 mm
Wt	14,335 lb	6500 kg





INDUSTRIAL ENGINES

GENERATOR SETS

Compression Ratio	Aspiration†	Intermittent Rating @ 1300 rpm		Continuous Rating @ 1200 rpm		Prime Power Rating kW	
		hp	kW*	hp	kW*	60 Hertz @ 1200 rpm	50 Hertz @ 1000 rpm
379	7:1	NA	320	240	300	225	
	10:1	NA	355	265	330	245	
	7:1	SCAC-130		415	310	300	255
	10:1	SCAC-90		465	345	325	280
398	7:1	NA	475	355	450	335	315
	10:1	NA	530	395	500	375	350
	7:1	SCAC-130		625	465	450	385
	10:1	SCAC-90		700	520	500	420
399	7:1	NA	640	475	600	450	415
	10:1	NA	710	530	660	490	460
	7:1	SCAC-130		830	620	565	470
	10:1	SCAC-90		930	695	650	565

NOTATION

Naturally Aspirated.

C-130 - Turbocharged and separate circuit aftercooled.
Water temperature to aftercooler 130°F (54°C) or lower.

C-90 - Water temperature to aftercooler 90°F (32°C) or lower.

OPERATING CONDITIONS

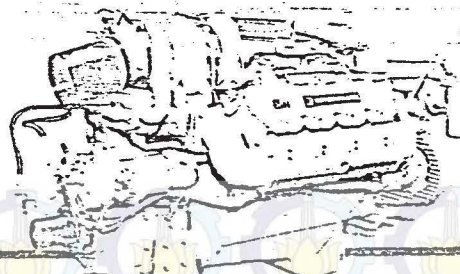
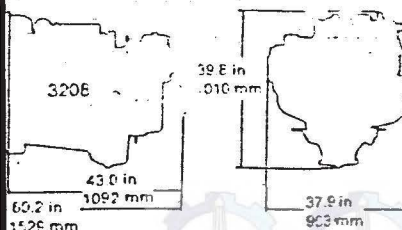
compression ratio turbocharged-aftercooled engines require 90°F (32°C) or lower water temperature to the aftercoolers.

compression ratio turbocharged-aftercooled engines require 130°F (54°C) or lower water temperature to the aftercoolers.

Fuel consumption is based on gas having an LHV of 905 Btu/cu ft (33.74 kJ/liter).

Performance and ratings are based on SAEJ816 standard conditions of 29.38 in Hg (99.2 kPa) and 85°F (29°C). Ratings also apply at DIN 6270 standard conditions of 97.6 kPa (28.97 in Hg) and 20°C (68°F) and API 7B-11C standard conditions of 60°F (16°C) at 29.92 in Hg (101.3 kPa).

Turbocharged engine ratings apply to 6,500 ft (1980 m) and 65°F (18°C). For applications which exceed these limits contact your Caterpillar Dealer. Naturally aspirated engines apply to 500 ft (150 m) and 85°F (29°C). For applications above these limits, derate 3% per 1,000 ft (305 m) and 1% per 10°F (5.6°C).



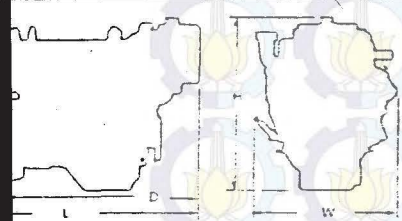
3208

3208 — V8

Lubang Silinder x Langkah	: 4.5×5.0 in	114×127 mm
Volume langkah	: 636 in ³	10.4 liter
Putaran motor (dari belakang)	: berlawanan arah jarum jam	
Berat kosong motor	: 1930 lb	875 kg (TA)
Transmisi	: MG502, MG506, MG506A, MG507, MG507A, MG509	

Daya dan Pemakaian Bahan Bakar

Continuous				Medium Duty				Intermittent				High Performance							
Pu- tar- an (rpm)	U.S. gp jam	Li/ jam	DK bkw	Pu- tar- an (rpm)	U.S. gp jam	Li/ jam	DK bkw	Pu- tar- an (rpm)	U.S. gp jam	Li/ jam	DK bkw	Pu- tar- an (rpm)	U.S. gp jam	Li/ jam					
50	112	2400	7.8	29.7	—	—	—	210	157	2500	11.4	43.2	210	157	2800	11.4	43.0		
15	160	2400	11.4	43.2	255	190	2400	13.3	50.3	290	216	2600	15.4	58.1	260	194	2900	15.2	57.7
—	—	—	—	—	—	—	—	—	—	—	—	—	—	—	320	239	2600	17.5	67.3
25	175	2400	11.8	44.8	275	205	2400	13.9	52.7	315	235	2600	16.4	62.1	375	280	2800	21.1	79.9



L dengan transmisi in mm	D ke batas rumah roda gila in mm	W in mm	H enjin in mm	H motor dengan transmisi in mm
61.7 (1560)	45.6 (1150)	34.7 (871)	41.4 (1051)	41.4 (1051)
63.9 (1510)	57.5 (1450)	36.8 (932)	43.8 (1130)	45.9 (1265)

SERI

3304 B — in line 4

Lubang Silinder x Langkah	: 4.75×6.0 in	121×152 mm
Volume langkah	: 425 in ³	7.0 liter
Putaran motor (dari belakang)	: berlawanan arah jarum jam	
Berat kosong motor	: 1770 lb	776 kg (TA)
Transmisi	: MG506	

Daya dan Pemakaian Bahan Bakar

Continuous				Medium Duty				Intermittent				High Performance							
Pu- tar- an (rpm)	U.S. gp jam	Li/ jam	DK bkw	Pu- tar- an (rpm)	U.S. gp jam	Li/ jam	DK bkw	Pu- tar- an (rpm)	U.S. gp jam	Li/ jam	DK bkw	Pu- tar- an (rpm)	U.S. gp jam	Li/ jam					
5	63	2000	4.8	18.2	—	—	—	100	75	2200	5.9	22.2	—	—	—	—	—		
5	63	2000	6.8	26.1	140	104	2000	7.7	29.2	165	123	2200	8.7	35.6	180	142	2200	11.4	43.1

SERI

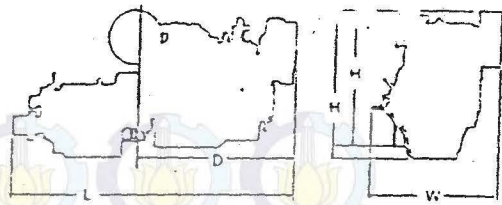
3306 B — in line 6

Lubang Silinder x Langkah	: 4.75×6.0 in	121×152 mm
Volume langkah	: 636 in ³	10.6 liter
Putaran motor (dari belakang)	: berlawanan arah jarum jam	
Berat kosong motor	: 2390 lb	1086 kg (TA)
Transmisi	: MG509	

Daya dan Pemakaian Bahan Bakar

Continuous				Medium Duty				Intermittent				High Performance						
Pu- tar- an (rpm)	U.S. gp jam	Li/ jam	DK bkw	Pu- tar- an (rpm)	U.S. gp jam	Li/ jam	DK bkw	Pu- tar- an (rpm)	U.S. gp jam	Li/ jam	DK bkw	Pu- tar- an (rpm)	U.S. gp jam	Li/ jam				
125	2100	5.9	37.5	210	104	11.4	43.2	250	165	2200	13.3	50.3	230	208	2200	15.0	57.0	
125	2100	11.0	41.7	235	175	2000	11.8	45.2	270	201	2200	14.0	53.1	300	230	2200	16.1	61.1
125	2100	11.8	47.6	260	166	1900	12.4	51.3	290	216	2200	15.1	57.3	325	260	2200	17.8	67.6

3306



	L dengan transmisi in .mm	D ke batas rumah rodé gile in .mm	W in .mm	H motor in .mm	H motor dengan transmisi in .mm
3406 TA 7211	90,1 (2289)	62,6 (1590)	43,0 (1092)	51,8 (1315)	54,7 (1386)
3408 TA 7221	95,5 (2375)	57,4 (1458)	48,5 (1231)	54,7 (1390)	64,6 (1640)
3412 TA 7231	130,3 (3310)	71,7 (1822)	60,3 (1531)	63,8 (1621)	69,8 (1773)

3406B — In-line 6

Lubang Silinder x Langkah : 5,4 x 6,5 in 137 x 165 mm
 Volume langkah : 893 in 3 14,6 liter
 Putaran motor (dari belakang) : berlawanan arah jarum jam
 Berat kosong motor : 3165 lb 1436 kg (TA)
 Transmisi : 7211, MG5140

Daya dan Pemakaian Bahan Bakar

Continuous				Medium Duty				Intermittent				High Performance								
DK	b kW	Pu- tar- an (rpm)	U.S. en gp jam	DK	b kW	Pu- tar- an (rpm)	U.S. en gp jam	DK	b kW	Pu- tar- an (rpm)	U.S. en gp jam	DK	b kW	Pu- tar- an (rpm)	U.S. en gp jam					
TA	230	172	1200	*	255	187	1350	*	—	—	—	—	—	—	—	—				
T	250	166	1600	12,4	271	300	224	1600	14,8	56,0	348	300	2100	17,8	57,4	402	300	2100	20,5	77,5
TA	322	240	1800	16,0	36,6	348	260	1800	17,2	65,0	402	300	2100	20,4	77,2	540	403	2100	*)	*)

3408B — V8

Lubang Silinder x Langkah : 5,4 x 6,0 in 137 x 152 mm
 Volume langkah : 1099 in 3 18,0 liter
 Putaran motor (dari belakang) : berlawanan arah jarum jam
 Berat kosong motor : 3545 lb 1055 kg (TA)
 Transmisi : 7211, 7221

Daya dan Pemakaian Bahan Bakar

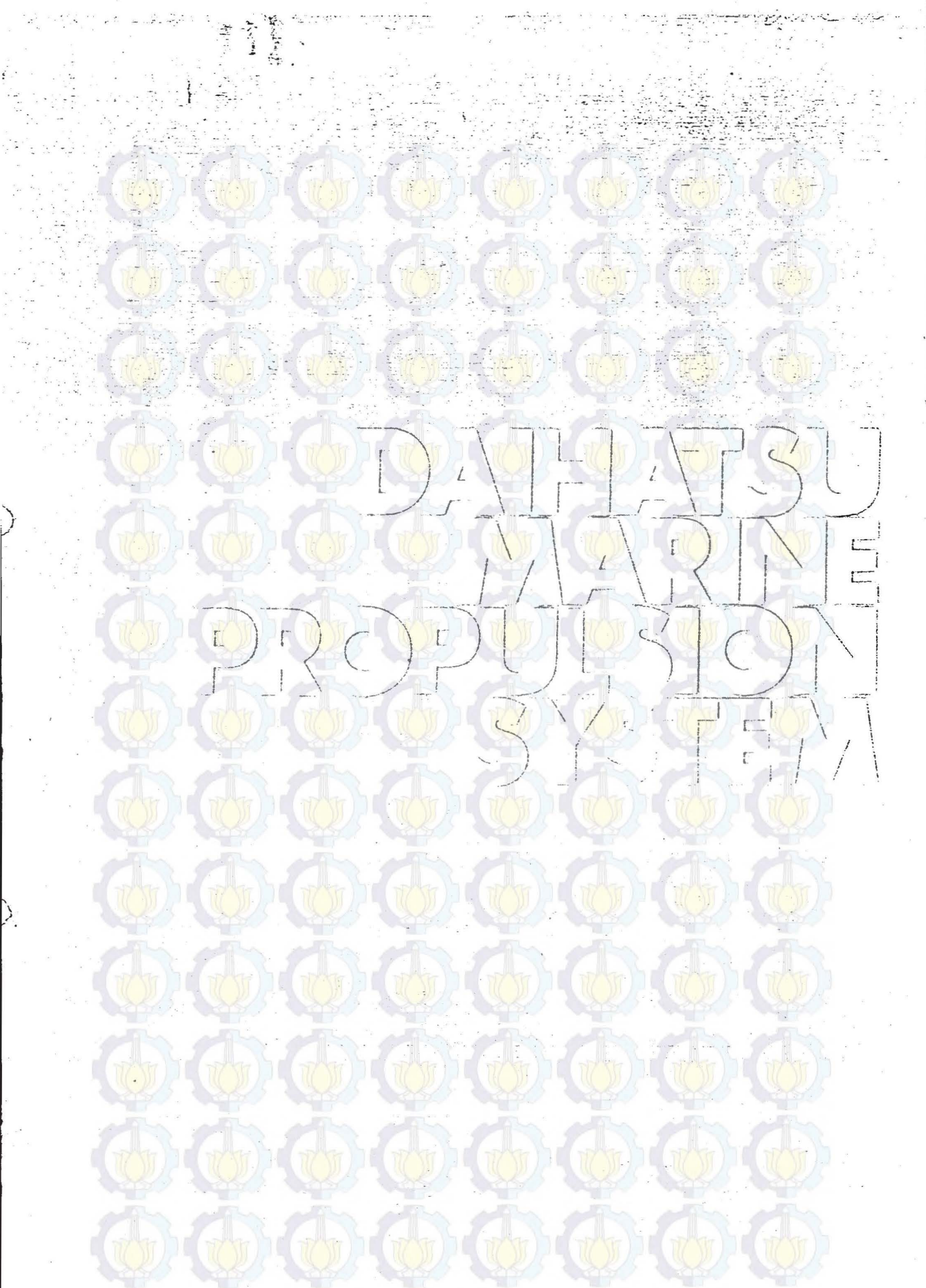
Continuous				Medium Duty				Intermittent				High Performance								
DK	b kW	Pu- tar- an (rpm)	U.S. en gp jam	DK	b kW	Pu- tar- an (rpm)	U.S. en gp jam	DK	b kW	Pu- tar- an (rpm)	U.S. en gp jam	DK	b kW	Pu- tar- an (rpm)	U.S. en gp jam					
TA	318	237	1200	15,6	59,8	394	294	1350	19,4	73,5	—	—	—	—	—	—	—	—	—	—
TA	375	280	1300	*	*	—	—	—	—	—	—	—	—	—	—	—	—	—	—	—
TA	402	300	1800	21,0	73,6	443	330	1800	22,6	83,4	503	375	2100	27,0	102,2	585	495	2100	*)	*)

3412 — V12

Lubang Silinder x Langkah : 5,4 x 6,0 in 137 x 152 mm
 Volume langkah : 1049 in 3 27,0 liter
 Putaran motor (dari belakang) : berlawanan arah jarum jam
 Berat kosong motor : 5325 lb 2215 kg (TA)
 Transmisi : 7221, 7231

Daya dan Pemakaian Bahan Bakar

Continuous				Medium Duty				Intermittent				High Performance								
DK	b kW	Pu- tar- an (rpm)	U.S. en gp jam	DK	b kW	Pu- tar- an (rpm)	U.S. en gp jam	DK	b kW	Pu- tar- an (rpm)	U.S. en gp jam	DK	b kW	Pu- tar- an (rpm)	U.S. en gp jam					
TA	425	317	1200	20,8	78,6	475	354	1200	23,3	88,2	—	—	—	—	—	—	—	—	—	—
T	503	375	1600	16,6	103,4	540	403	1600	29,8	112,7	540	403	1600	29,8	112,7	540	403	1600	29,8	112,7
TA	512	406	1800	21,6	119,6	571	500	1800	33,8	128,3	764	570	2100	40,2	152,0	850	642	2100	*)	*)



DAIHATSU
DIESEL
PROPULSION
SYSTEM

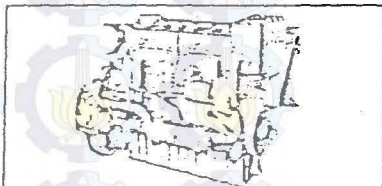
DAIHATSU DIESEL MFG. CO., LTD.

I Series

Single Engine, Single Shaft System

stroke, Pre-combustion & Battery-start available & Radiator-fan attachable

Engine Model	Bore (mm)	Stroke (mm)	Cyl. No.
M2SS	M2	120	150
	M3	140	160
	M5	145	160

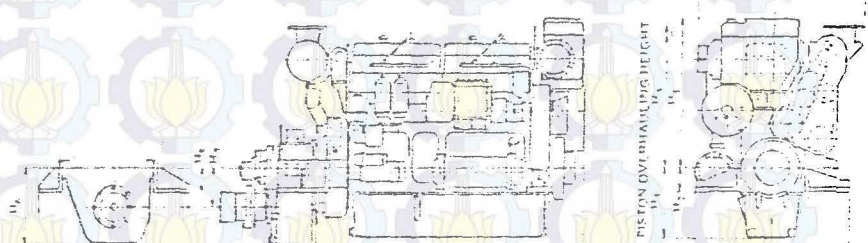


specifications

Engine Model	Output (PS)	Eng. Rev. (rpm)	R/G Model	R/G ratio	Propeller Rev. (rpm)	(E + R/G) Weight
M2SS	240	1850	K-12	2.423	763	
				2.708	683	1.45
				3.045	607	
M3S	300	1600	K-20	2.054	779	
				2.531	632	2.30
				3.036	527	
M5S	430	1800	MGN80-2	2.520	714	
				2.960	608	2.45
				3.520	511	

dimensions

Engine Model	L	B	E ₁	H ₁	H ₂	H ₃	H ₄	H ₅	H ₆	H ₇	H ₈	B ₂
M2SS	1886	837	700	771	130	910	385	130	375	184.3	700	
M3S	2195	1072	840	965	160	1015	450	160	465	229.5	840	
M5S	2176	1087	1000	965	160	1015	450	160	495	254	1000	



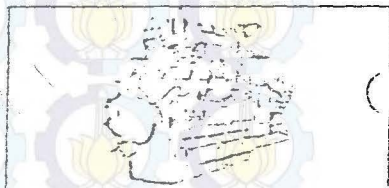
Piston Overhang Length

KM Series

Single Engine, Single Shaft System

stroke, Direct injection type Battery-start available & Radiator-fan attachable

Engine Model	Bore (mm)	Stroke (mm)	Cyl. No.
FKM-16	160	210	6
FKM-16A			

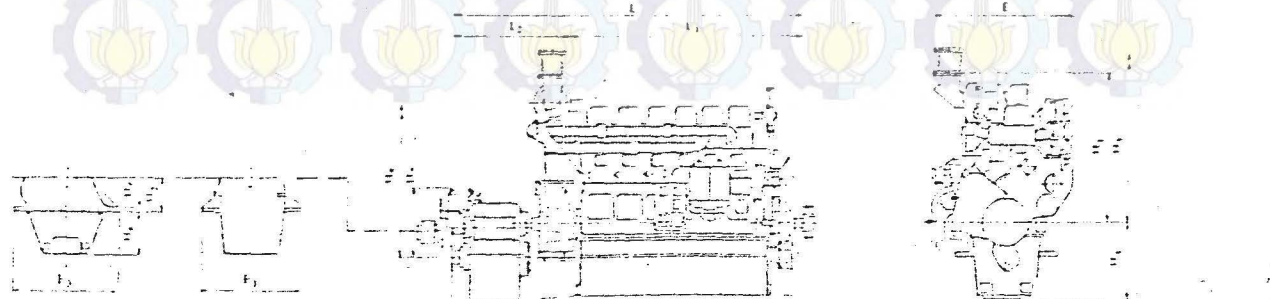


specifications

Engine Model	Output (PS)	Eng. Rev. (rpm)	R/G Model	Gear ratio	Propeller Rev. (rpm)	Net Weight (ton)	Propeller Diameter (mm)
6PKTbM-16	300	1200	DRE-4E	2.880	417	3.20	1350
6PKTbM-16A	400			3.042	394	0.92	1400
				3.409	352	3.35	1450

dimensions

Engine Model	R/G Model	L	L ₁	L ₂	B	B ₁	H ₁	H ₂	STD	Style	H ₃	H ₄	D	H ₅	H ₆	H ₇	H ₈	B ₂	E ₁
6PKTbM-16	DRE-4E	2753	1933	820	1130	900	1248	—	285	1200	667	630	295	615	325	455	950	900	
6PKTbM-16A		2920	2100	820	1240	655	1200	300	—	1260	600	630	295	625	325	750	950	900	



the Reynolds number. The propeller characteristics often are determined by using the methods described in section 6.3.1. The propeller characteristics are given by the equation

$Q = C_p \cdot A \cdot U^2 / (2 \cdot \rho)$

where C_p is the propeller efficiency, A is the disk area, U is the free-stream velocity, and ρ is the density of the fluid.

The propeller characteristics are plotted on a logarithmic scale. The propeller diameter is denoted by D , the free-stream velocity by U , and the propeller efficiency by C_p . The propeller characteristics are given by the equation

$Q = C_p \cdot A \cdot U^2 / (2 \cdot \rho)$

where C_p is the propeller efficiency,

A is the disk area, U is the free-stream velocity, and ρ is the density of the fluid.

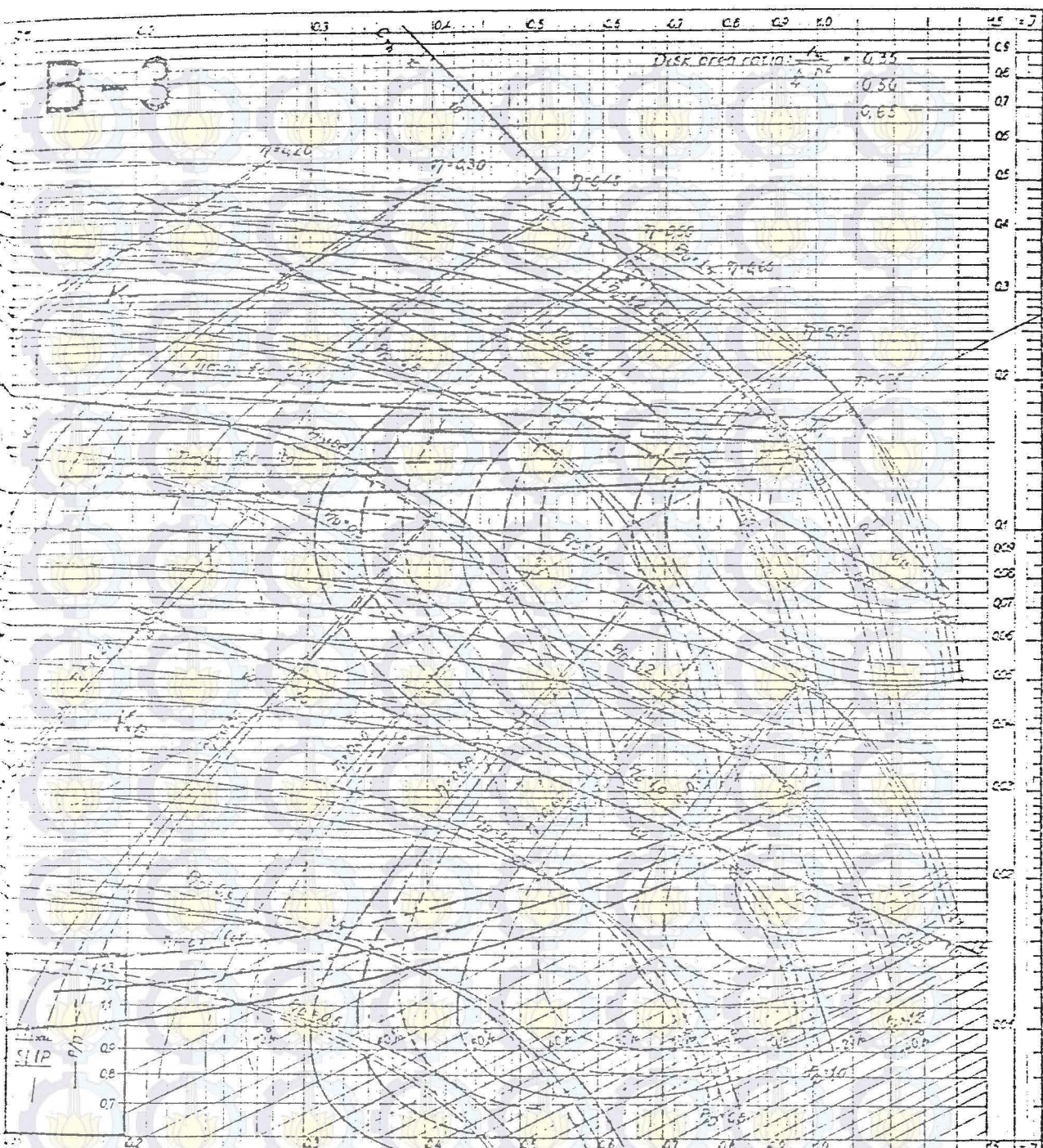


Figure 6.3.13. ISH logarithmic propeller diagram for three-bladed propellers (Wageningen Series B-3).

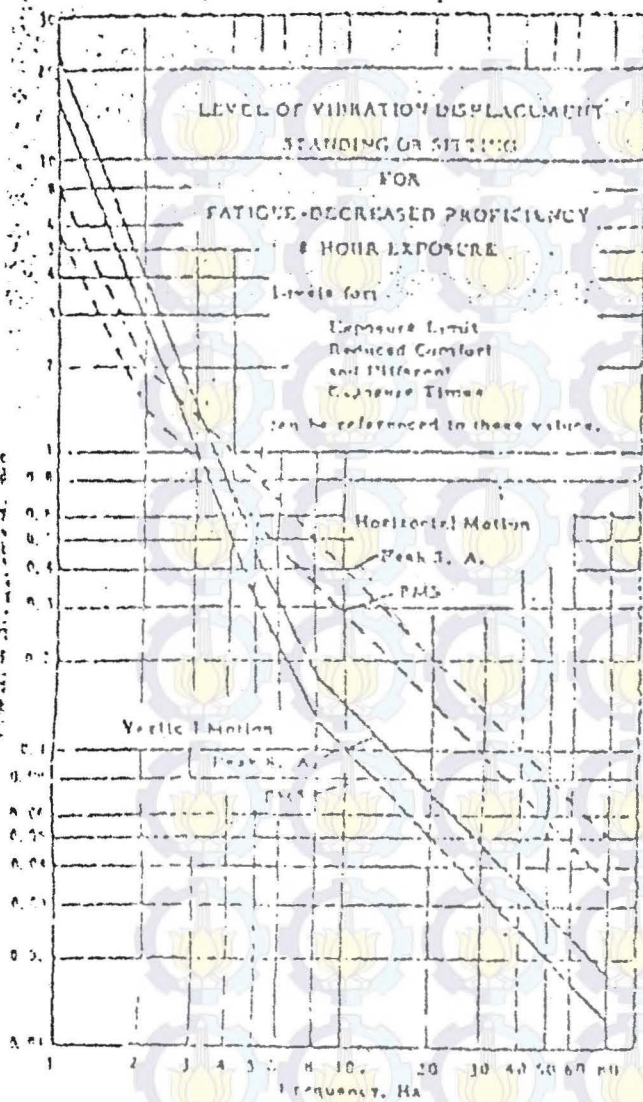


Fig. 9 ISO guide for evaluating human response to whole-body vibration expressed as displacement in men.

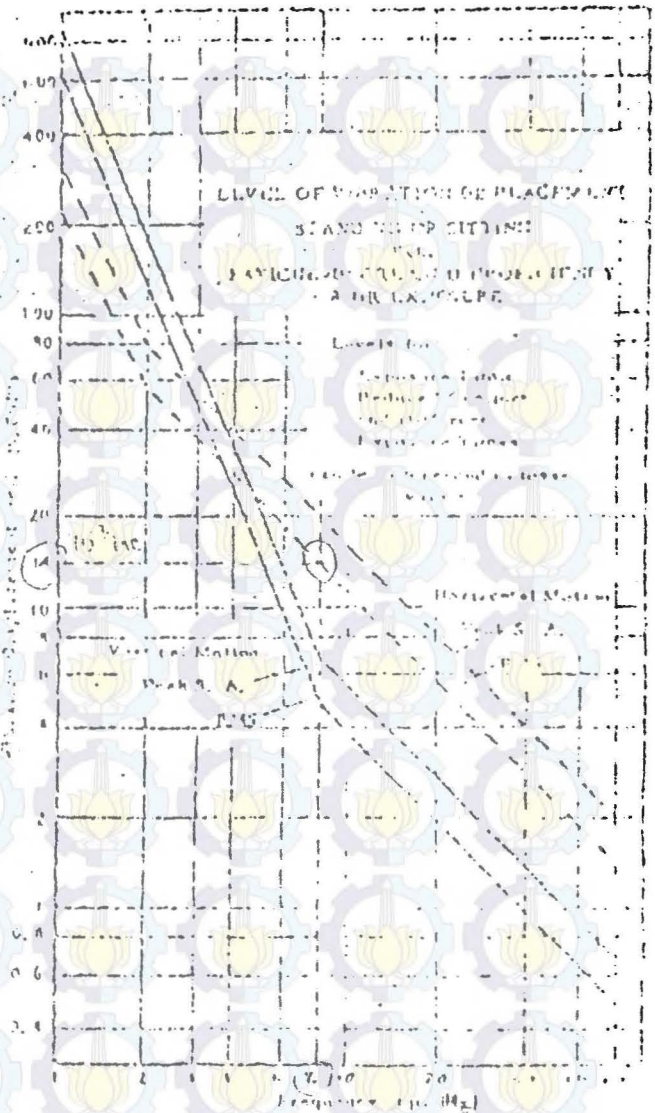


Fig. 10 ISO guide for evaluating human response to whole-body vibration expressed as displacement in women.

TABLE I Acceptance levels referred to 8-Hr fatigued-decreased proficiency

Centrif. Frequency	Level of Severity		
	Fatigue- Decreased Proficiency	Safe Exposure Limit	
2 Hz	0.0203	0.25	0.50
5 Hz	0.310	1	2
10 Hz	0.53	1.60	3.20
20 Hz	0.72	2.25	4.5
30 Hz	1.19	3.75	7.5
40 Hz	1.81	5.7	11.4
50 Hz	2.14	6.75	12.5
60 Hz	2.82	8.00	17.0

cent of that for fatigue-decreased proficiency. This level is 2.7 times the 4-hr reduced-comfort level.

Now will the acceptability of a vibration that is not a pure sine frequency be determined? The ISO recommendations are not definitive in this case. Apparently the acceptance levels from two simultaneous vibrations at widely separated

frequencies are not cumulative. The ISO suggests that in the case of narrow-band vibration concentrated in either the low-frequency band or less, the rms value of the acceleration within the band is to be evaluated with reference to the appropriate limit at the center frequency of this band. For broad and distributed or random vibration, the rms acceleration is to be evaluated separately for all other third octave bands with respect to the appropriate limit for each. However, the same recommendation does consider weighting tests for broad-band vibration, i.e., an integration over the full frequency spectrum. It will be noted that if the vibration is measured as a velocity, there is no weighting required for the measurements above 8 Hz in the vertical vibration and 2 Hz in the horizontal vibration.

Whole vibrations occur in a system in which both vertical directions simultaneously, the ISO recommends that the corresponding limits apply to each component. Since the agreement, for vibrations of the entire frequency, is to be made to the three components of motion, it is suggested that the acceptance level be taken at the sum of the square of the errors of the acceptance levels measured with each component.

Since all machinery is located in one assembly, by the way

FOR EXPLANATION READ TO
ONE SIDE ACROSS THE MARGIN
P. 69 1960

ISO: GUIDE

Wacker
AFTOK

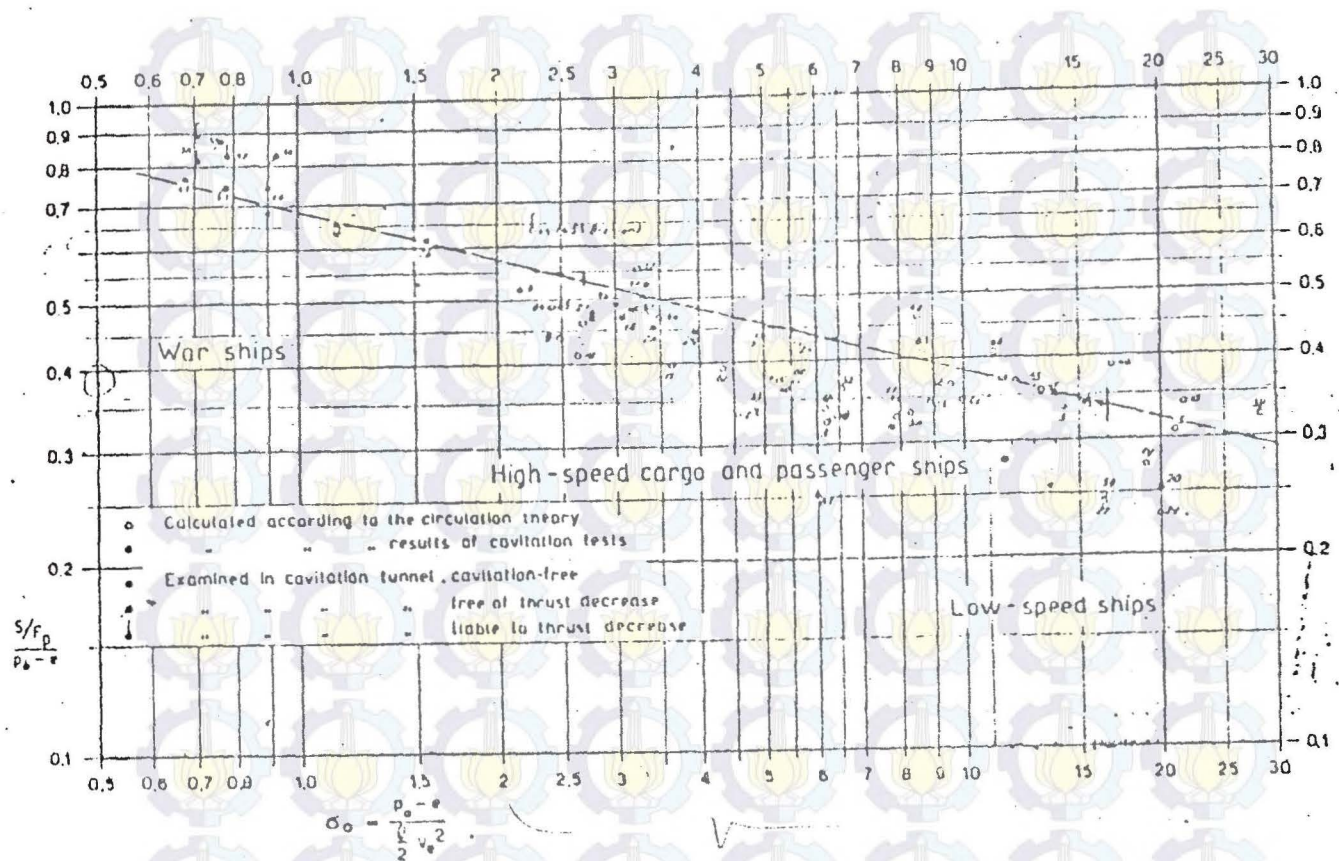
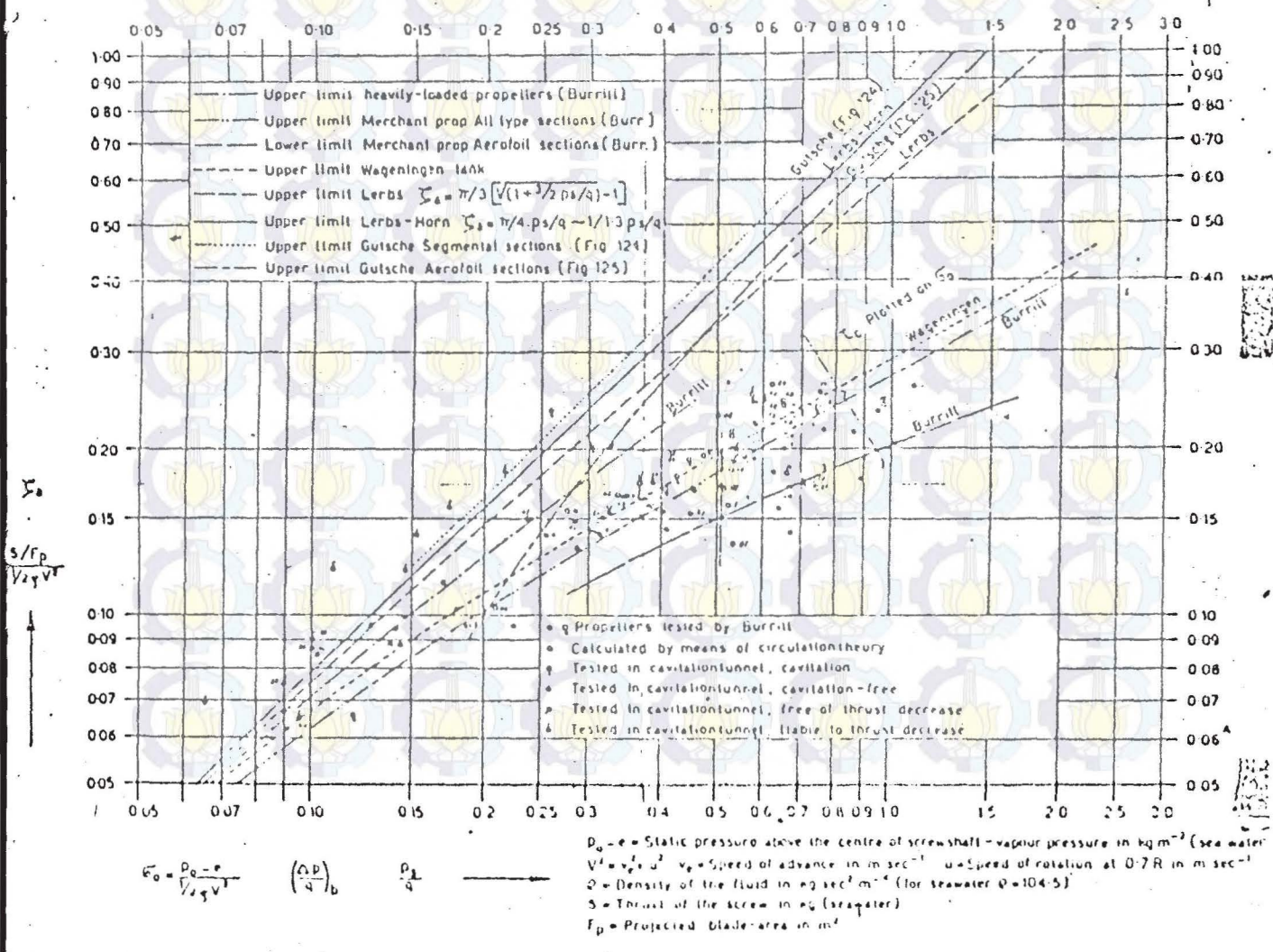


Fig. 123b. Cavitation diagram according to Burriii



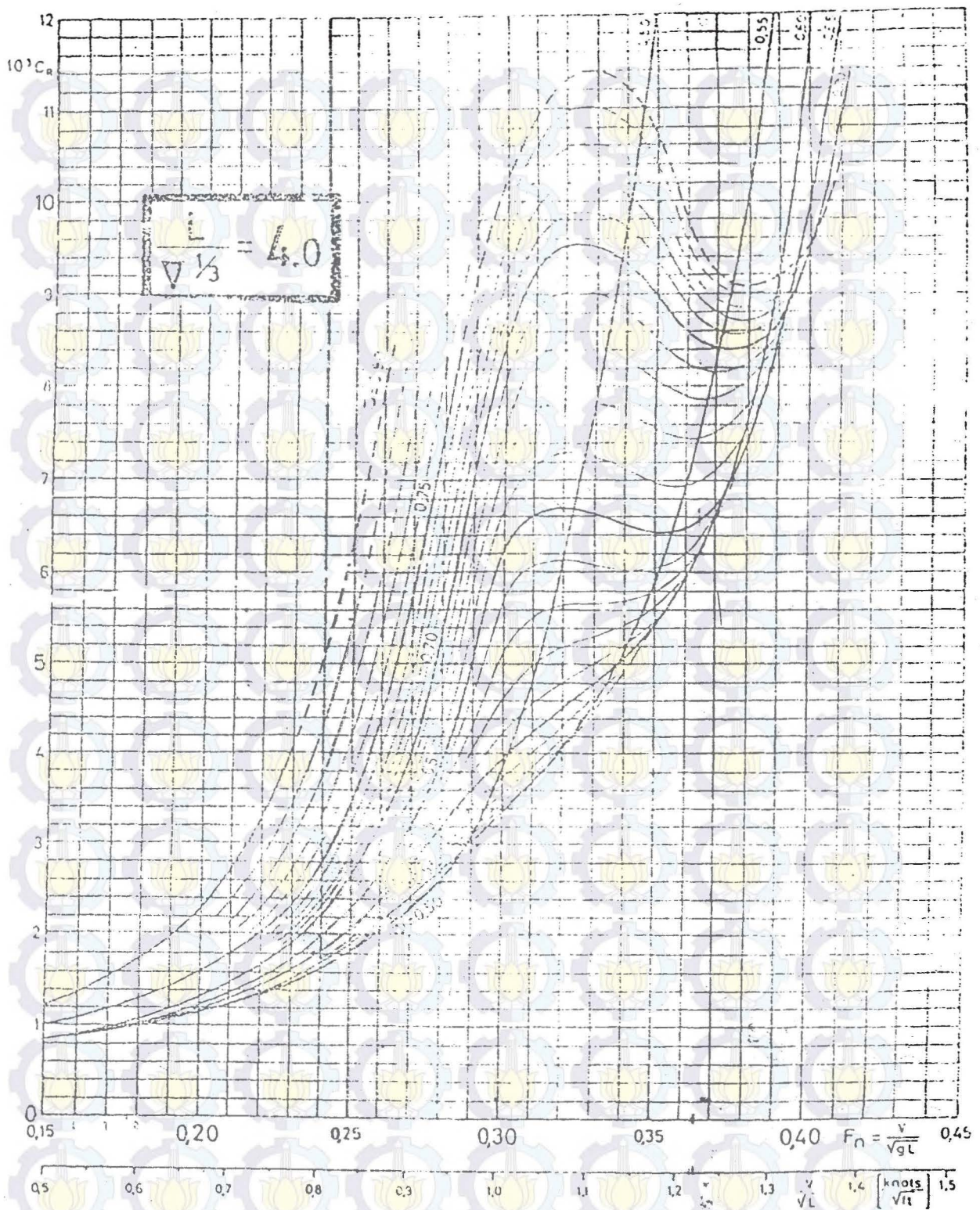


Figure 5.5.5. Residuary resistance coefficient versus speed-length ratio for different values of longitudinal prismatic coefficient. $L/V^{1/3} = 4.0$.

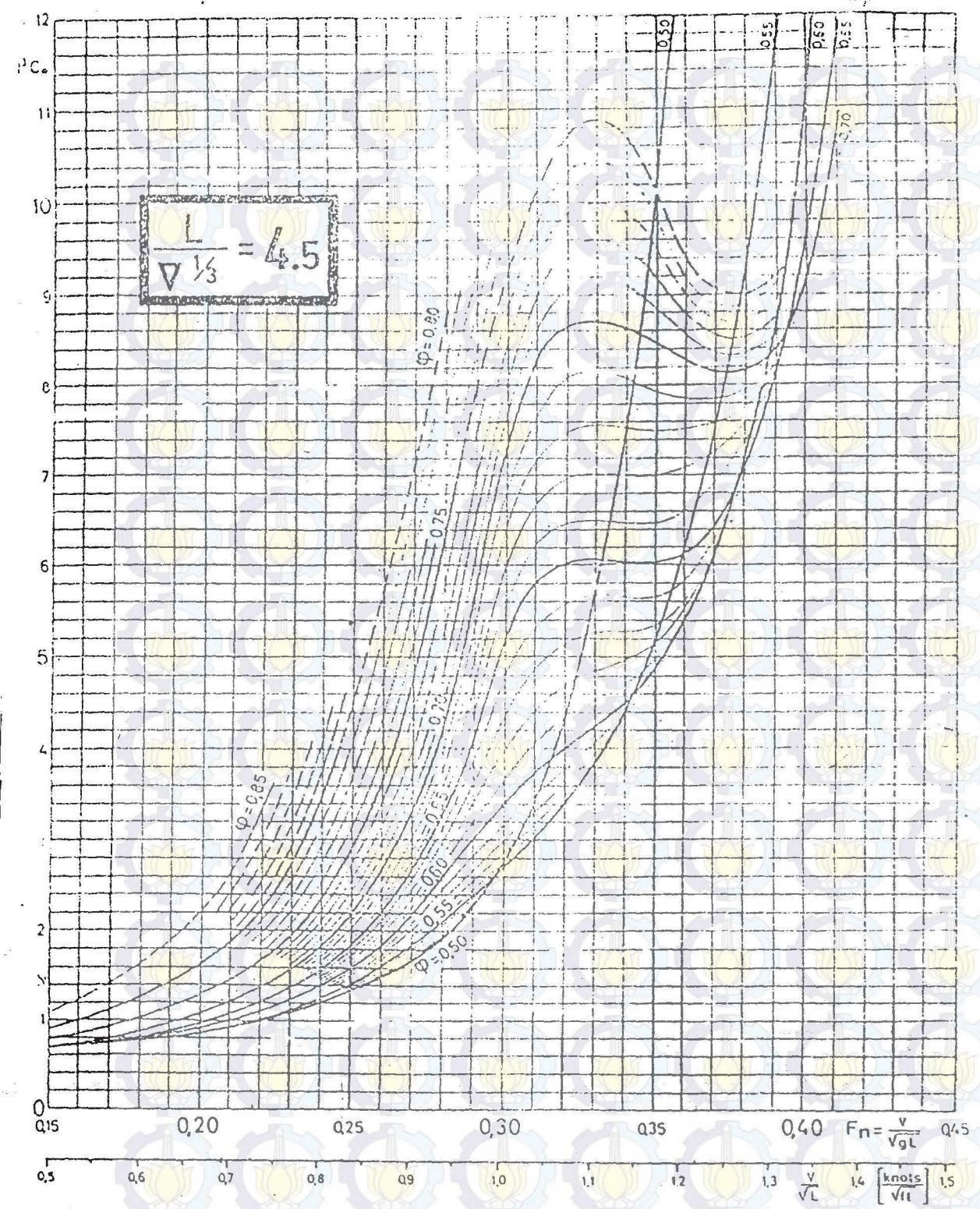


Figure 5.5.6. Residuary resistance coefficient versus speed-length ratio for different values of longitudinal prismatic coefficient.
 $\sqrt[3]{V}^3 = 4.5$.

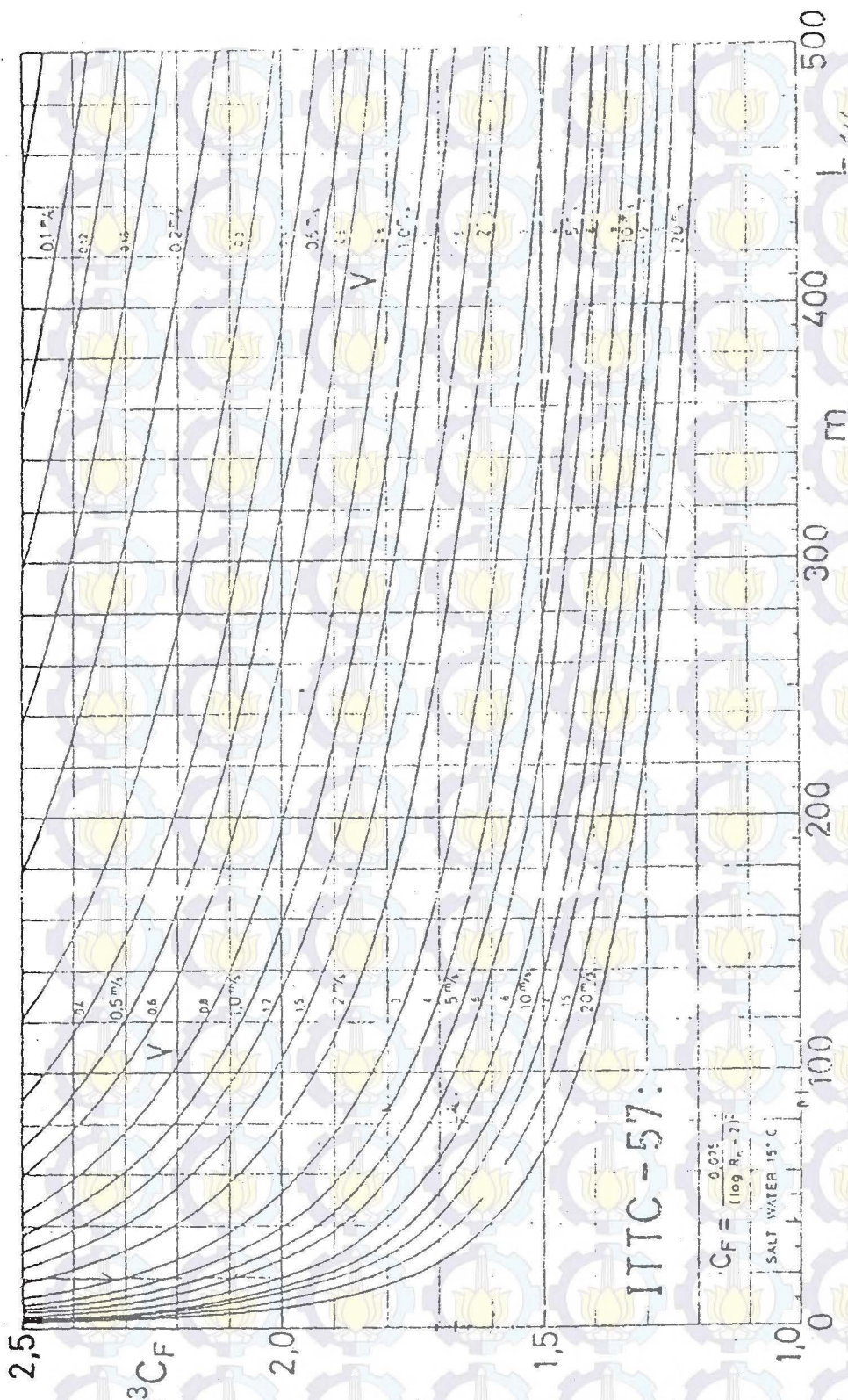


Figure 5.5.14. The friction and resistance coefficient C_F according to ITTC (1957) as a function of ship length L and speed V .

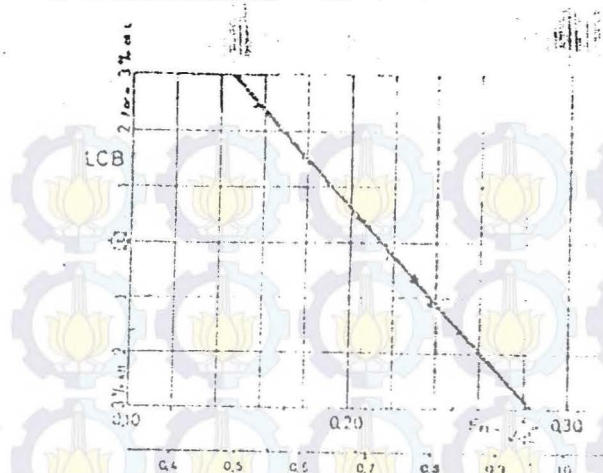


Figure 5.5.15. Standard LCB. The longitudinal position of the center of buoyancy that is considered the best possible.

resistance on LCB is, however, evident at higher speeds. In an attempt to make some order out of the confusion, the available information has been collected and condensed in the Fig. 5.5.15, which must be regarded as the standard LCB of the method.

The standard LCB has in this way been defined as a linear function on the Froude number F_n . As no safe dependency on other parameters have been recorded, the standard LCB is represented in the diagram by a single line, and the shaded area around this line illustrates the spread of the examined material.

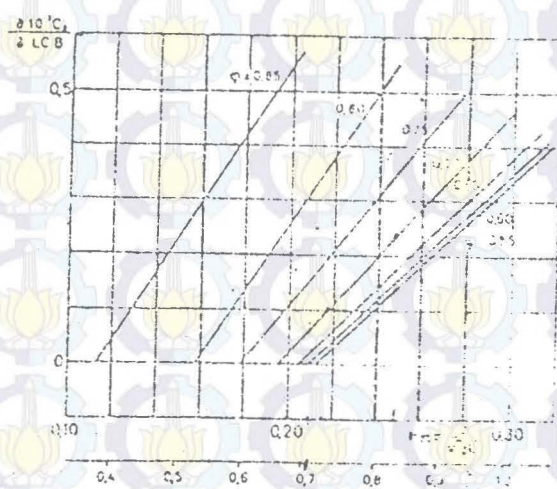


Figure 5.5.16. The correction of the residual resistance coefficient for LCB 1% forward of standard. The correction is thus $(\delta 10^3 C_R / \delta LCB) [\Delta LCB]$, where ΔLCB is the longitudinal distance between actual and standard LCB in percent of L . There is no correction for LCB aft of standard. The correction is always positive.

As the standard position of LCB is, as mentioned earlier, assumed to give the smallest possible resistance, all other positions must in principle give resistances that are larger. The increase in resistance is to be found by multiplying the deviation of LCB from standard.

$$\Delta LCB = LCB - LCB_{standard} (LCB \text{ in } \% \text{ of } L) \quad (5.5.1)$$

by a factor $\delta 10^3 C_R / \delta LCB$. The values of the factors may be obtained from the Fig. 5.5.16, which is valid for the case where LCB is forward of $LCB_{standard}$. When LCB is aft of the $LCB_{standard}$, the sources are very contradictory, and as the tendencies are very slight, no serious error will be introduced by neglecting the correction in such cases.

The corrected residual resistance coefficient for a ship with LCB forward of standard is consequently determined by:

$$10^3 C_R = 10^3 C_{R(standard)} + \frac{\delta 10^3 C_R}{\delta LCB} [\Delta LCB] \quad (5.5.1)$$

The hull form dealt with in *Ship Resistance* is the hull form that was common for merchant ship types around 1960, that is, up to the time of publication of Guldhammer and Harvald (1974). This hull form has the aft perpendicular placed in the axis of the rudder stock and the fore perpendicular in the fore extremity of the design waterline. Since 1960 the hull forms have been developed further, and they have also become more varied, for instance, various bulbous bows have become widely used. The formula given here for resistance calculation can be used for the modern and more varied bulb forms as well, as for the traditional forms, provided the following more suitable definitions of L and LCB are used. The calculation length L is defined as the length between the fore and aft limits of the displacement, that is, the ultimate length of the submerged part of the hull, L_{sub} , according to ITTC standard. For ships of traditional form with no bulb this length is exactly the waterline length.

LCB defines the longitudinal position of the center of buoyancy as the distance from this point to the midship section, positive aft of this section. The midship section is defined as the section at a distance of 48.5% of L from the fore limit of the displacement. L is the calculation length described above. The midship section thus defined is there-

the midpoint between the auxiliary perpendicular $AP_1 - FP_1$; compare Fig. 5.5.17. $AP_1 - FP_1$ for normal form will coincide with the perpendiculars used in the usual way $AP - FP$.

U FORM (SHAPE OF SECTIONS AND BOW)

It is assumed that the resistance curve (deduced from Figs. 5.5.5–5.5.13) applies to a ship having a "standard" form, that is, the sections are neither distinctly U shaped nor V shaped. Therefore, in calculating the effective power of a preliminary ship design it should normally be necessary to make a correction for shape of hull sections. If the sections are extremely U or V shaped, the $10^3 C_R$ values may be corrected as follows: Corrections to $10^3 C_R$ for shape of sections

Free Body	Extreme U	Extreme V
	-0.1	+0.1
Water Body	Extreme U	Extreme V
	+0.1	-0.1

(5.5.20)

These corrections cover the speed range $V/\sqrt{gL} = 20-0.25$. Furthermore, it must be considered that the "standard" form is a form with well-designed lines. If it is necessary to alter the lines due to the operating requirements of the ship, or allowance to the power must be made, it is recommended that C_R be increased by 10% and perhaps 20% or more for nonoptimal lines.

Concerning the bow, the standard form must be regarded as having an orthodox nonbulbous bow. For a vessel with bulbous bow having $A_{BT}/A_X \geq 0.10$ (A_{BT} is the sectional area of the bulbous bow at the fore perpendicular and A_X is the area of the midship section) the following corrections to $10^3 C_R$ are suggested:

$F_x = 0.15$	0.18	0.21	0.24	0.27	0.30	0.33	0.36	
	+0.2	0	-0.2	-0.2	-0.4	-0.4	-0.4	0.50
	+0.2	0	-0.2	-0.2	-0.3	-0.3	-0.3	0.60
	+0.2	0	-0.2	-0.3	-0.3	-0.3	-0.3	0.70
+0.1	0	-0.2						0.80

(5.5.21)

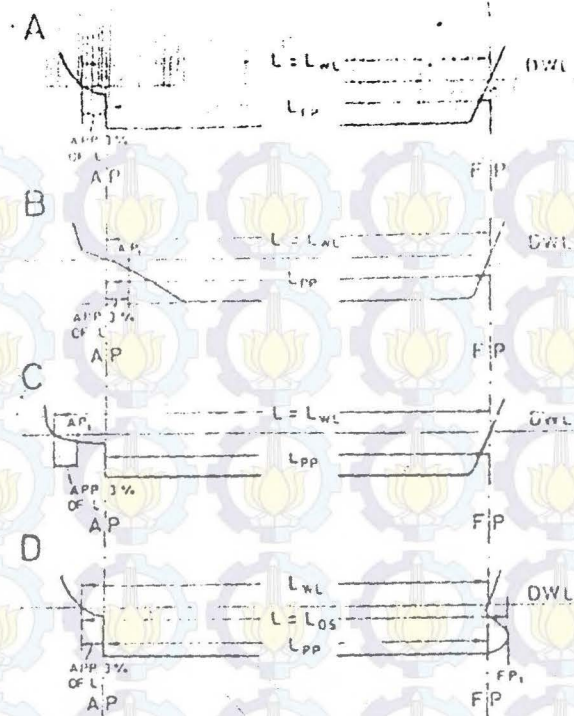


Figure 5.5.17. Definition of L and LCB. (a) Normal form. Length of the stern in the waterline is normally approximately 3% of L . (b) Hull with no sternpost. AP often placed in the endpoint of DWL. For LCB correction AP_1 3% before the endpoint of the waterline is used. (c) Hull with stern of extreme length. For the LCB correction AP_1 3% before the endpoint of the waterline is used. (d) Hull with bulbous bow. FP is the fore limit of the displacement.

With $A_{BT}/A_X = 0.10$ the bulbous bow is rather pronounced. For $0 < A_{BT}/A_X < 0.10$ the corrections are assumed to be proportional with size of bulb.

These corrections are valid for loaded conditions or $\phi = 1.0$. At ballast conditions the corrections due to bulbous bows will give an opposite picture. Full forms ($\phi > 0.70$) will show a remarkable decrease in resistance, the corrections having two to three times these values, whereas the resistance for fine forms ($\phi < 0.60$) generally will tend to increase.

Rudders	No correction. The standard form is intended to include a rudder.		The correction of C_F for appendages is made by simply increasing C_F proportionally to the wetted surfaces of the appendages. Thus
Bilge keel	No correction.	(5.5.22)	$C_{F'} = C_F \frac{S_1}{S}$
Bossings	For full ships add 3-5% to C_R .		
Shaft brackets and shafts	For fine ships add 5-8% to C_R .		

INCREMENTAL RESISTANCE

For many years it has been general practice to apply a correction to the C_F s for the ship, in order to include the effect of the roughness of the surface of the ship, which will never be "model-smooth" even when brand-new and freshly painted. This incremental resistance coefficient for model-ship correlation has very often been fixed at $C_A = 0.0004$. More recent experience has shown that this cannot be true in all cases. Therefore, the following correction for roughness and scale effect is proposed for the trial condition:

$$\text{For vessels with } L \leq 100 \text{ m, } 10^3 C_A = 0.4 \\ \begin{array}{ll} = 150 \text{ m} & = 0.2 \\ = 200 \text{ m} & = 0 \\ = 250 \text{ m} & = -0.2 \\ \geq 300 \text{ m} & = -0.3 \end{array} \quad (5.5.23)$$

Some find the corrections given in Section 5.2.4 more suitable, that is,

Displacement

1 000 t	$C_A = 0.6 \times 10^{-3}$
10 000 t	0.4×10^{-3}
100 000 t	0
1 000 000 t	-0.6×10^{-3}

(5.5.24)

It must be mentioned that these corrections of the frictional resistance coefficients are still rather uncertain.

where S is the wetted surface of the hull and S_1 the wetted surface of the hull and appendages.

AIR RESISTANCE AND STEERING RESISTANCE

The air resistance may be determined by use of data for the abovewater structure and the air. The magnitude of the air resistance is, however, very often of minor importance and the expenditure of effort in making an accurate calculation may not be justified. Therefore, in the absence of knowledge of the windage of a ship design it is suggested that $10^3 C_R$ be corrected by

$$10^3 C_{RA} = 0.07 \quad (5.5.26)$$

The correction for steering resistance may be about

$$10^3 C_{AS} = 0.04 \quad (5.5.27)$$

but may for course stable ships under favorable conditions be negligible.

It can be seen that both corrections are small and that for a preliminary design they may be assumed to be included in the incremental resistance.

THE SERVICE CONDITION

The resistance and the effective power calculated by use of the diagrams given here correspond to the values for a ship in the trial condition, that is, for ideal conditions as regards winds and waves, deep sheltered water, and smooth hull. For the mean service condition an extra allowance has to be made for the resistance and the effective power because of wind, sea, erosion, and fouling of the hull. This extra allowance is dependent on the shipping route. The following average service allowances (sometimes called sea margin or service margin) on the calculated resistance or effective power are proposed:

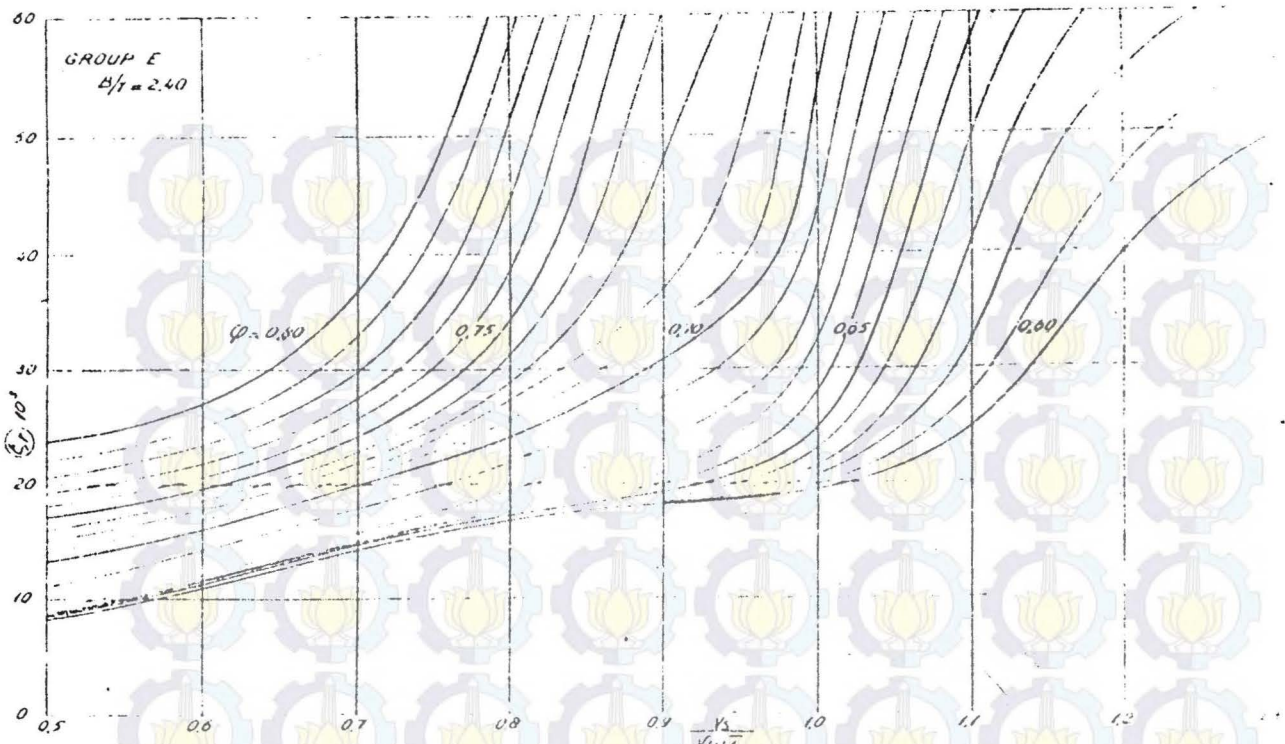


Fig. 9. Diagram for determining the specific residual resistance as a function of

$$\frac{V_s}{\sqrt{B*T}} \text{ and } \varphi$$

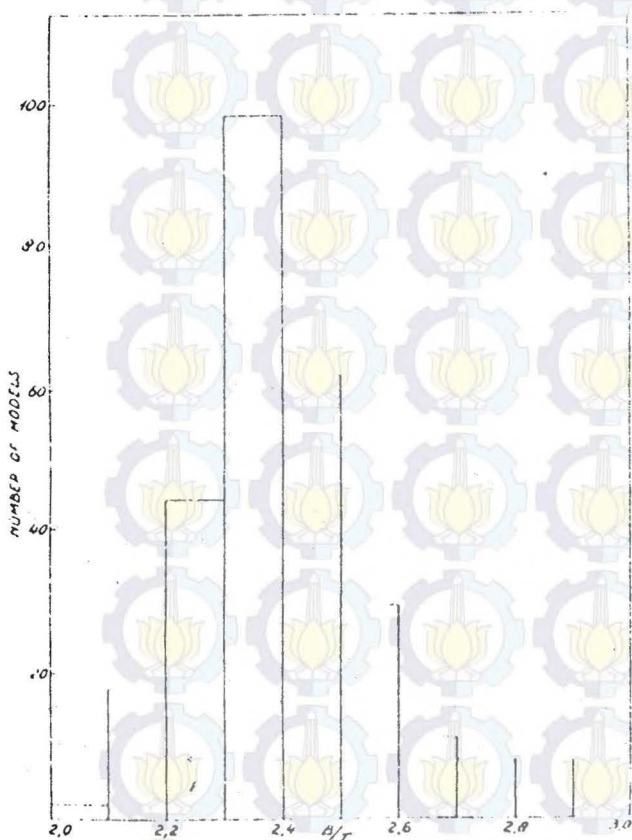


Fig. 10. Distribution of B/T values of 281 examined models of single-screw ships.

TABLE I
Influence of ΔL^3 on the residuary-resistance constant R_s/D_i

$V_s / \sqrt{L^3}$	q	$\Delta L^3 = 40$ in $(L^3 = 100)$	D_i	Difference in R_s/D_i in percent, corresponding to a difference in D_i
0.95	0.600	ca. 5.0 %	ca. 3.3 %	
0.90	0.625	ca. 3.5 %	ca. 4.0 %	
0.85	0.650	ca. 1.5 %	ca. 2.5 %	
0.80	0.675	ca. 1.0 %	ca. 2.5 %	
0.75	0.700	—	ca. 1.0 %	
0.70	0.725	—	ca. 1.5 %	
0.65	0.750	—	ca. 2.0 %	
0.60	0.775	—	ca. 1.5 %	

it then follows that the same thing must apply to the parameter L/B , for, with constant $V_s \sqrt{L} \cdot \varphi \cdot B/T$ and q , we may allow Δ/L^3 and, therefore, L/B to vary within wide limits without causing a change in the residuary resistance coefficient by more than a few per cent.

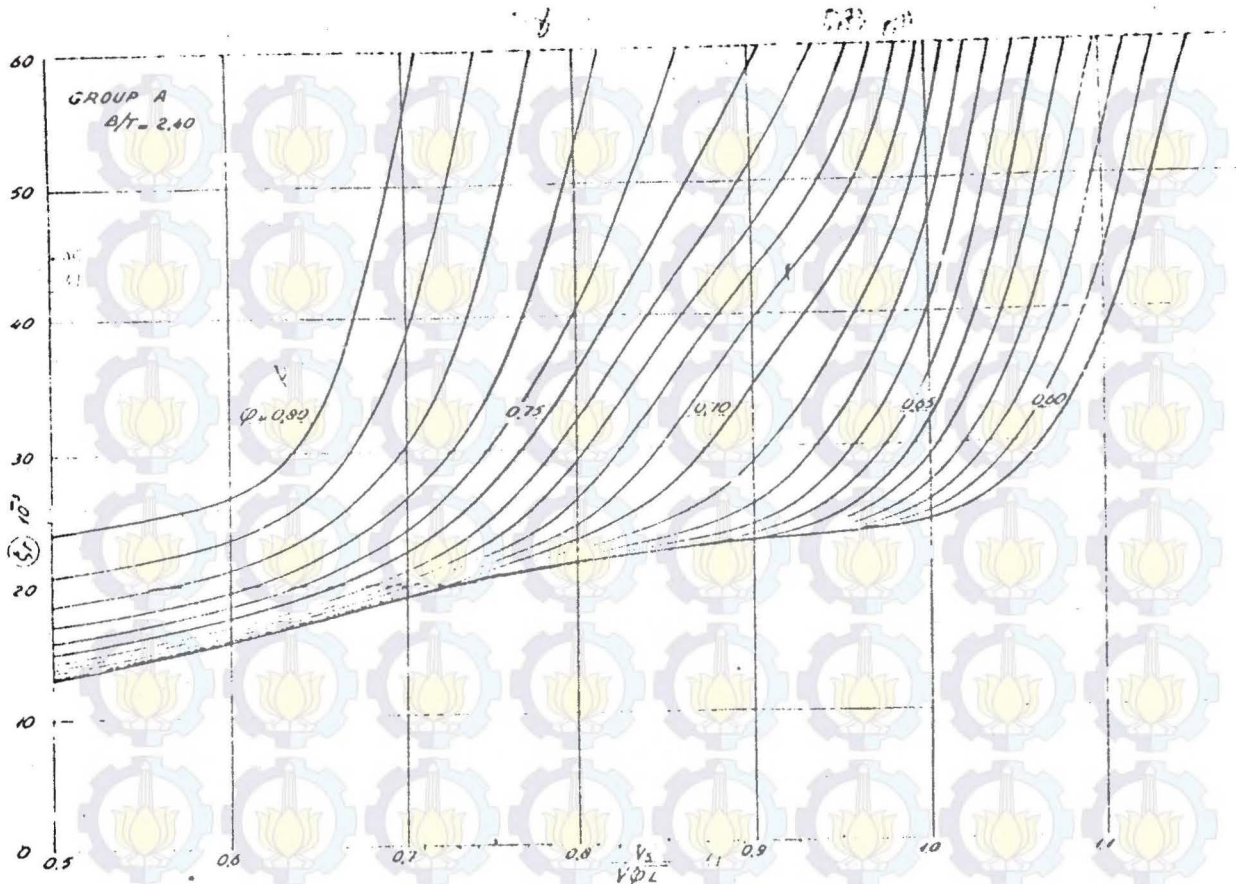


Fig. 5. Diagram for determining the specific boundary resistance as a function of $\frac{V_s}{\sqrt{qL}}$ and ψ .

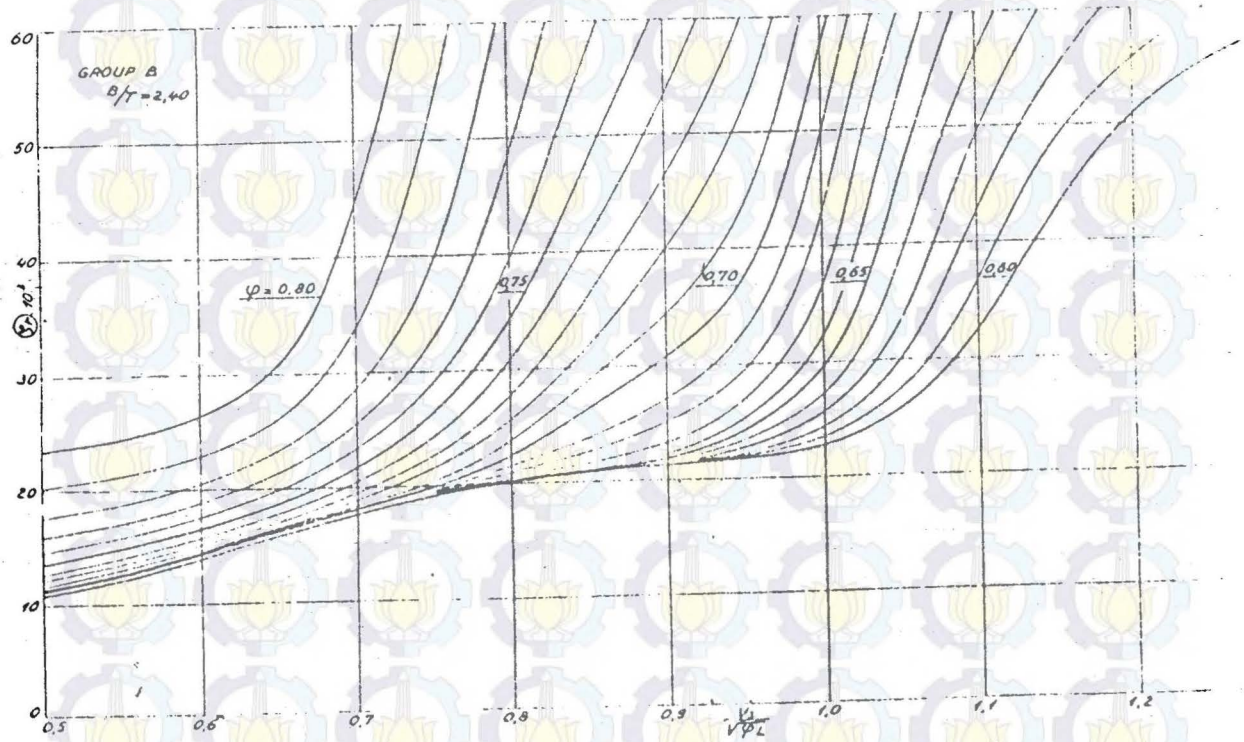


Fig. 6. Diagram for determining the specific boundary resistance as a function of $\frac{V_s}{\sqrt{qL}}$ and ψ .

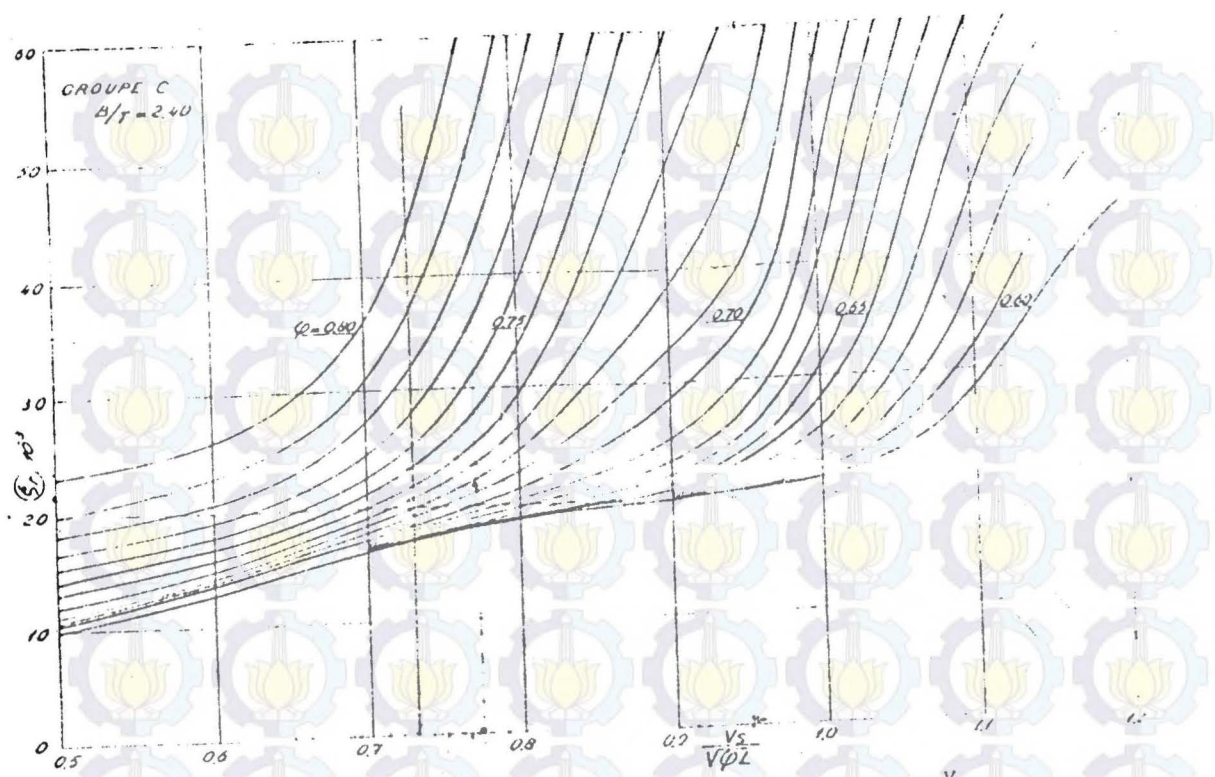


Fig. 7. Diagram for determining the specific residual resistance as a function of $\frac{V_\Sigma}{V\phi L}$ and q .

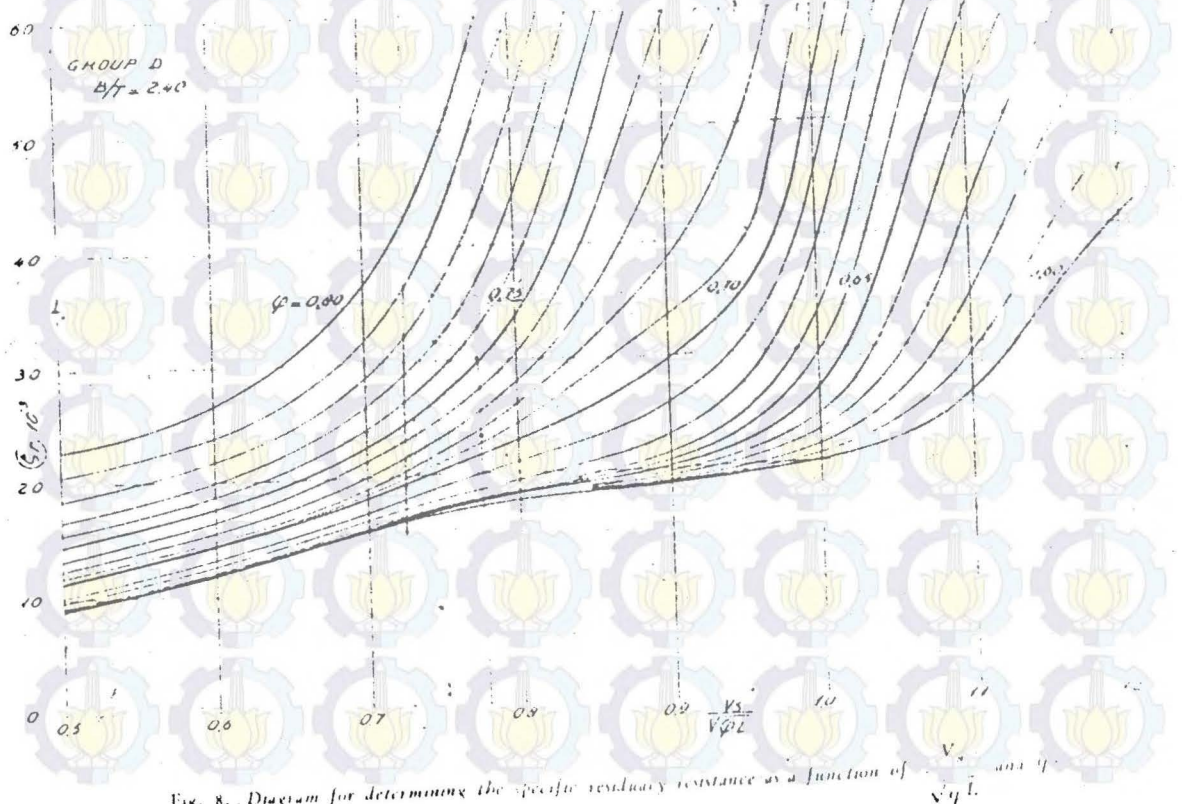


Fig. 8. Diagram for determining the specific residual resistance as a function of $\frac{V_\Sigma}{V\phi L}$ and q .